



№

Schrank

Fach

Biblioteka Politechniki Krakowskiej



100000300933

xx
249/4

PLATEN

BEHOORENDE BIJ DE

WATERBOUWKUNDE,

DOOR

N. H. HENKET, D^R. Ch. M. SCHOLS EN J. M. TELDERS,

HOOGLEERAREN AAN DE POLYTECHNISCHE SCHOOL TE DELFT.

MET MEDEWERKING VAN

VERSCHILLENDE INGENIEURS.

17433.

3 copie
DERDE DEEL (1^e gedeelte.)

Afd. XIV. Bruggen.



'S-GRAVENHAGE, DE GEBROEDERS VAN CLEEF.

VII 8.42

*XX
249/4*

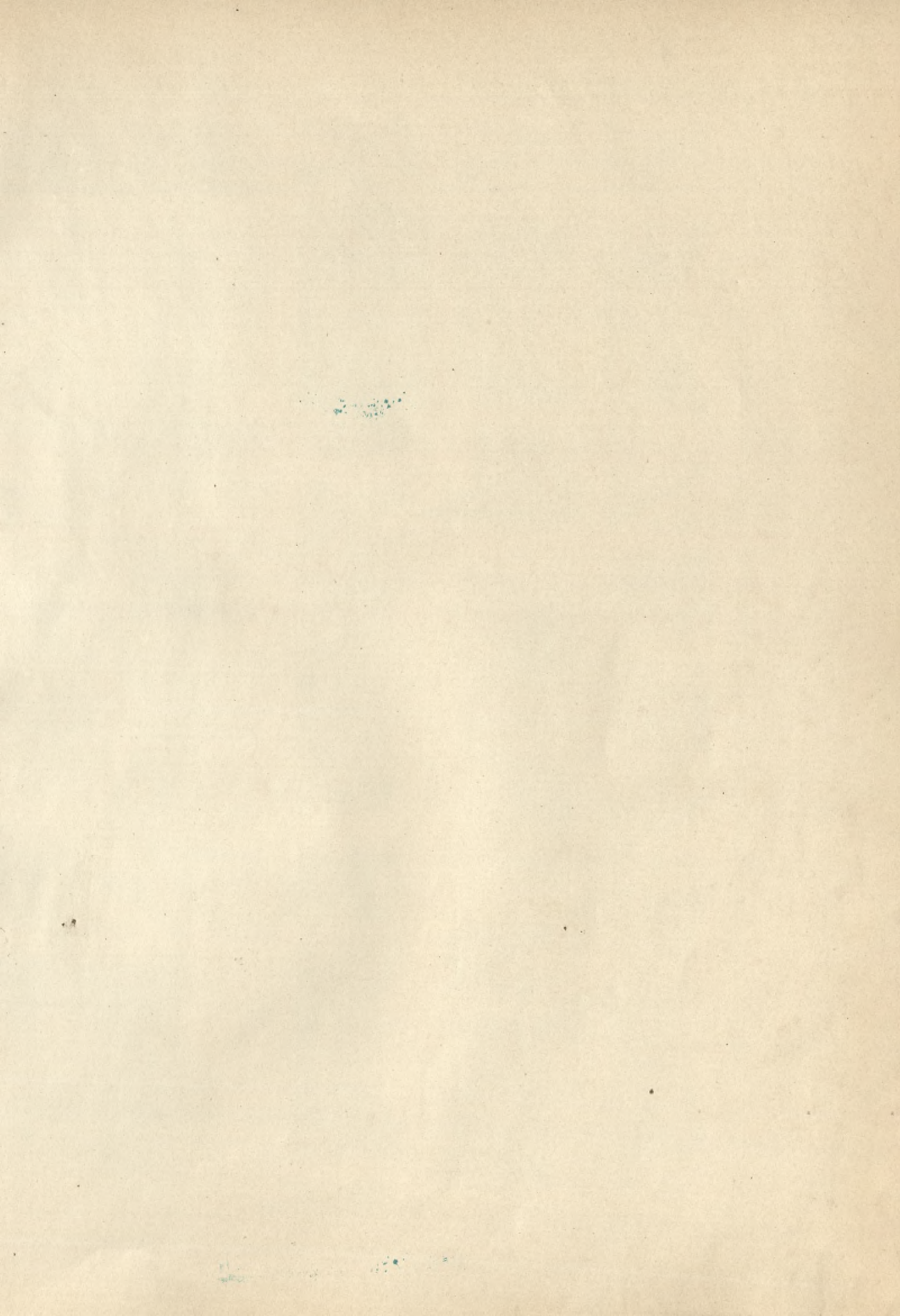


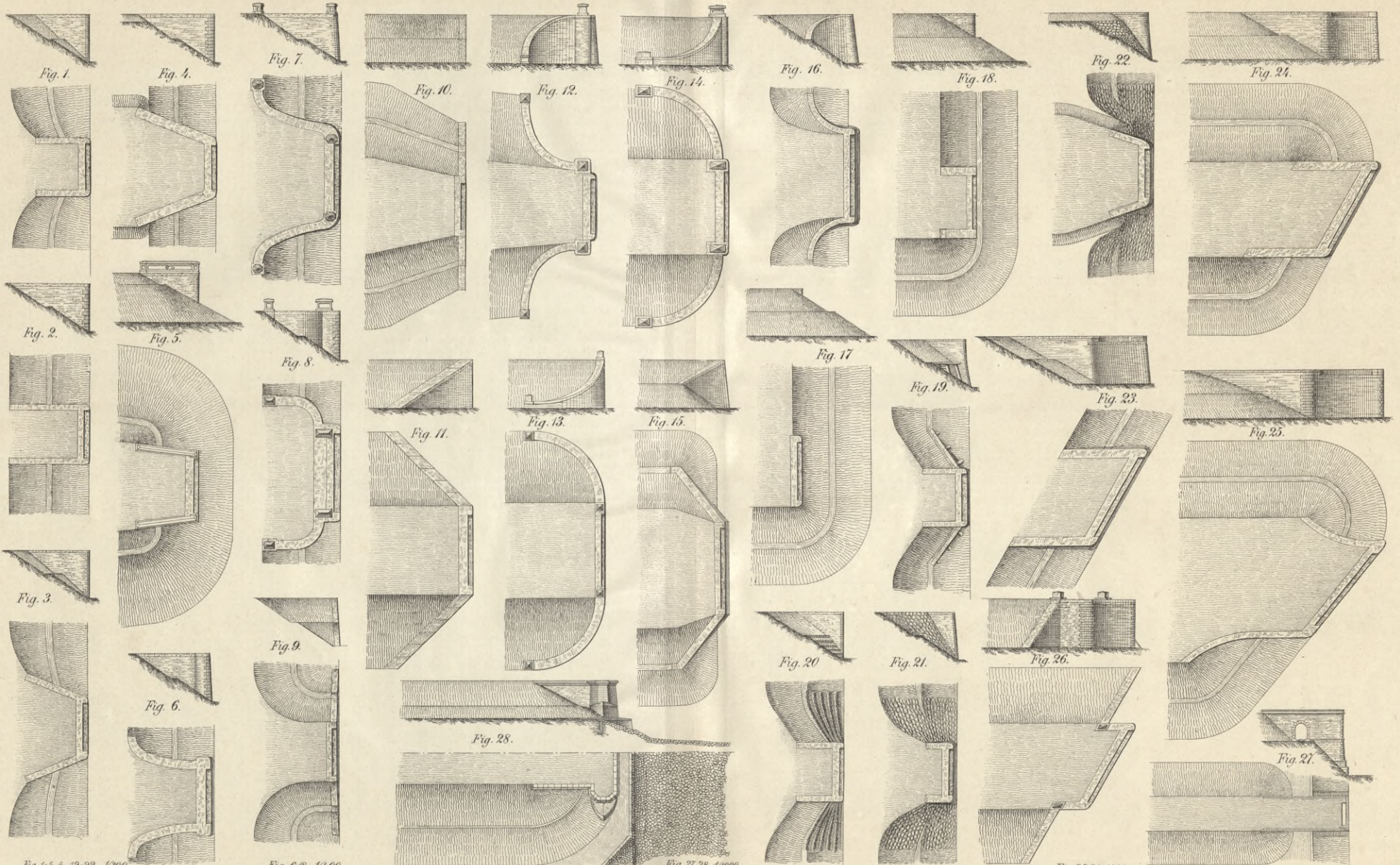
IV-300963

III 18242

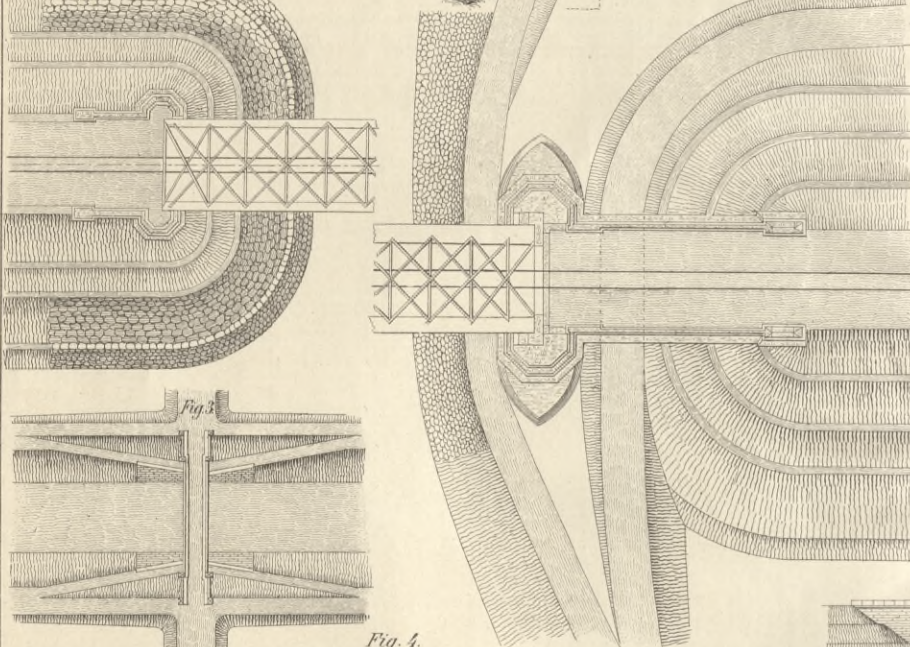
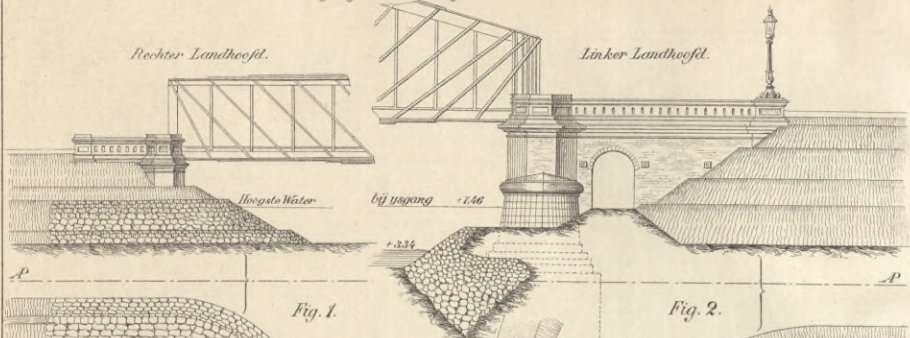
Akc: Nr. 1050/52

BPK-B-277/2017

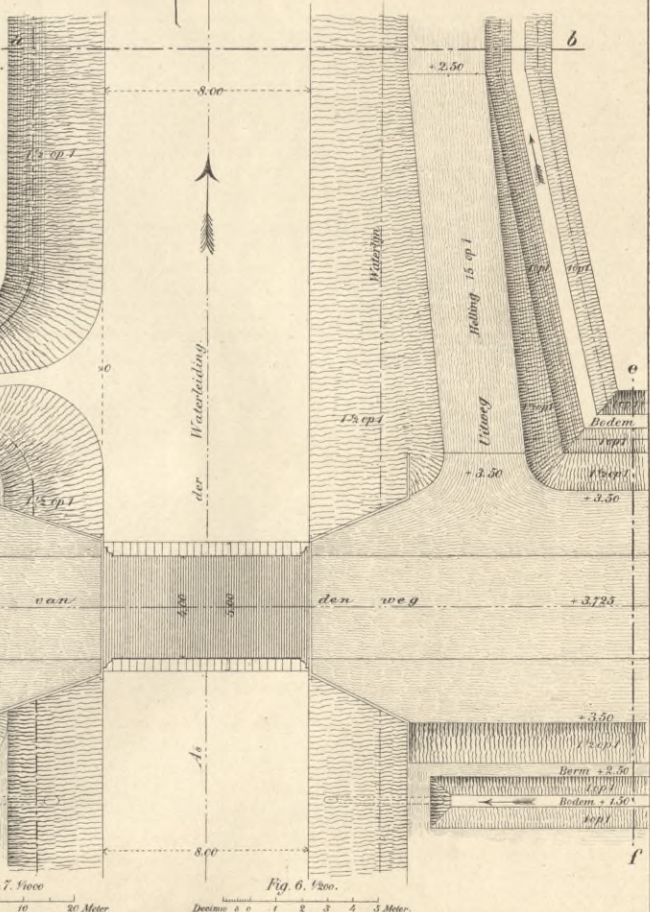
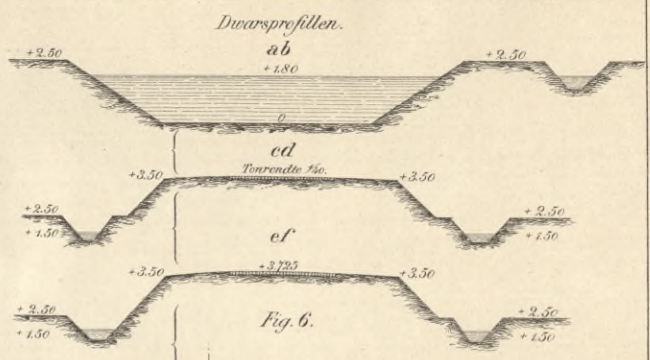
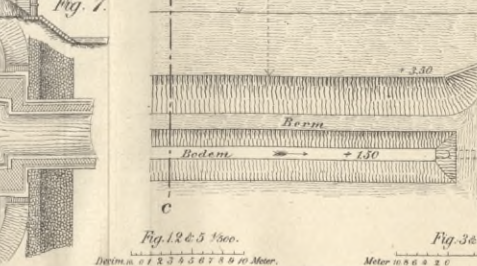
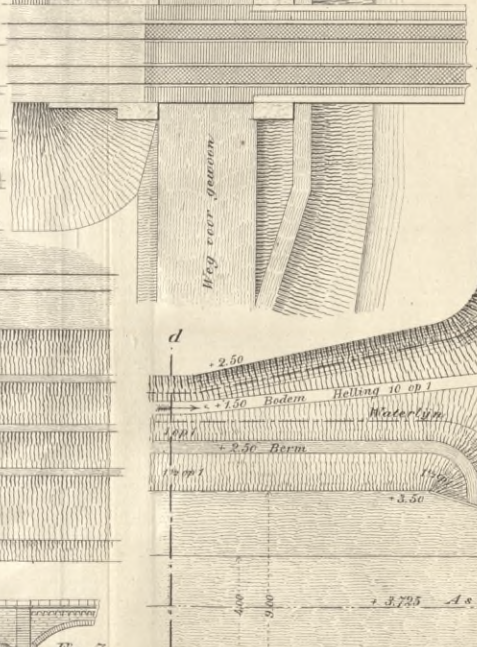
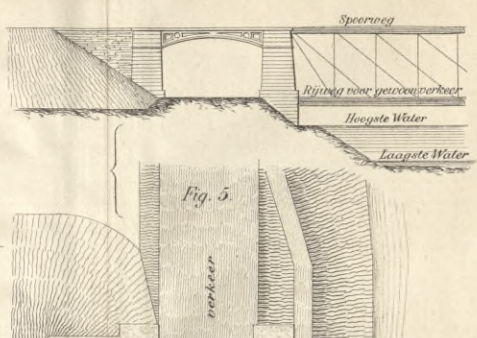
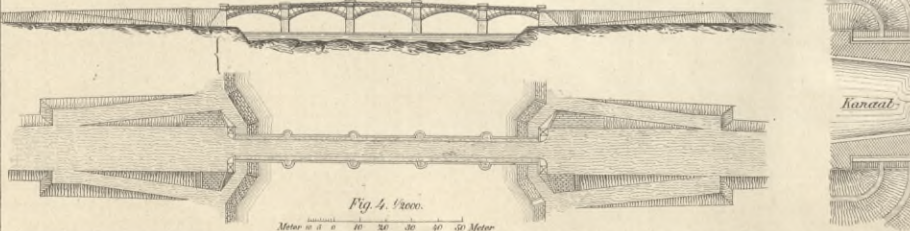


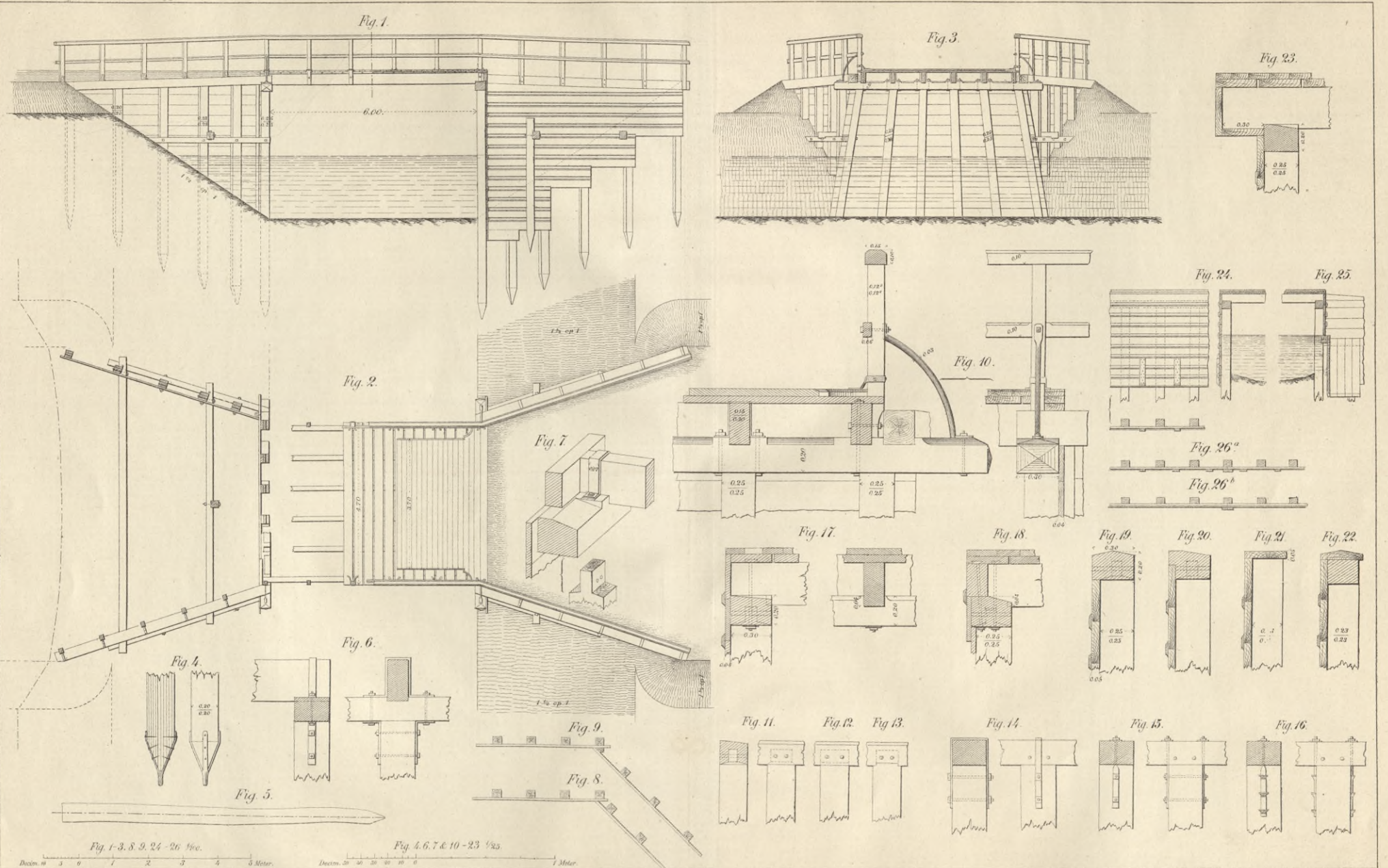


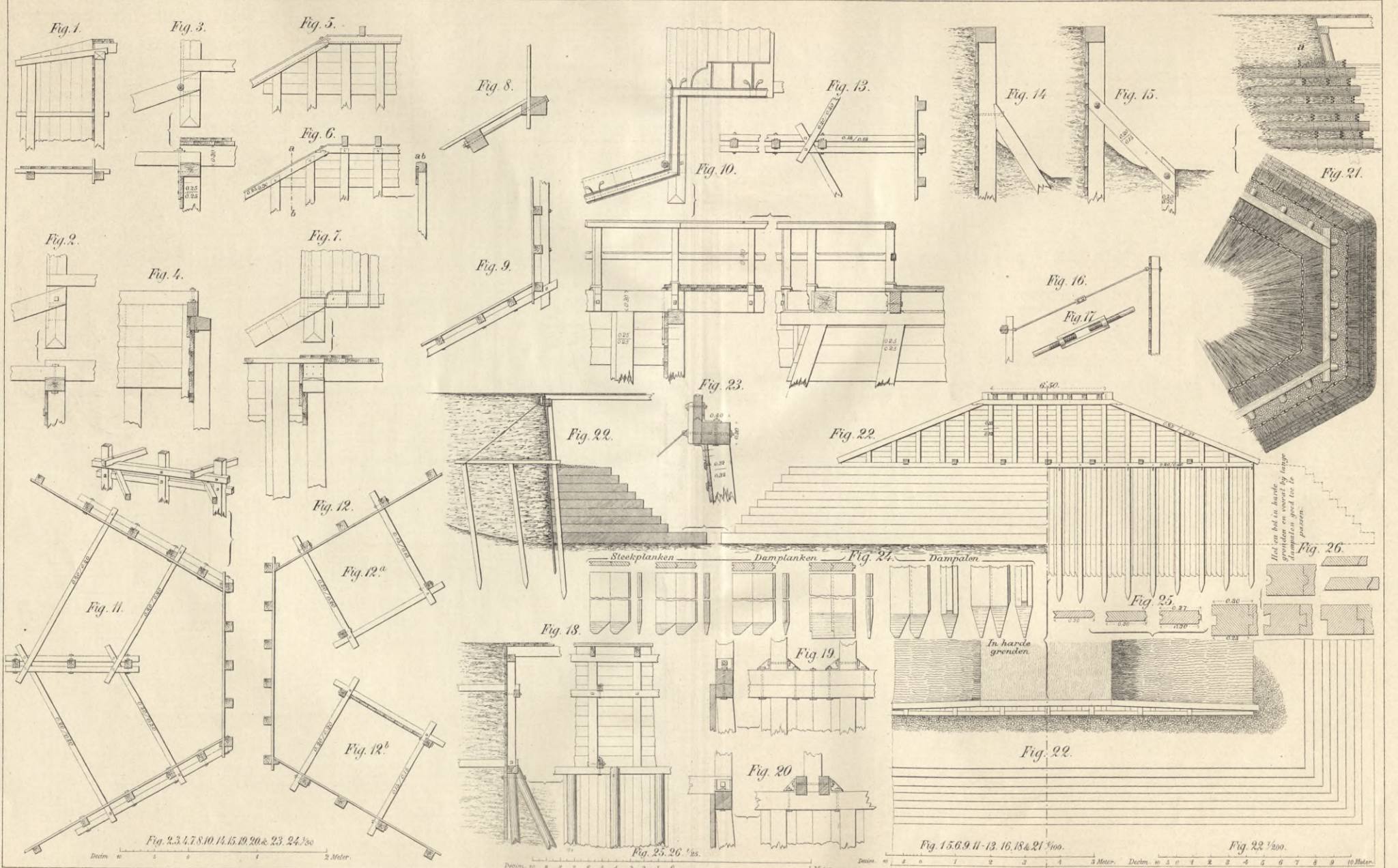
Brug bij Kuilenburg.



Brug by Ivry.







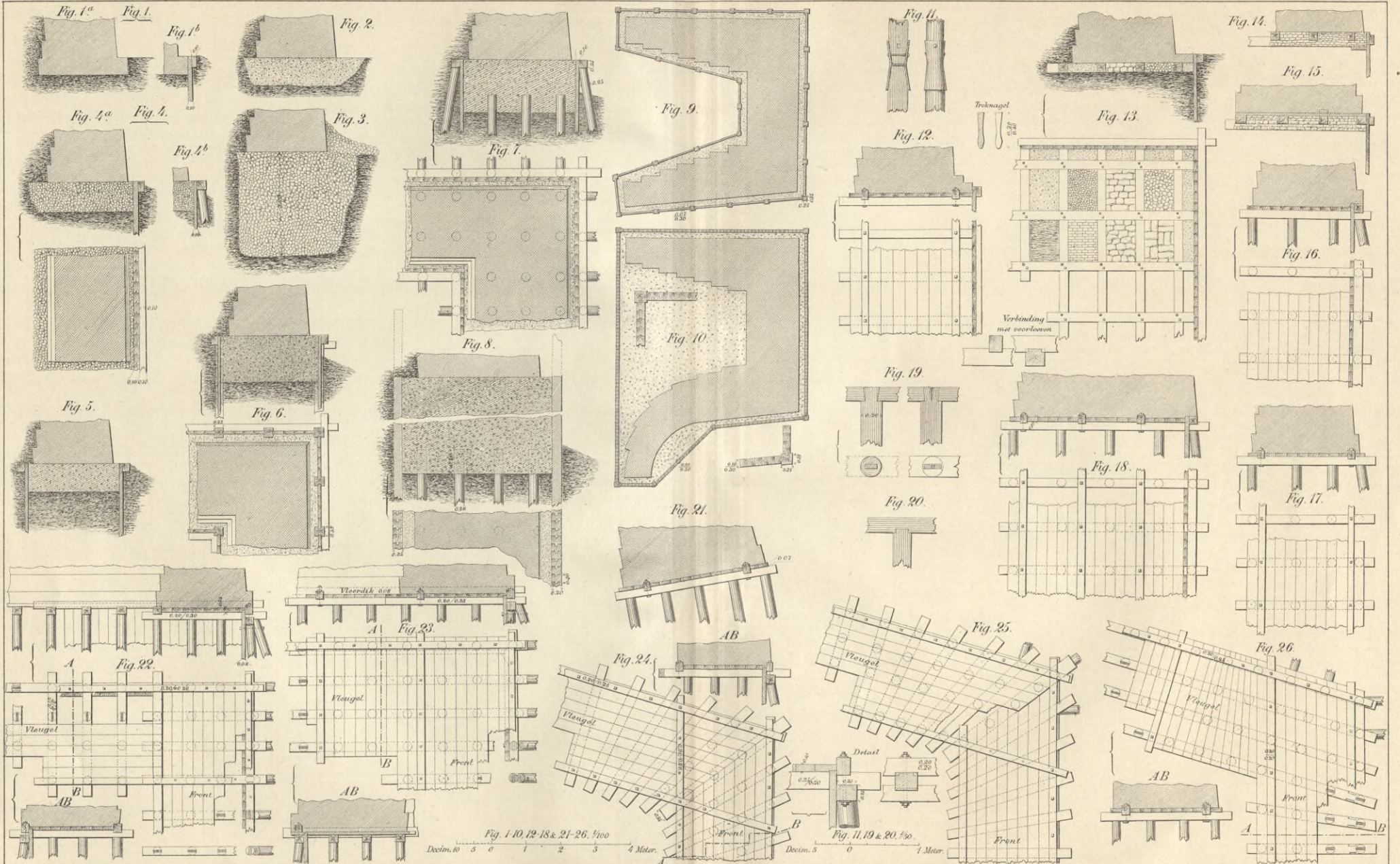
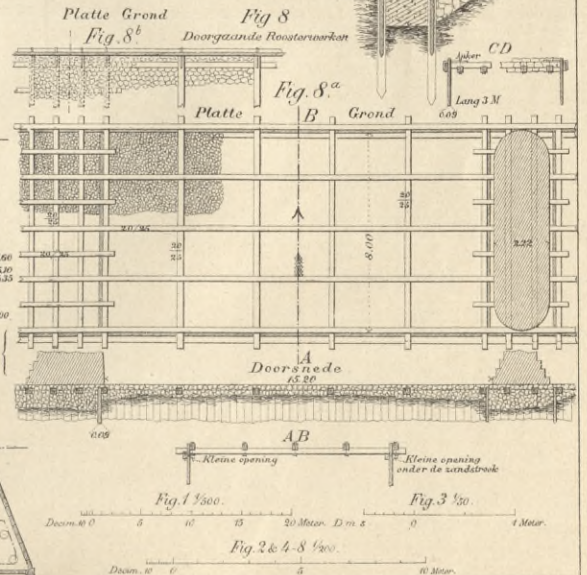
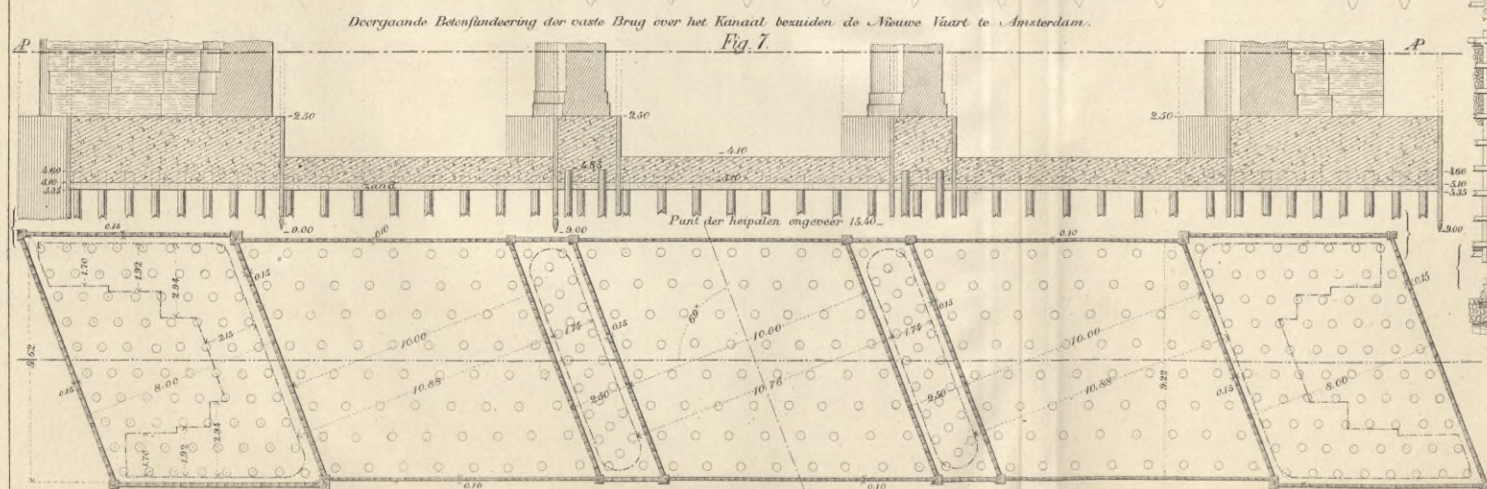
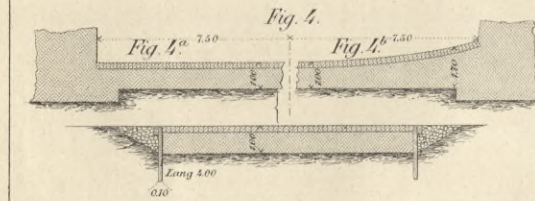
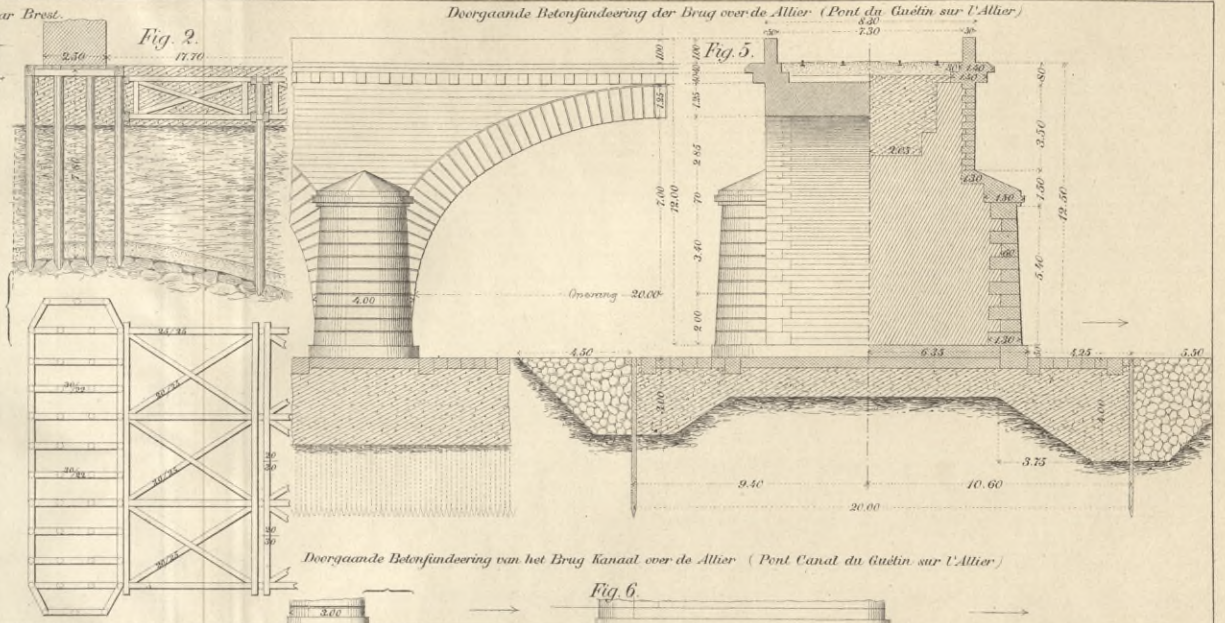
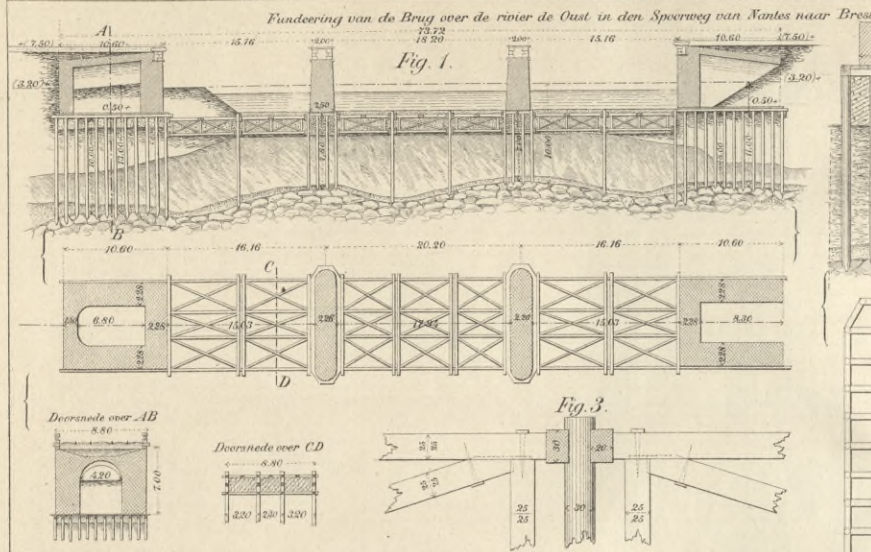
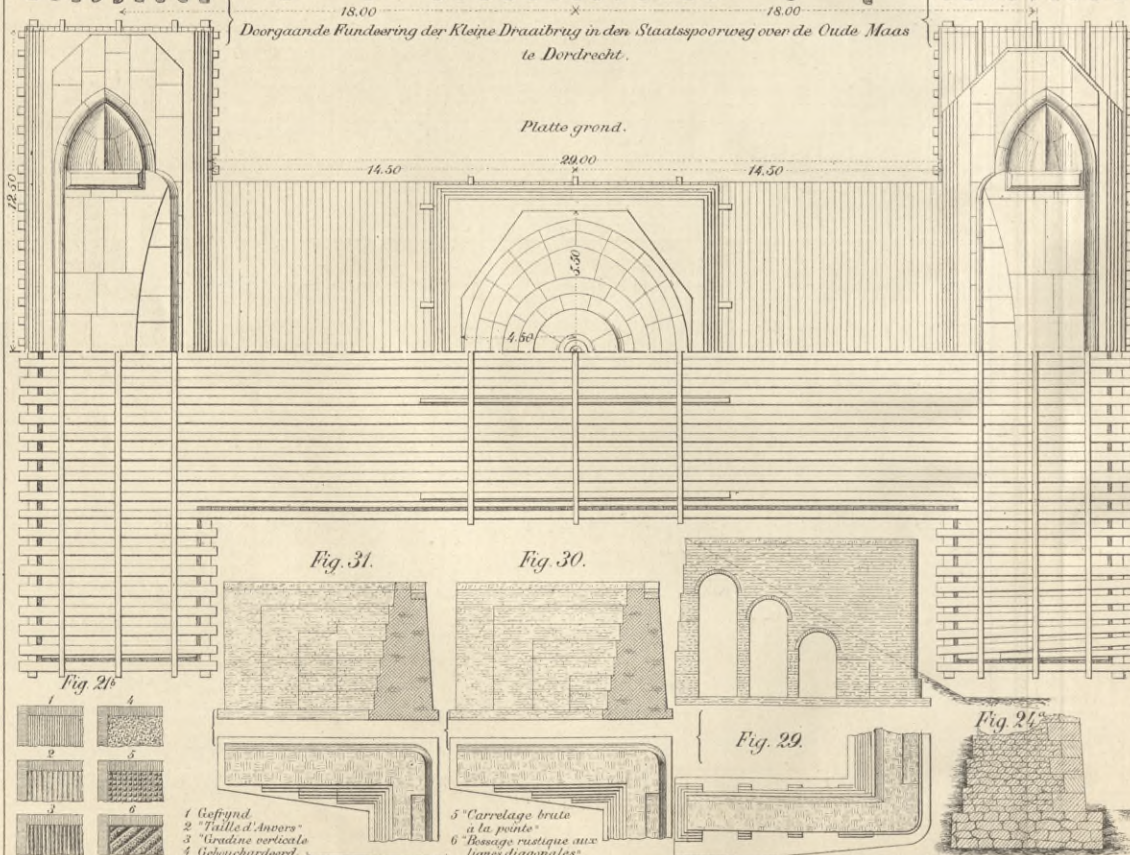
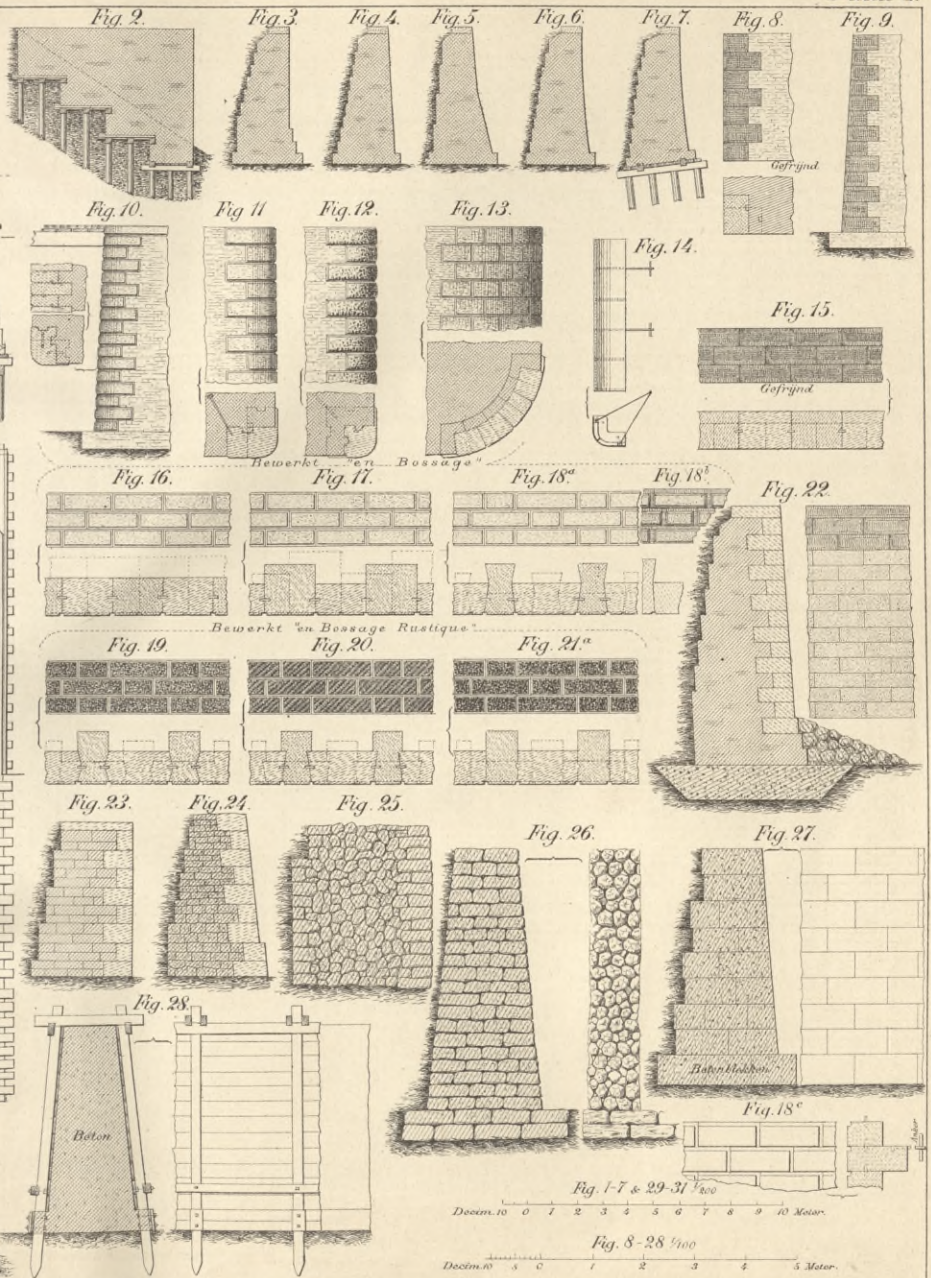
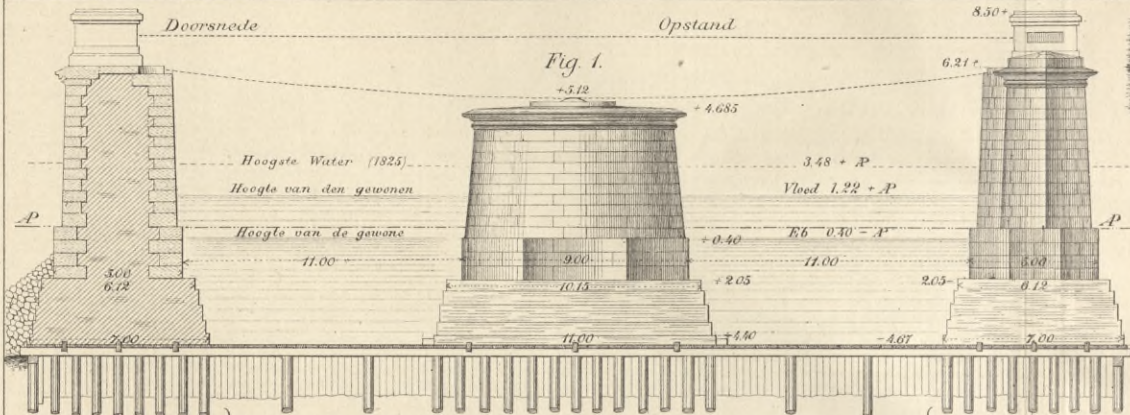


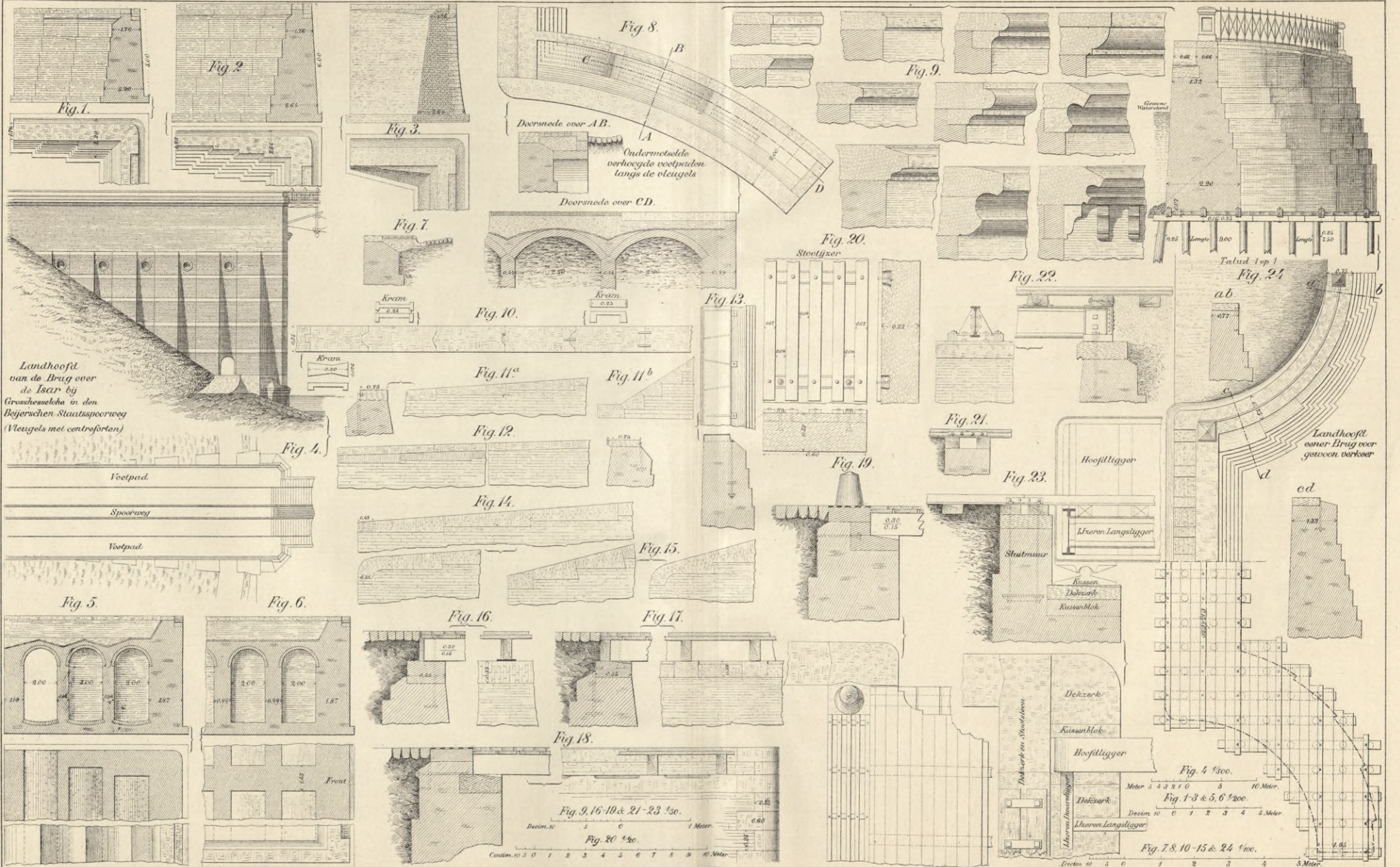
Fig. 1, 10, 12-18 & 21-26. 1/100
Decim. 0 5 0 1 2 3 4 Meter

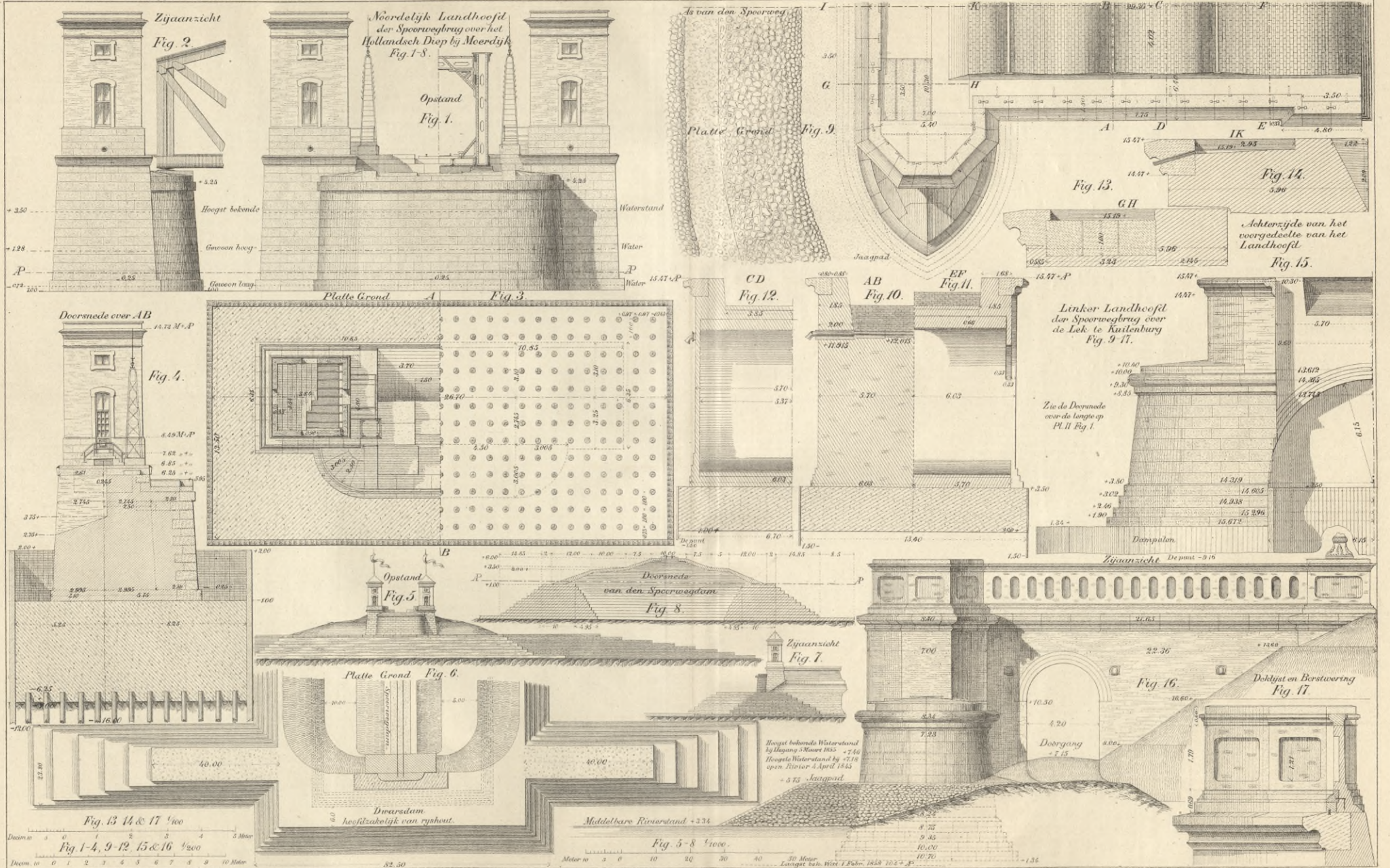
Fig. 11, 19 & 20. 1/50
Decim. 5 0 1 Meter

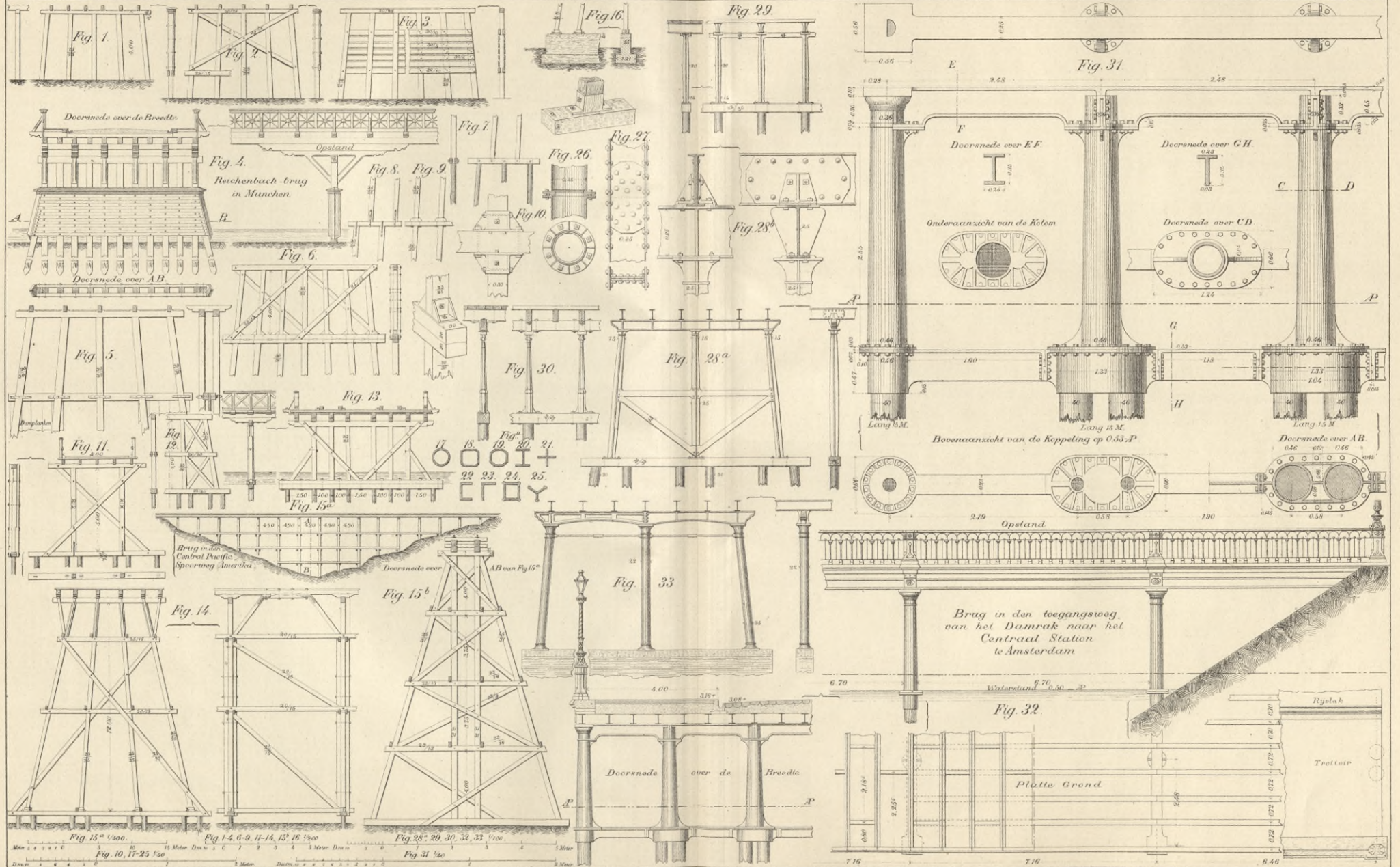


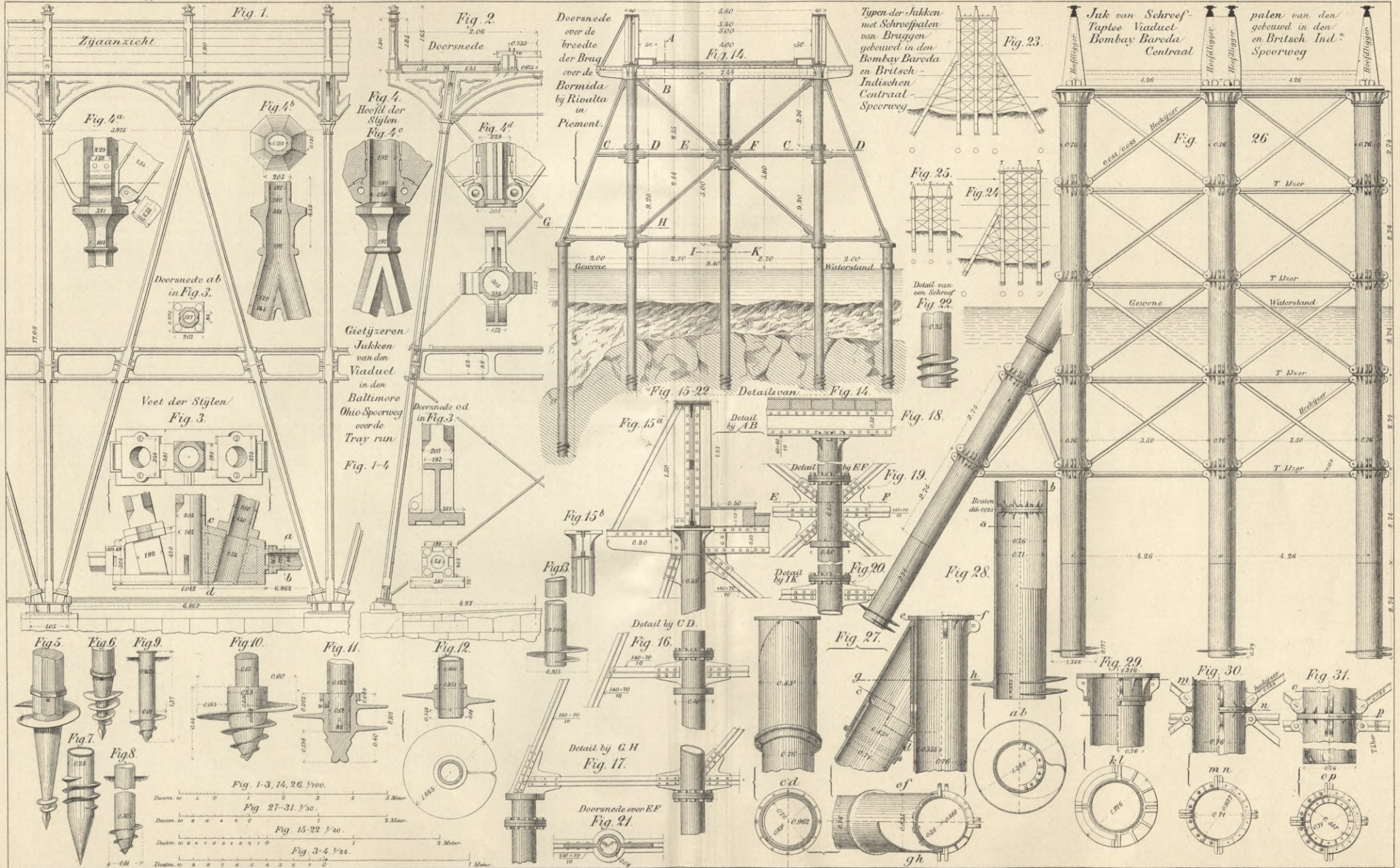


- 1 Geflynd
- 2 "Tuille d'Anvers"
- 3 "Gradine corticee"
- 4 Gebacchardeerd
- 5 "Carrolage brute à la pointe"
- 6 "Bossage rustique aux lignes diagonales"









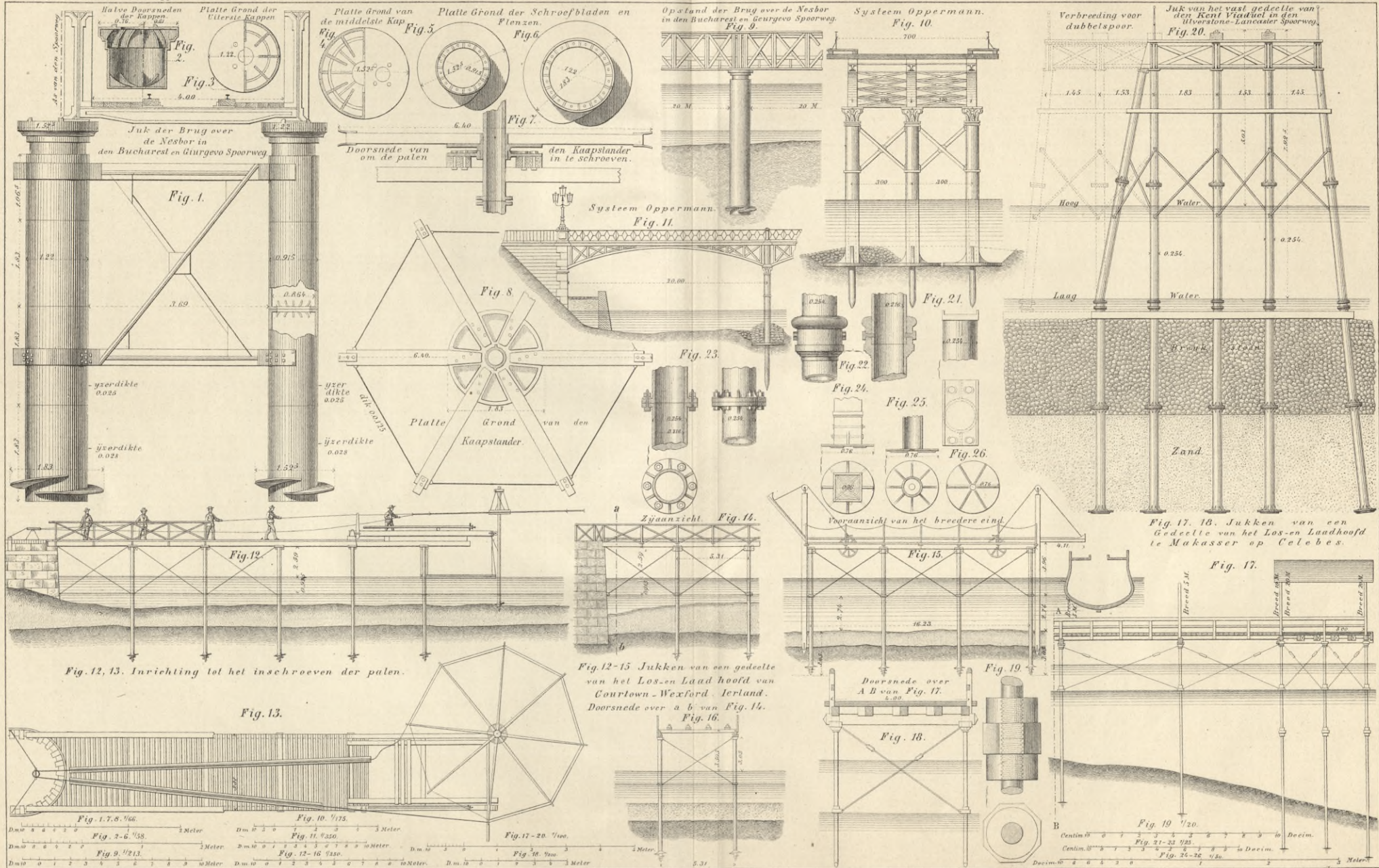


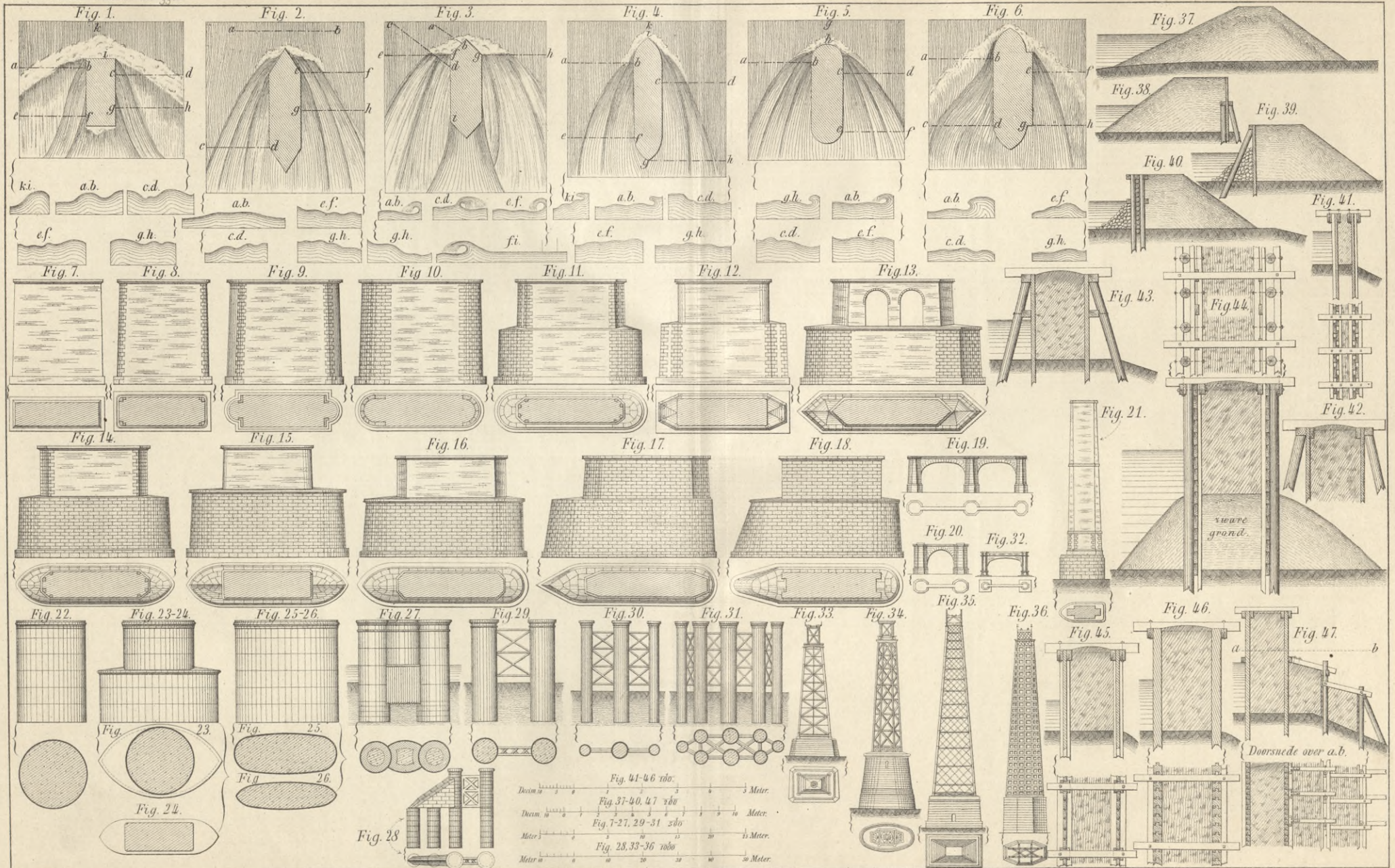
Fig. 17. 18. Jukken van een Gedeelte van het Los-en Laadhoofd te Makasser op Celebes.

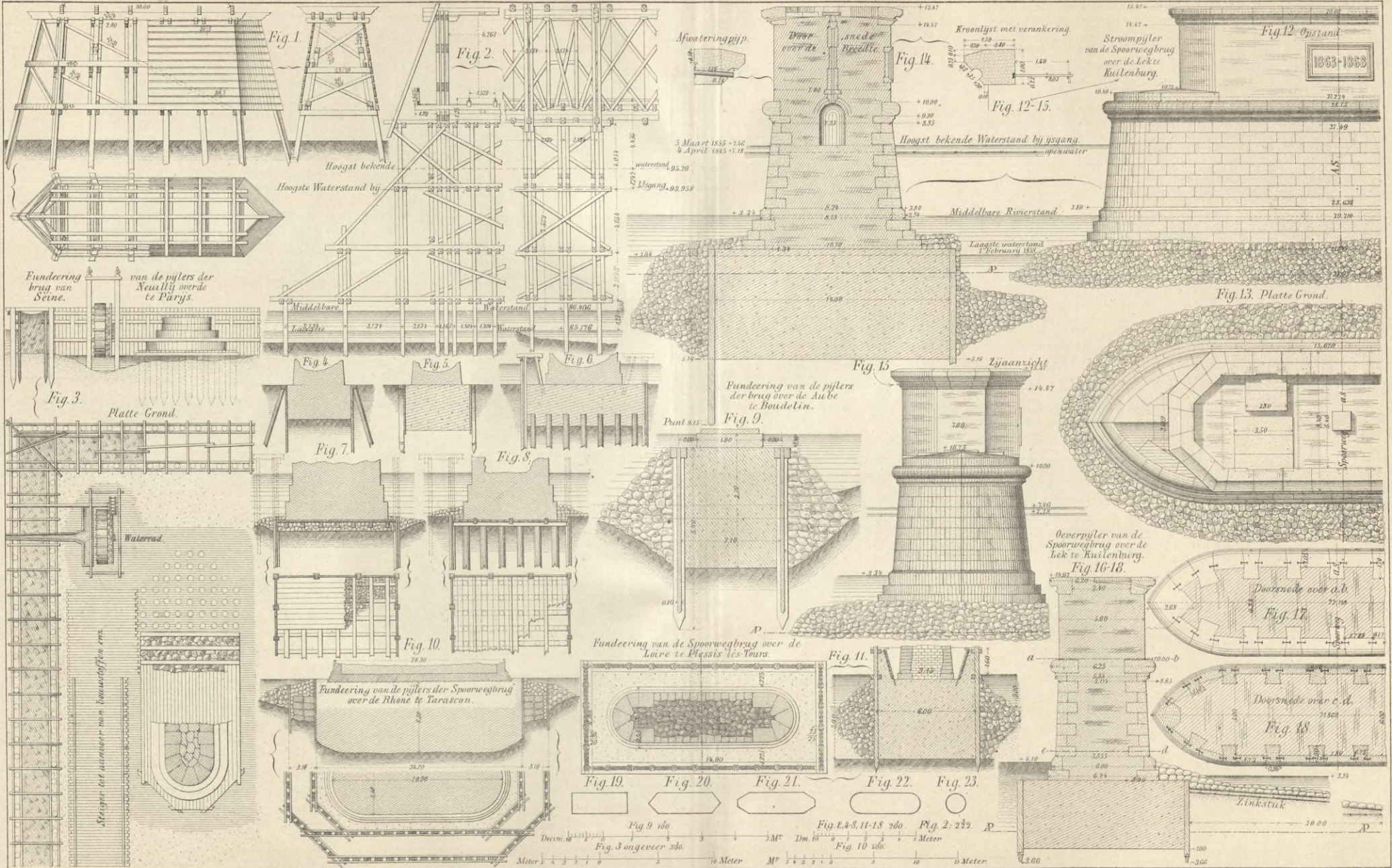
Fig. 17.

Fig. 12-15 Jukken van een gedeelte van het Los-en Laad hoofd van Courtown - Wexford, Ierland. Doorsnede over a b van Fig. 14. Fig. 16.

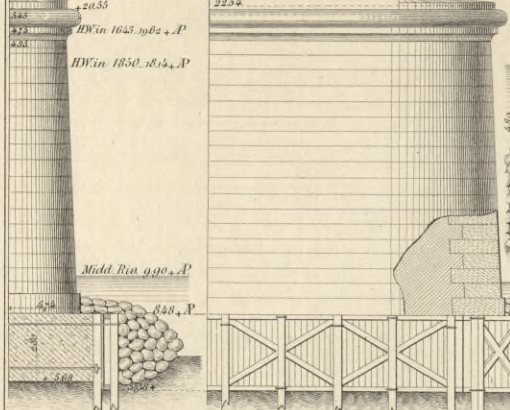
Doorsnede over A B van Fig. 17.

Fig. 19 1/20. Fig. 21-23 1/25. Fig. 24-26 1/20.

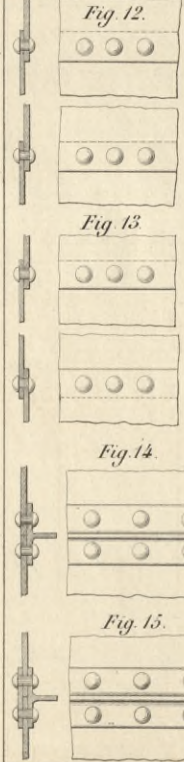




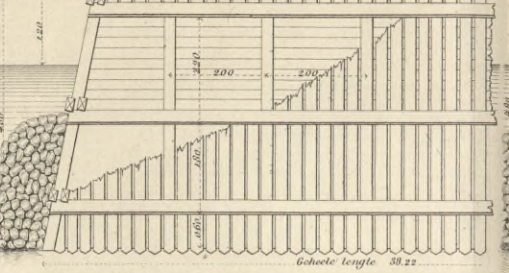
Fundering van de pijlers der brug over de Maas te Venlo Fig. 1-3.



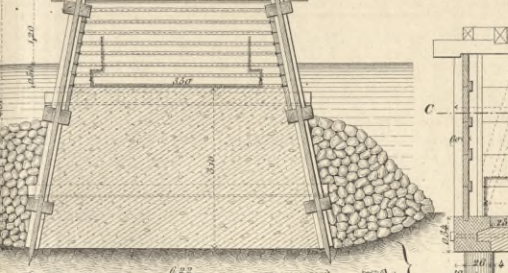
Verbindingen voor de koffers Fig. 12-18



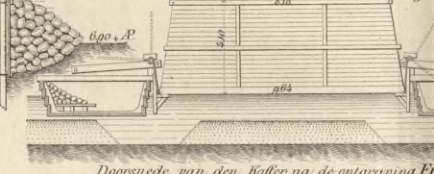
Fundering van de brug St. Michel te Paris Fig. 4-5. Opstand Fig. 4.



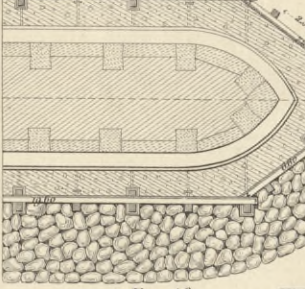
Fundering van de brug te Sevores Fig. 9, 11. Doorsnede over de breedte Fig. 9.



Fundering van een pijler der brug over de Creuse te Port de Piles Fig. 6-8. Opstand van den koffer voor het zinken Fig. 6.



Platte Grond Fig. 3



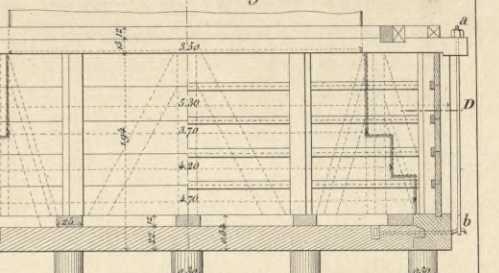
Doorsnede van den koffer na de ontgraving Fig. 7



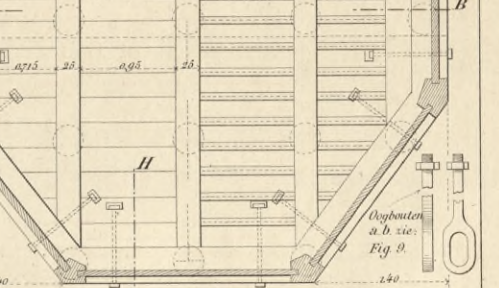
Doorsnede over de breedte na de voltooiing der Fundering Fig. 8.



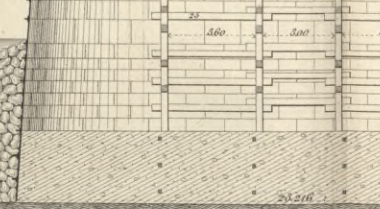
Fundering van de brug te Sevores Fig. 9, 11. Doorsnede over AB Fig. 9.



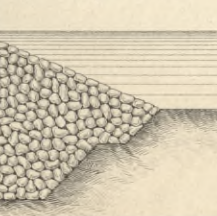
Doorsnede over CD Fig. 10



Doorsnede over de Lengte Fig. 19



Fundering van een pijler van den Viaduct Nogent Fig. 19, 22.



Dwaarsdoorsnede na de voltooiing der fundering Fig. 11.

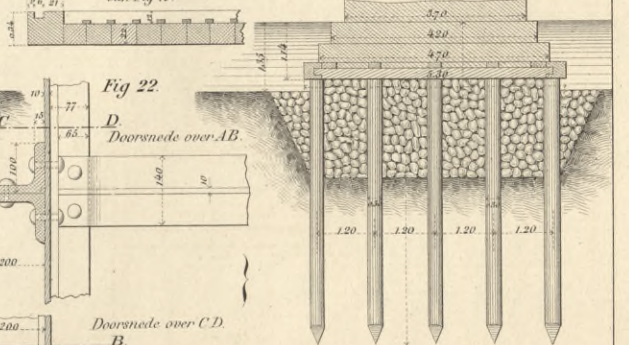
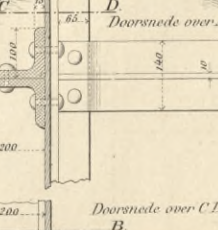
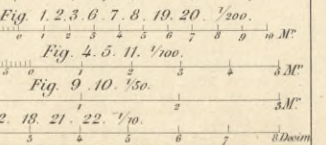
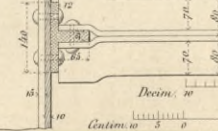


Fig. 22. Doorsnede over AB.



Doorsnede over CD.



Ijeren betonskeffer
gereed om te worden
gezonken Fig. 1-2

Doorsnede over de breedte

Opstand
Fig. 1.

Fundeering van een Stroompijler der brug over de Weser
te Bremen voor den Spoorweg van Bremen naar Oldenburg.

Doorsnede over de lengte Fig. 4.

Opstand

Bremer Mul

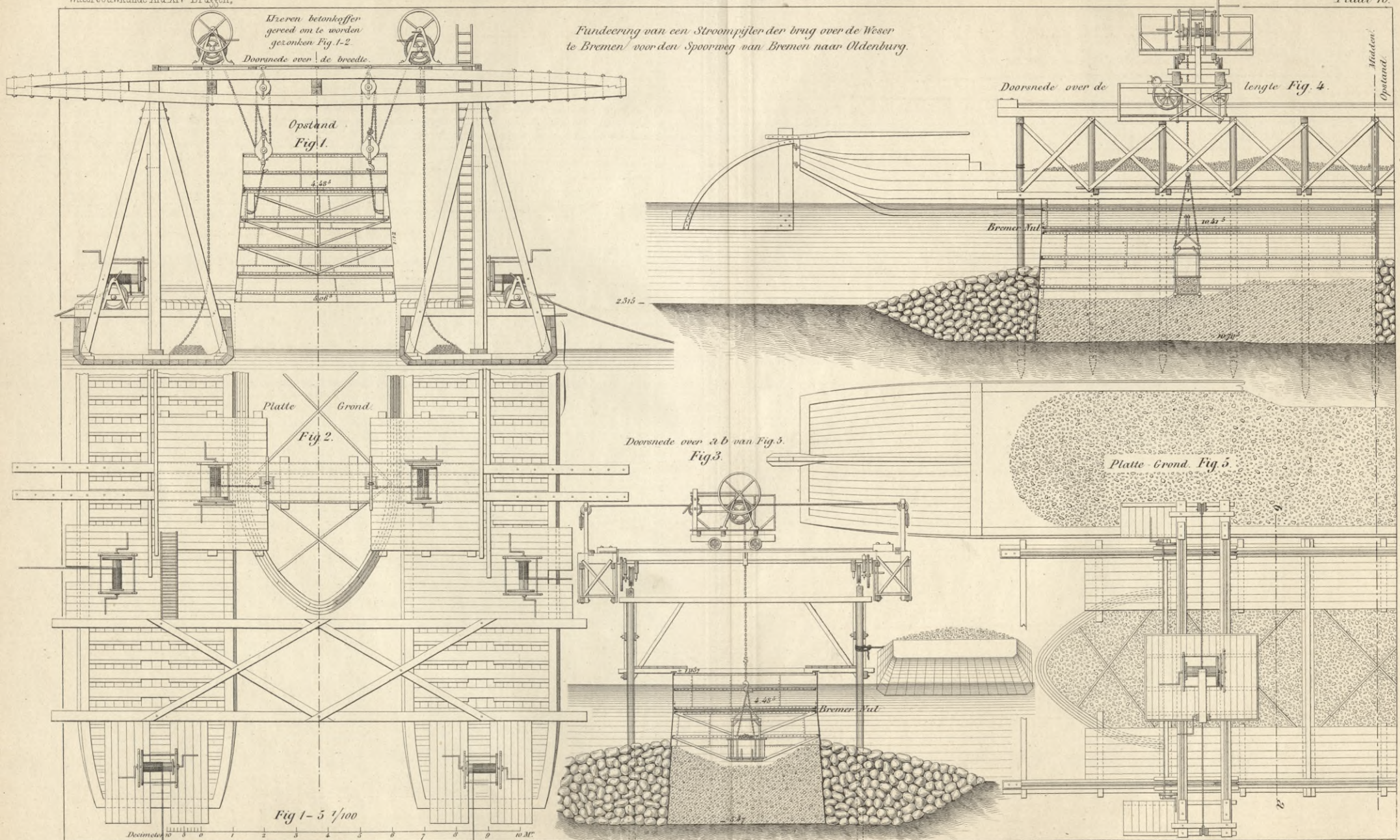
Platte
Grond
Fig. 2.

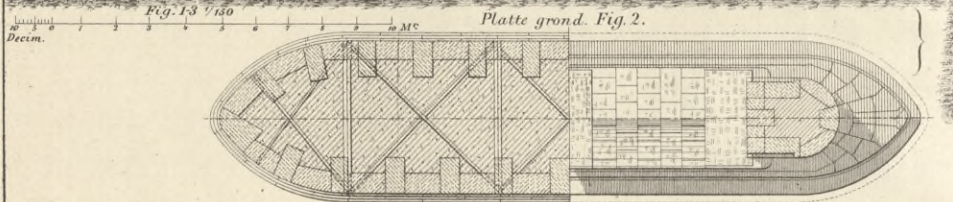
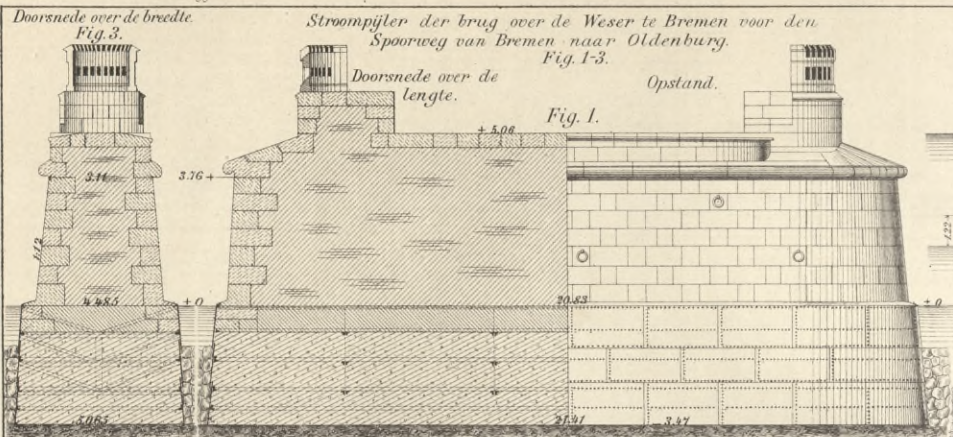
Doorsnede over a b van Fig. 5.
Fig. 3.

Platte-Grond Fig. 5

Fig. 1-5 1/100

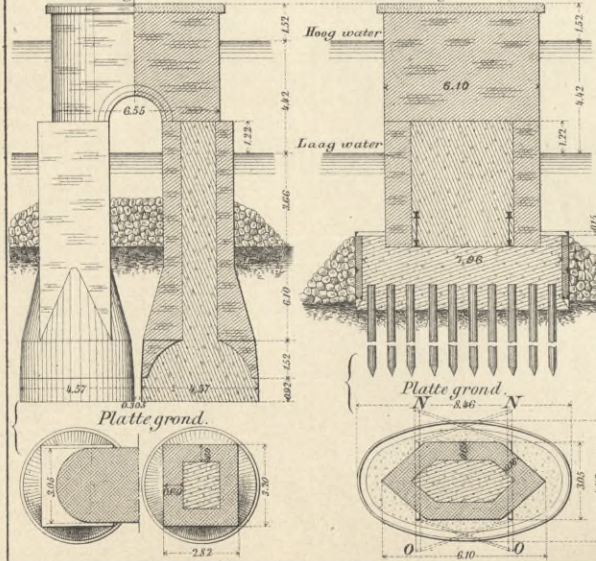
Decimeter 0 1 2 3 4 5 6 7 8 9 10 M.





Pijlers van de brug over de Táj tusshen Wormit en Dundee.
Fundeering der pijlers 21-27.
Opstand.
Fig. 12.

Fundeering der pijlers 16-20.
Doorsnede.
Fig. 13.

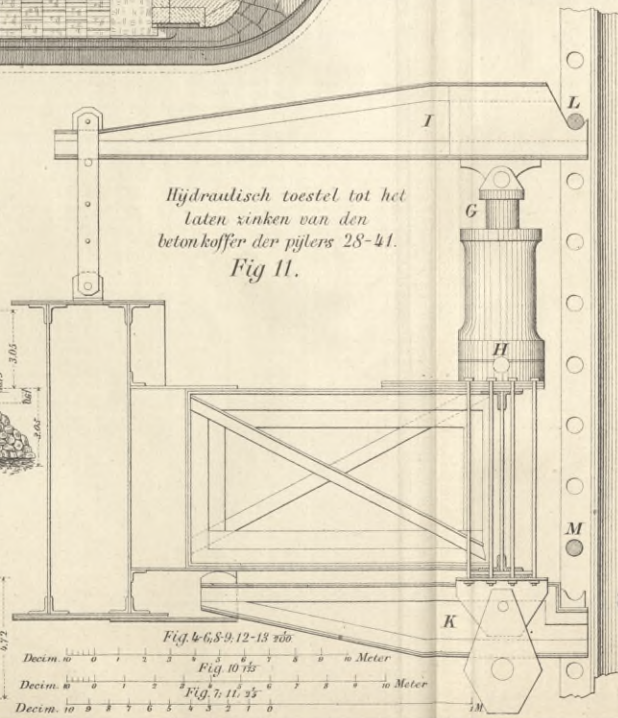
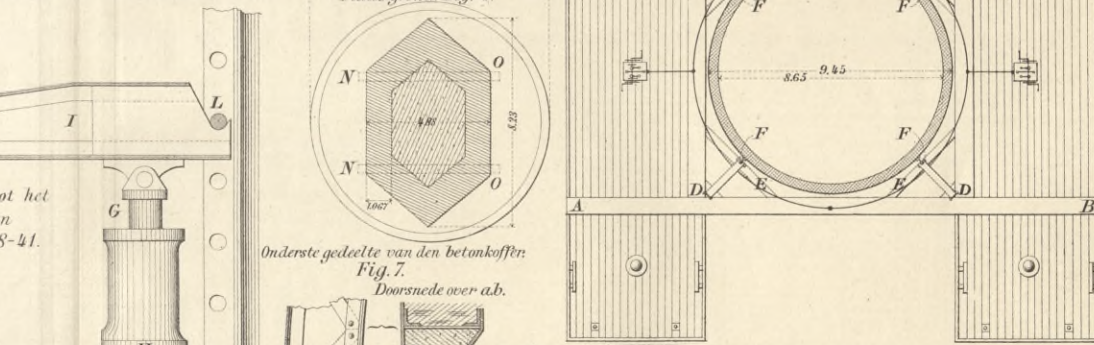
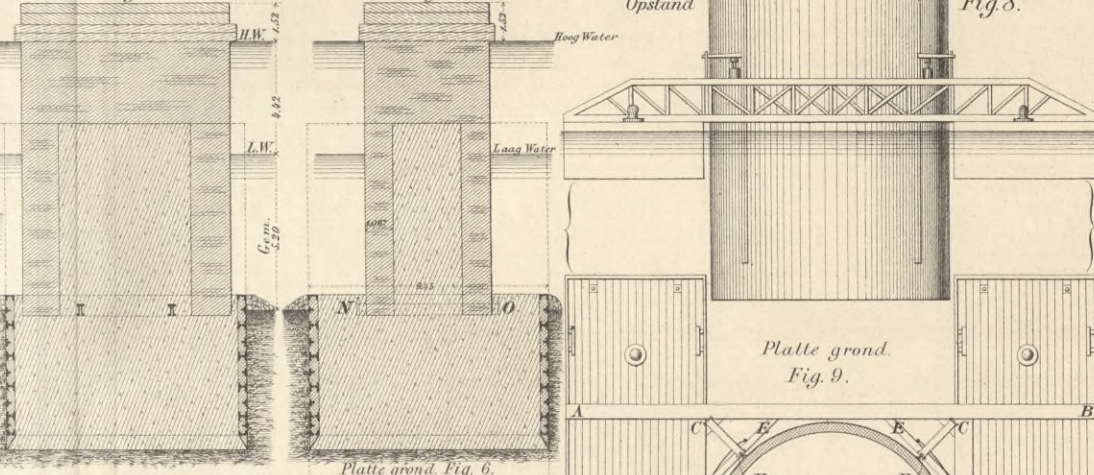


Pijlers van de brug over de Táj tusshen Wormit en Dundee in Schotland.
Fundeering der pijlers 28-41. Fig. 4-7.

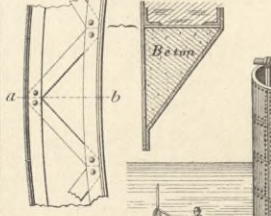
Doorsnede over de lengte.
Fig. 4.

Doorsnede over de Breedte.
Fig. 5.

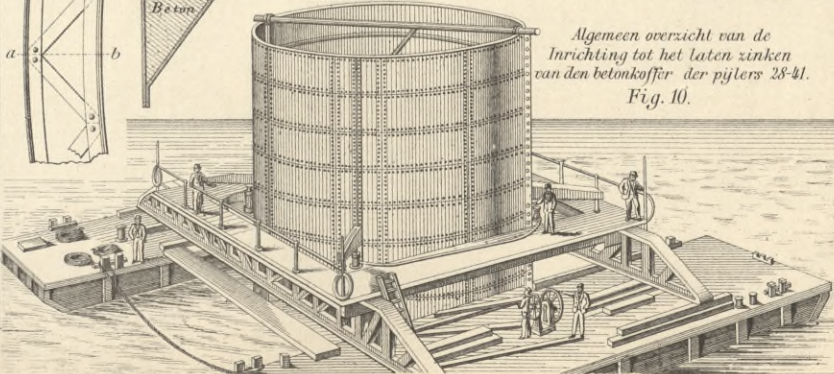
Opstand
Fig. 8.



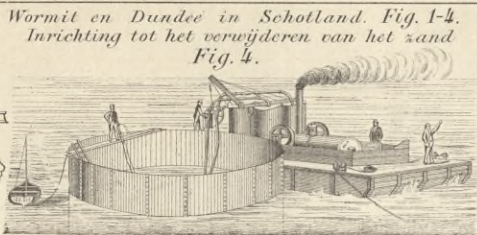
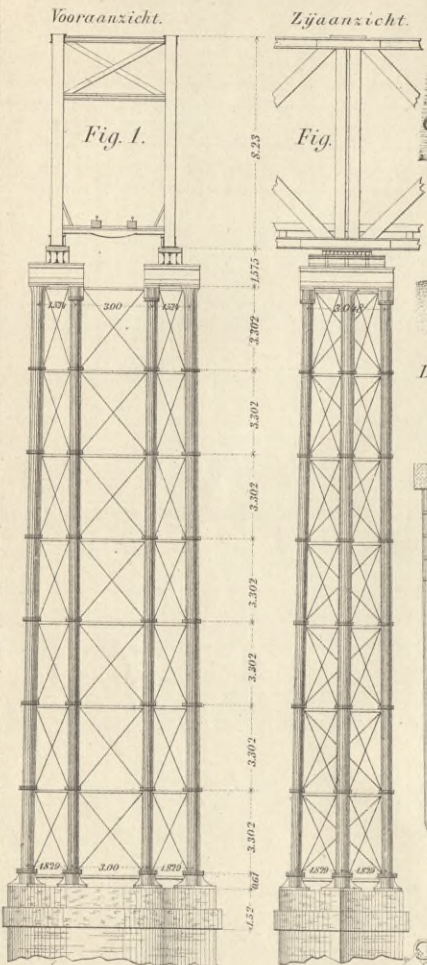
Onderste gedeelte van den betonkoffer.
Fig. 7.



Algemeen overzicht van de Inrichting tot het laten zinken van den betonkoffer der pijlers 28-41.
Fig. 10.



Pijlers der Spoorwegbrug over de Tuij tusſchen Wormit en Dundee in Schotland. Fig. 1-4. IJeren verhoogſtukken op eenige ſteenen pijlers der Tuij-brug.



Fundeering van de nieuwe Westminsterbrug te Londen. Fig. 11-14. Doorsnede over de breedte. Fig. 11. IJeren platen. Fig. 12.

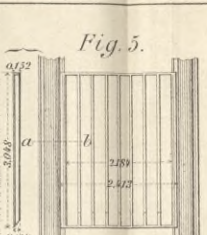
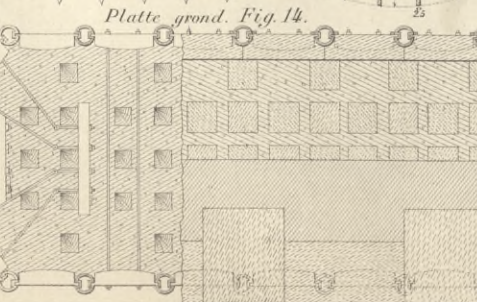
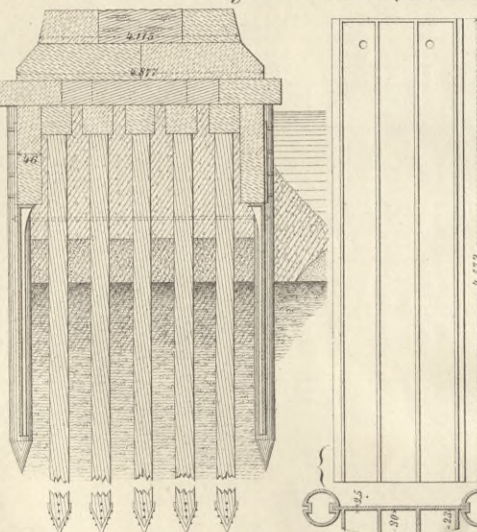


Fig. 6. Doorsnede over a, b. van Fig. 5.

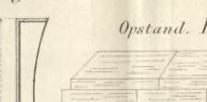


Fig. 8. Doorsnede der palen boven water. Fig. 7.

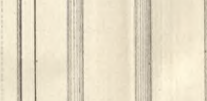


Fig. 9. Platte grond.



Fig. 10. Platte grond.

Fig. 11. Doorsnede over de breedte.

Fig. 12. IJeren platen.

Fundeering van den middelpijler der Koningsbrug te Rotterdam. Fig. 8-10. Doorsnede. Fig. 8.

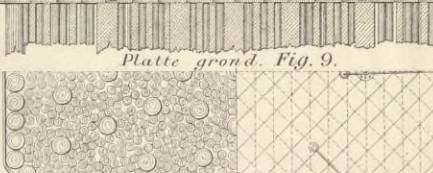
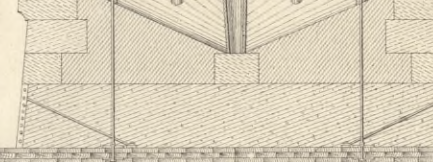


Fig. 9. Platte grond.

Fig. 10. Doorsnede over a, b.

Fig. 11. Doorsnede over de breedte.

Fig. 12. IJeren platen.

Fig. 13. Opstand.

Fig. 14. Platte grond.

Fig. 15. Doorsnede over a, b.

Fig. 16. Opstand.

Fig. 17. Platte grond.

Fig. 18. Doorsnede over de breedte.

IJeren betonkist van binnen gezien. Fig. 10. Doorsnede. Fig. 8.

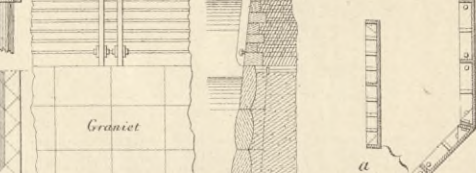


Fig. 11. Doorsnede over a, b.

Fig. 12. IJeren platen.

Fig. 13. Opstand.

Fig. 14. Platte grond.

Fig. 15. Doorsnede over a, b.

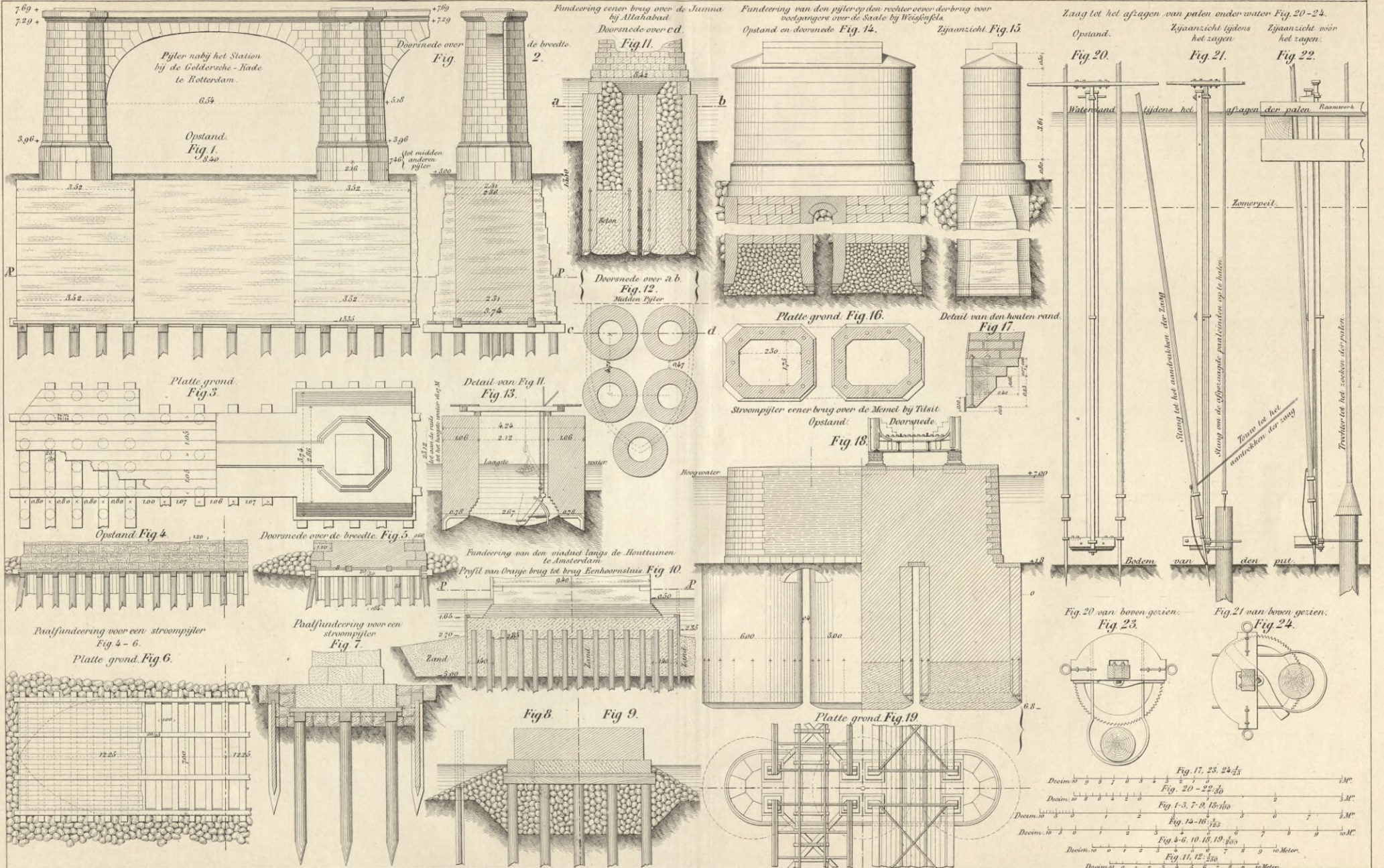
Fig. 16. Opstand.

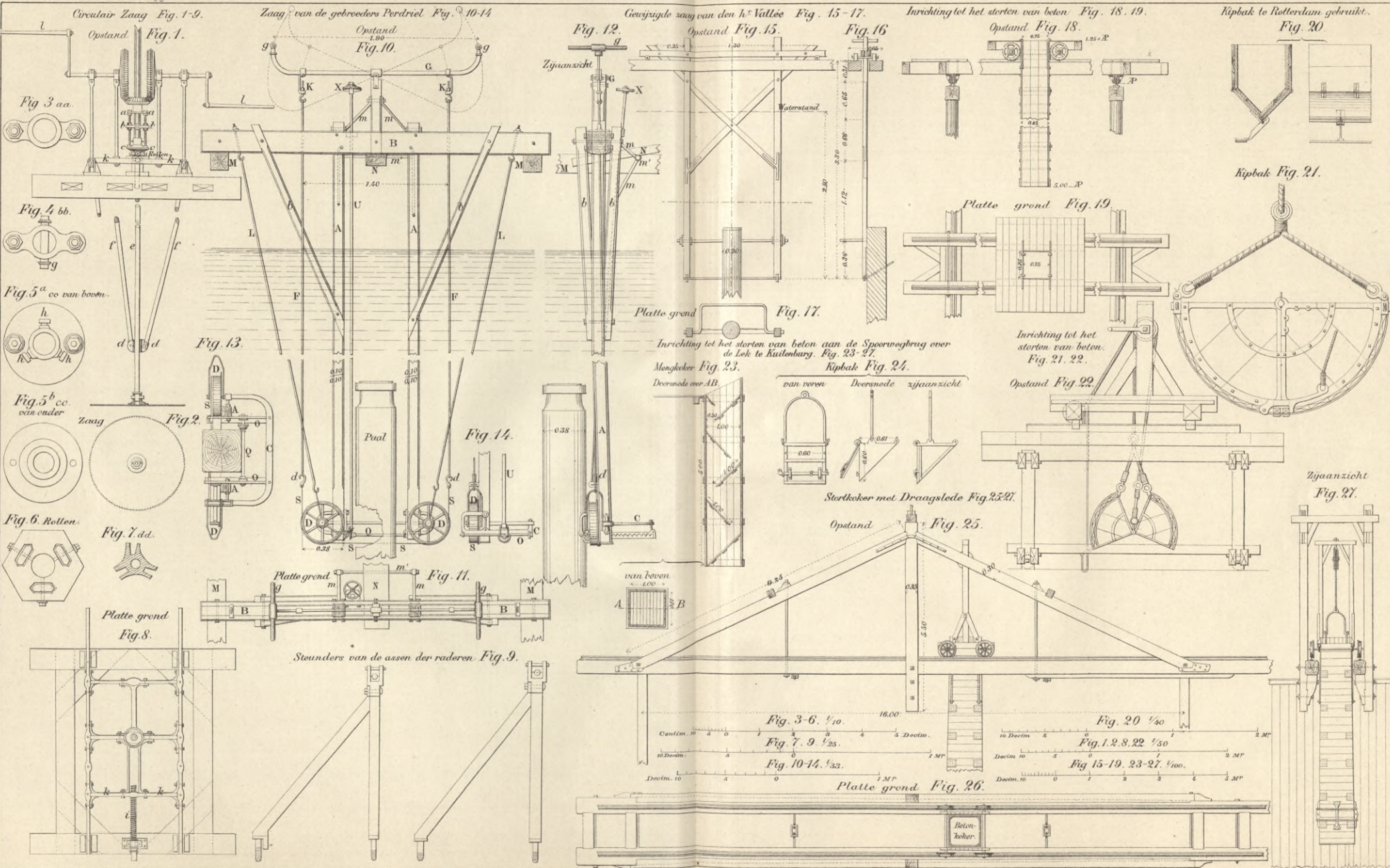
Fig. 17. Platte grond.

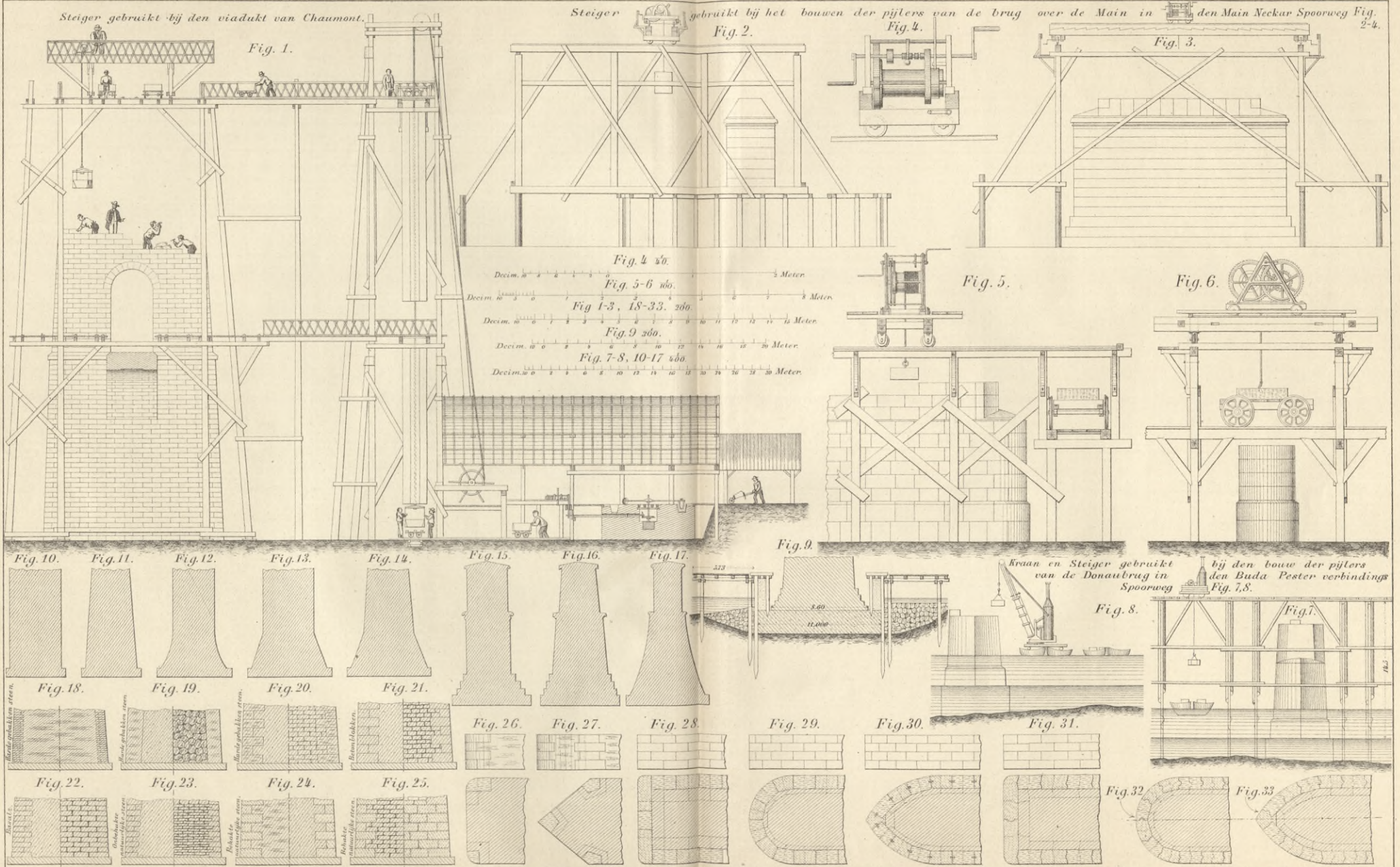
Fig. 18. Doorsnede over de breedte.

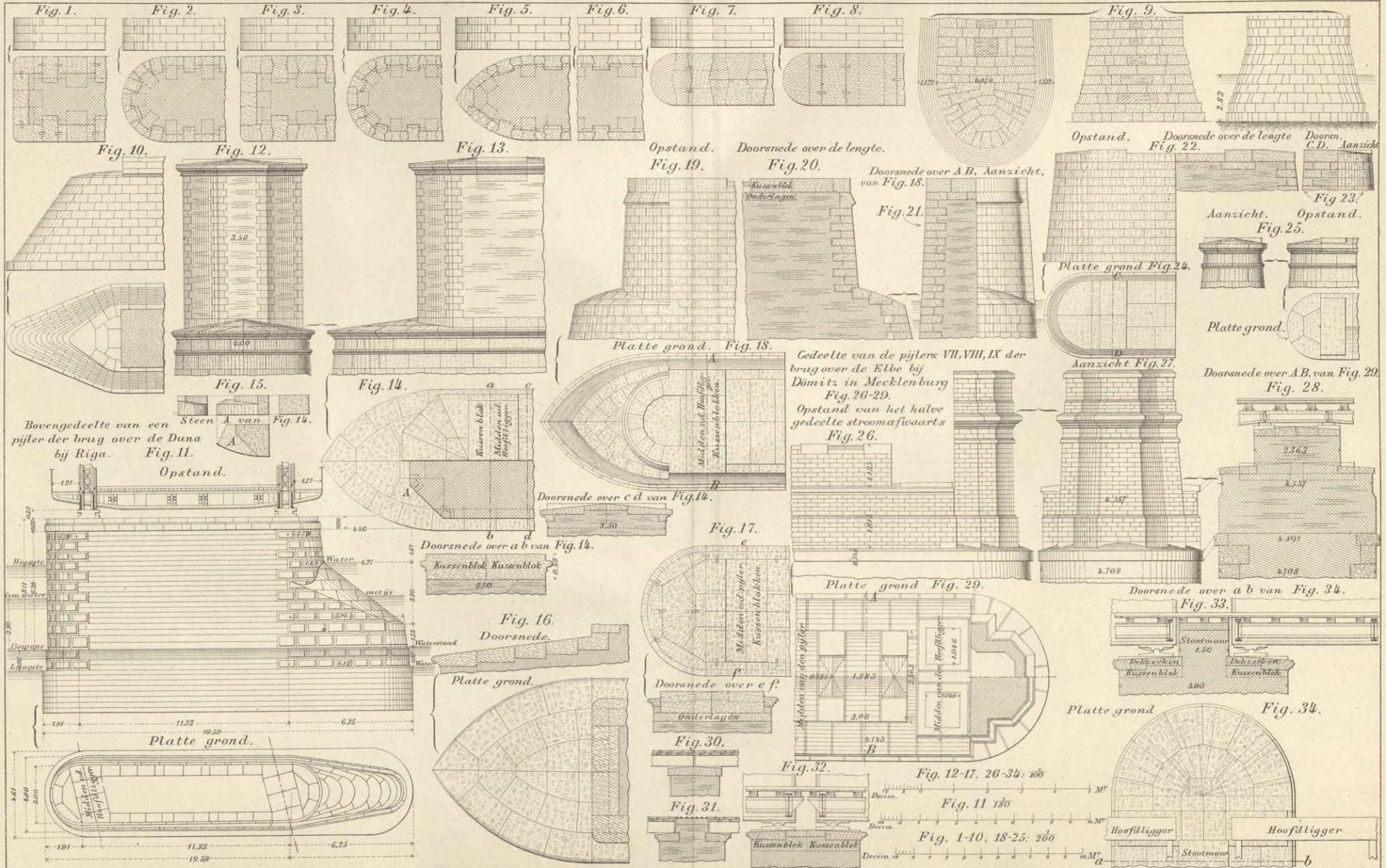
Fig. 19. Doorsnede over de breedte.

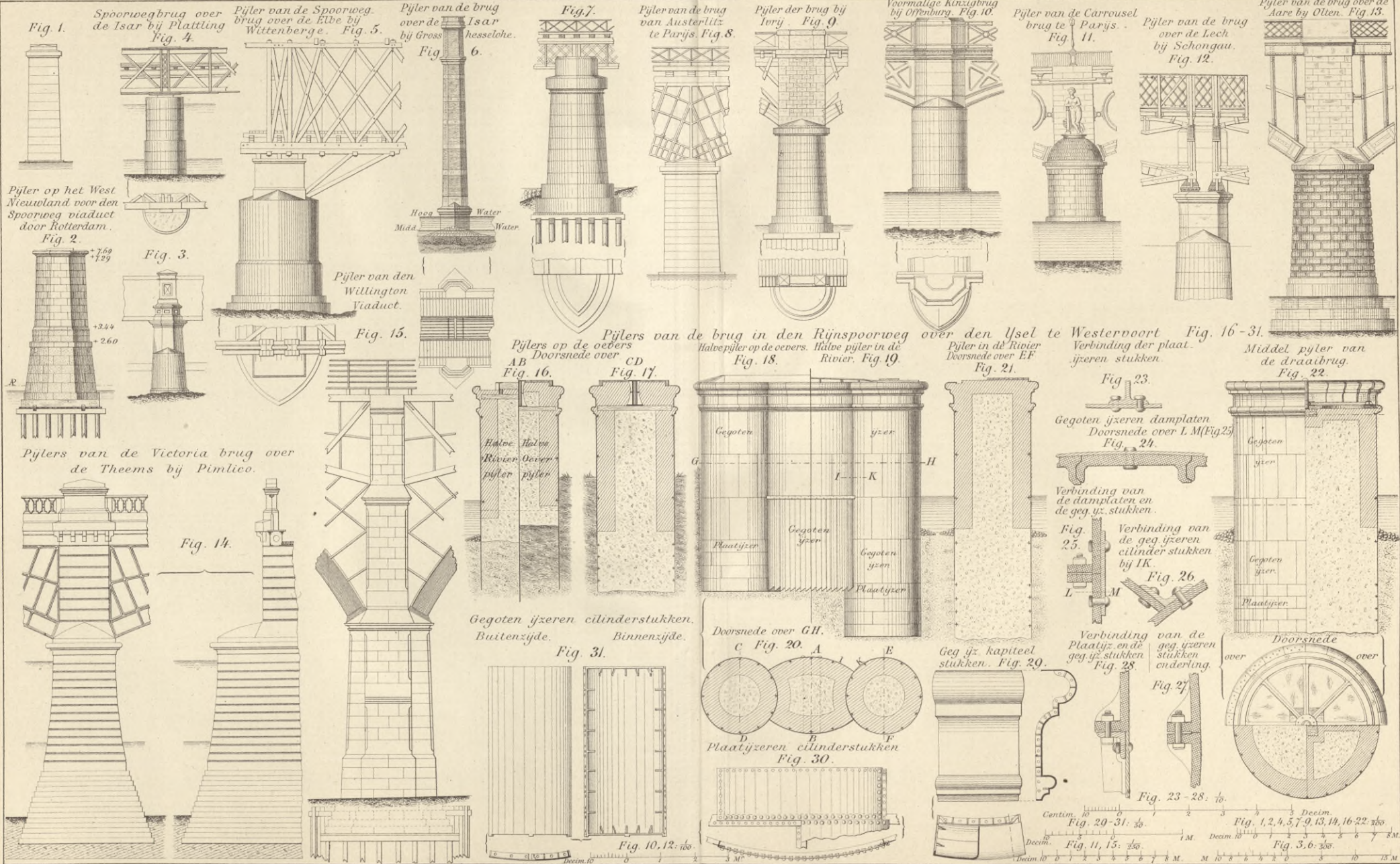
Fig. 20. Doorsnede over de breedte.











Het zinken van de cilinders van de oeverpijlers.

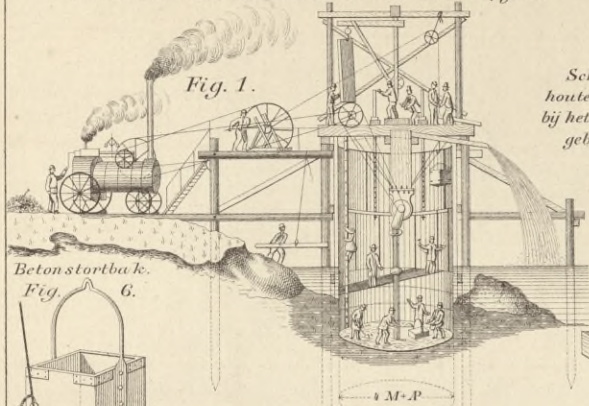
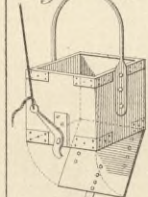


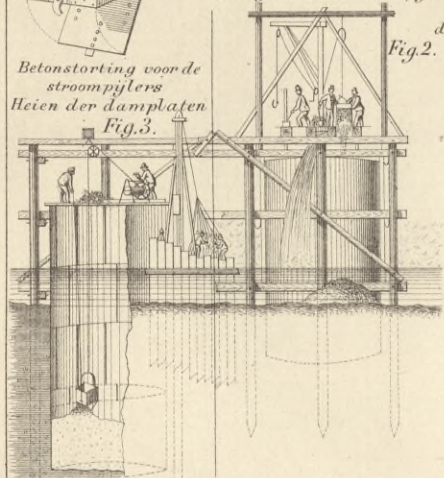
Fig. 1.

Schroeven en houten klofsen bij het zinken gebruikt. Fig. 5.

Betonstortbak. Fig. 6.

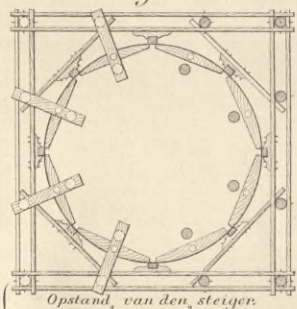
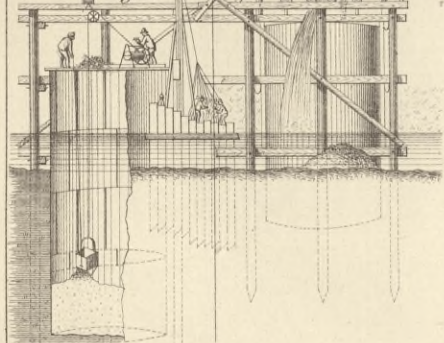


Steiger voor de oeverpijlers.



Het zinken van den cilinder van den middelpijler der draaibrug Fig. 7-9. Fig. 2.

Betonstorting voor de stroompijlers. Het der damplaten Fig. 3.



Platte grond. Fig. 7.

Opstand van den steiger. Fig. 8.

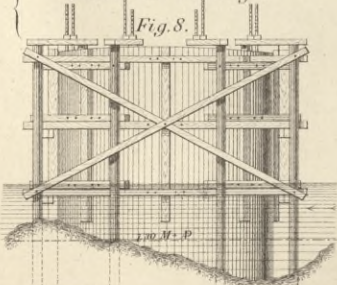
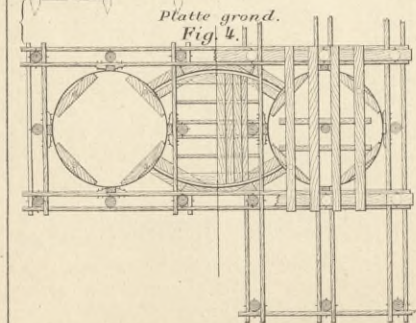


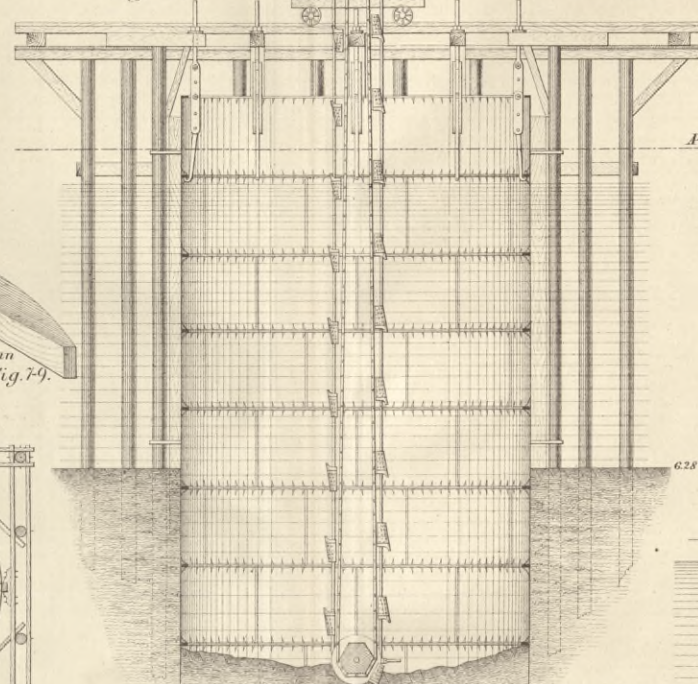
Fig. 8.

1,40 M.P.



Platte grond. Fig. 4.

Verwijdering der stoffen uit den gegoten yzeren koffer Doorsnede over de lengte Fig. 11.



Pijler of tussehen penant van de draaibruggen over het Noord Hollandsch Kanaal in Koe-gras en te Alkmaar in den spoorweg van Nieuwe Diep naar Amsterdam Fig. 11-14.

Het verwijderen der stoffen uit den cilinder. Fig. 9.

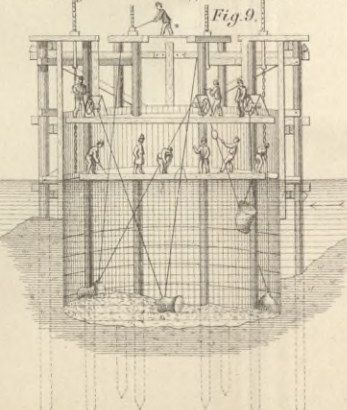
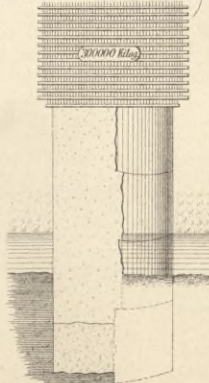
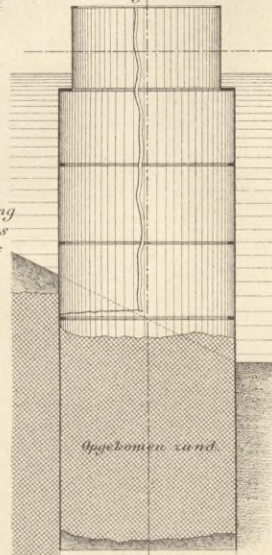


Fig. 9.

Proefbelasting van de cilinders der oeverpijlers Fig. 10.



Dwaarsdoorsnede van den gegoten ijz. koffer van het tussehen penant der brug te 628 + Alkmaar (Gebroken.) Fig. 13.



Platte grond van den gebroken gegoten yzeren koffer. Fig. 14.



Verwijdering der stoffen uit den geg. ijz. koffer Doorsnede over de breedte. Fig. 12.

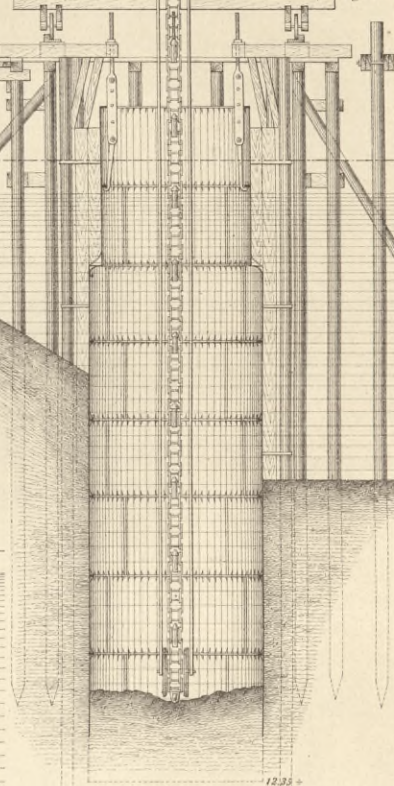


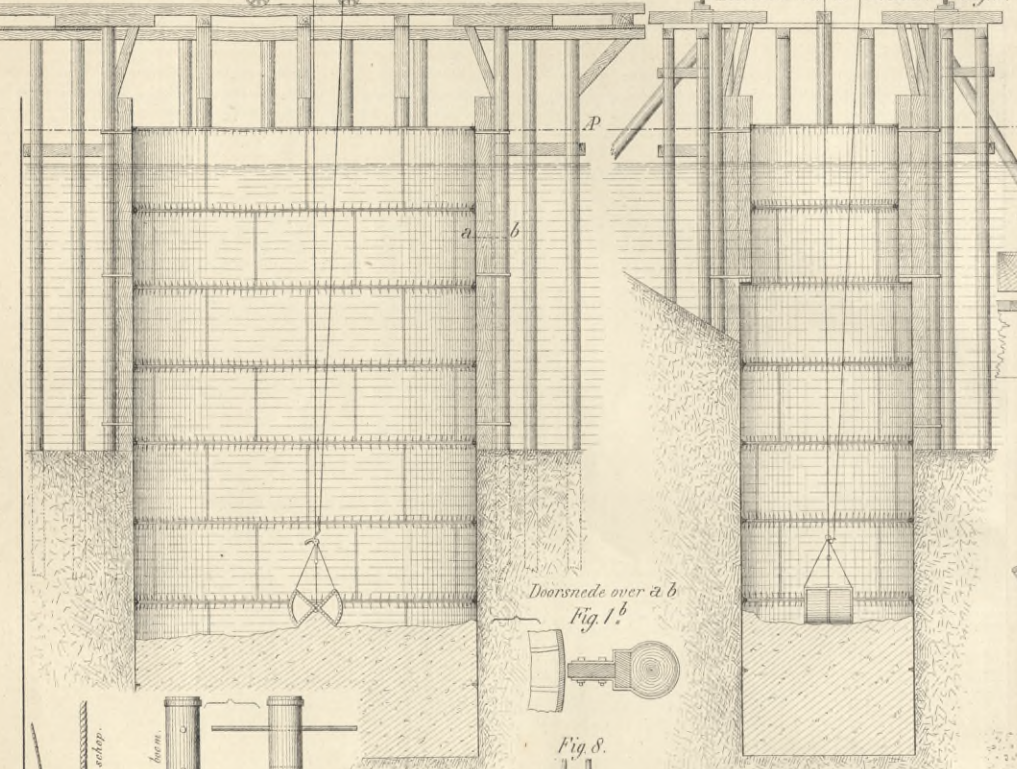
Fig. 11-14. 100.

Fig. 1-4. 7-10 200

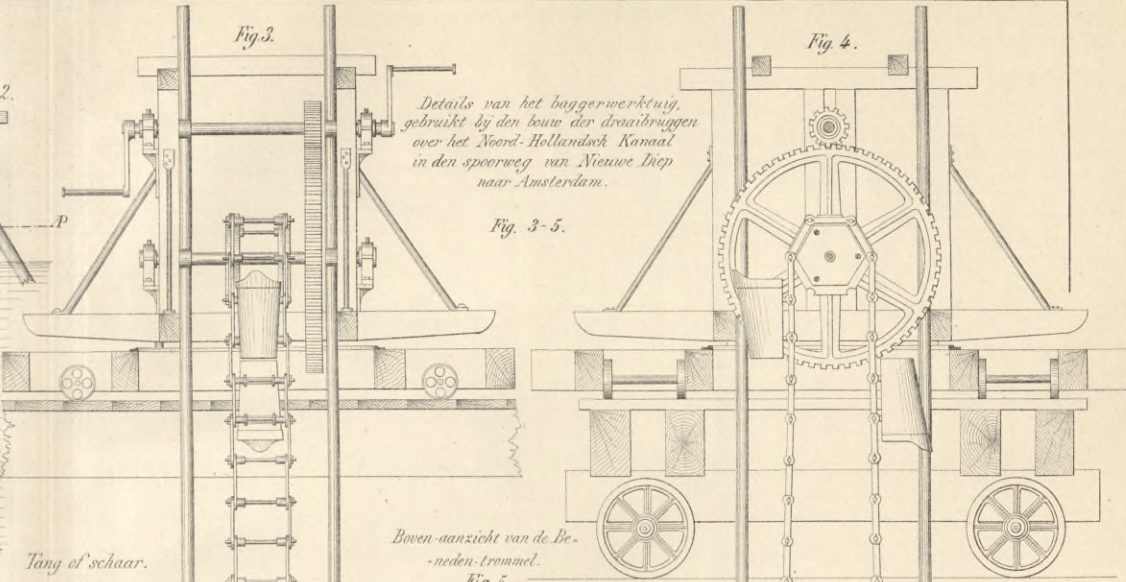
Decim. 0 1 2 3 4 5 6 7 8 9 10 11 12 13 14 15 16 17 18 19 20 Meter.

Decim. 0 1 2 3 4 5 6 7 8 9 10 11 12 13 14 15 16 17 18 19 20 Meter.

Pijler of tusschenpien van draaibruggen over het Noord-Hollandsch Kanaal in Alkmaar in den spoorweg van Nieuwe Diep naar Amsterdam. Betonstorting. Lengte. Fig. 1^a.
Doorsnede over de Breedte. Fig. 2.



Doorsnede over a b Fig. 1^b



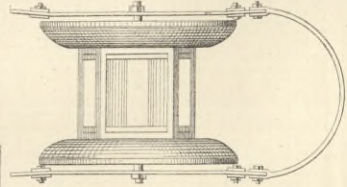
Details van het baggerwerktuig gebruikt bij den bouw der draaibruggen over het Noord-Hollandsch Kanaal in den spoorweg van Nieuwe Diep naar Amsterdam.

Fig. 3-5.

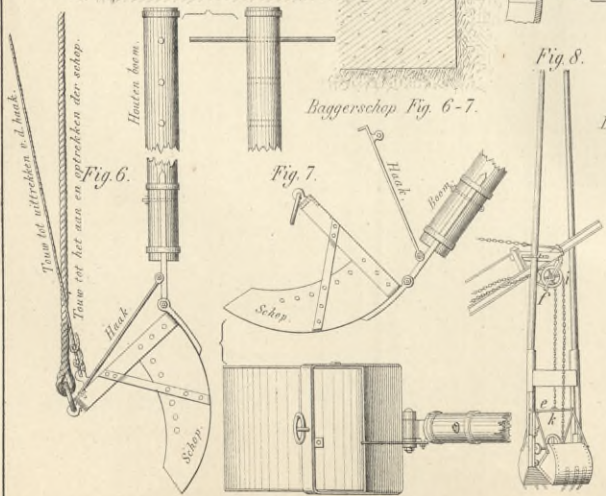
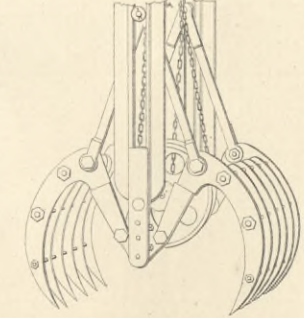
Tang of schaar Fig. 12.



Boven-aanzicht van de Benden-trommel Fig. 5.

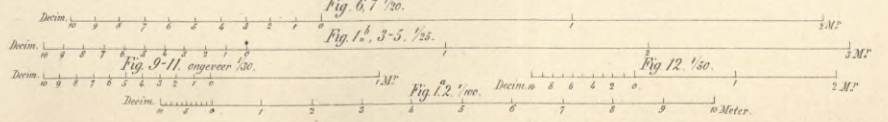
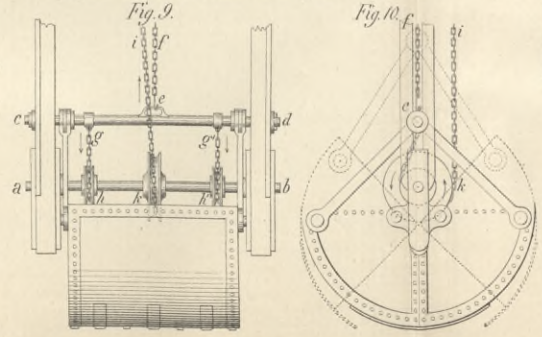


Tang of schaar van Morris en Cumings Fig. 11.



Baggerschap Fig. 6-7.

Baggerwerktuig van Morris en Cumings, gebruikt bij den bouw der brug over de East-River te New-York. Fig. 8-10.



Baggerwerktuig, gebruikt bij den bouw der brug over de Rivier de Ruhr, bij Düsseldorf.

Fig. 1.

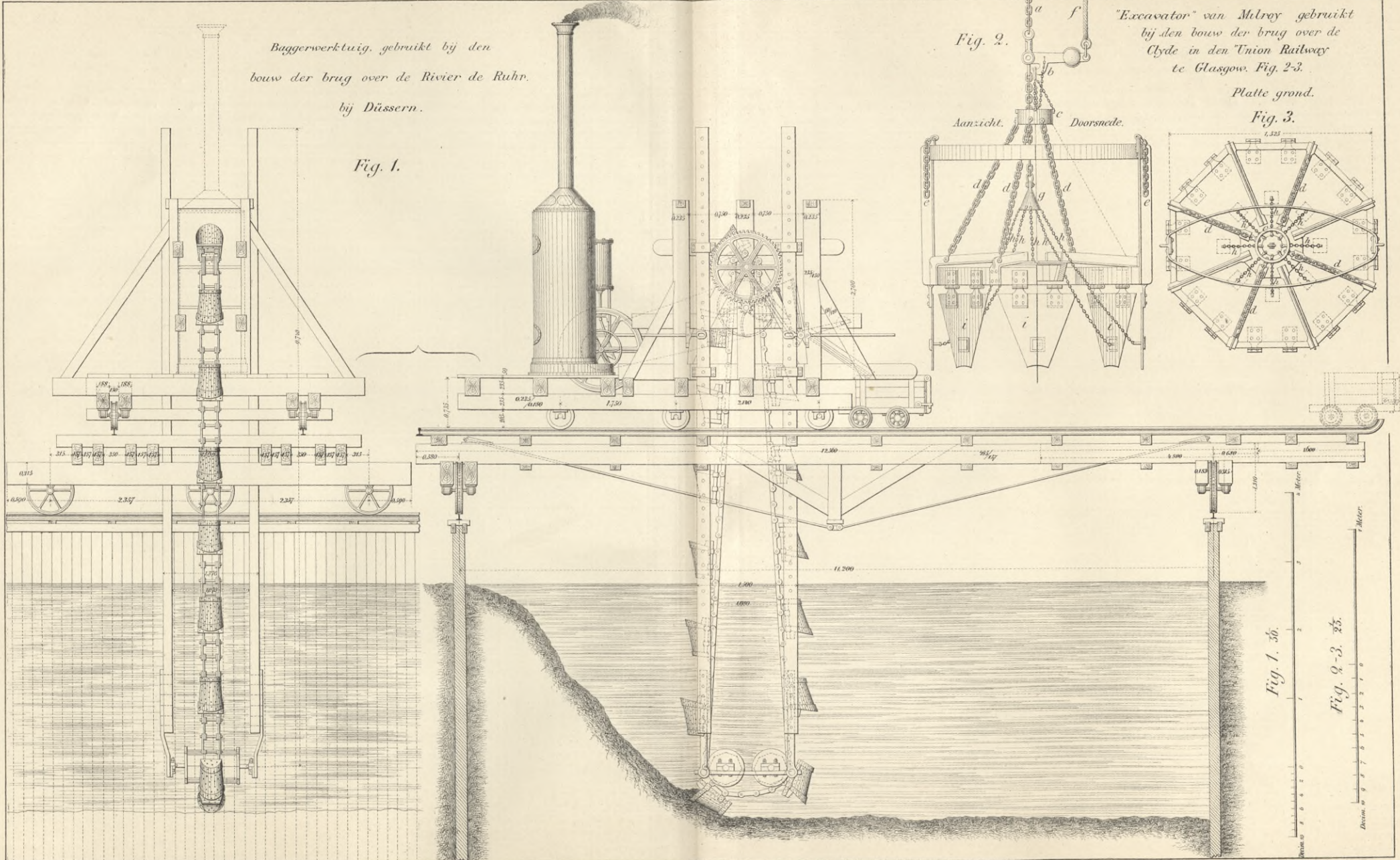


Fig. 2.

"Excavator" van Melroy gebruikt bij den bouw der brug over de Clyde in den Union Railway te Glasgow. Fig. 2-3.

Platte grond.

Fig. 3.

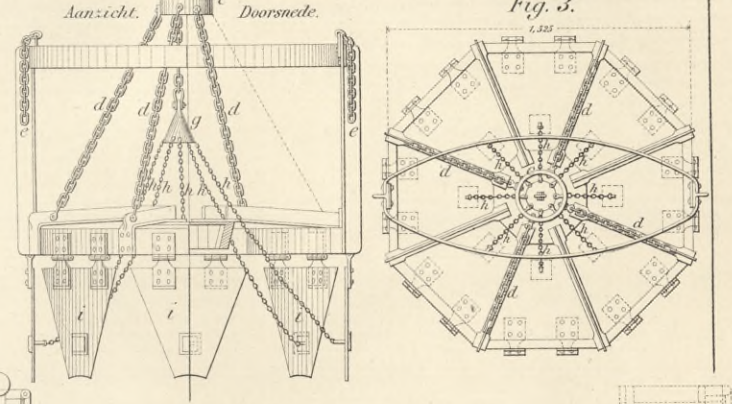
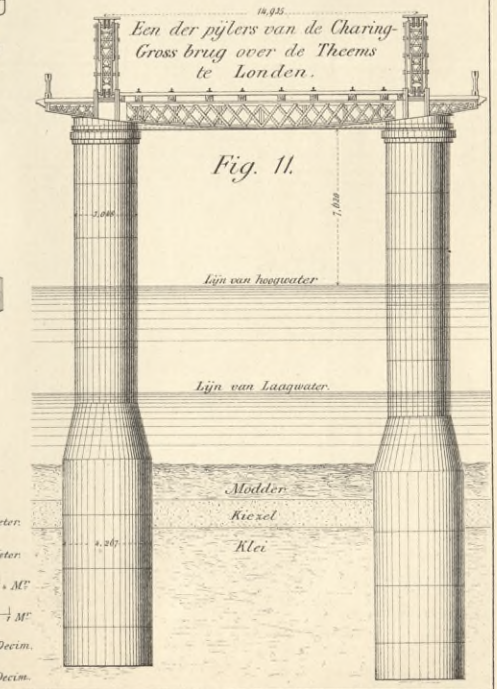
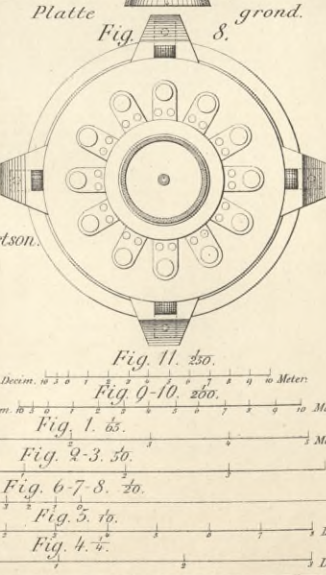
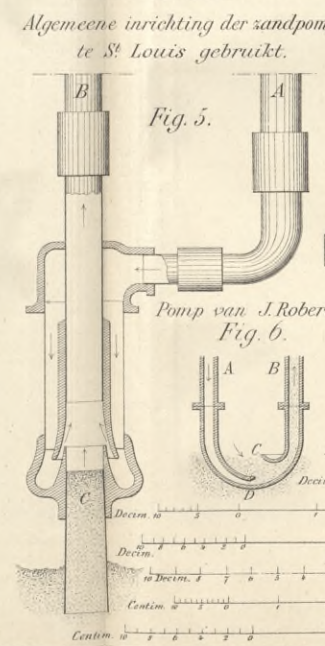
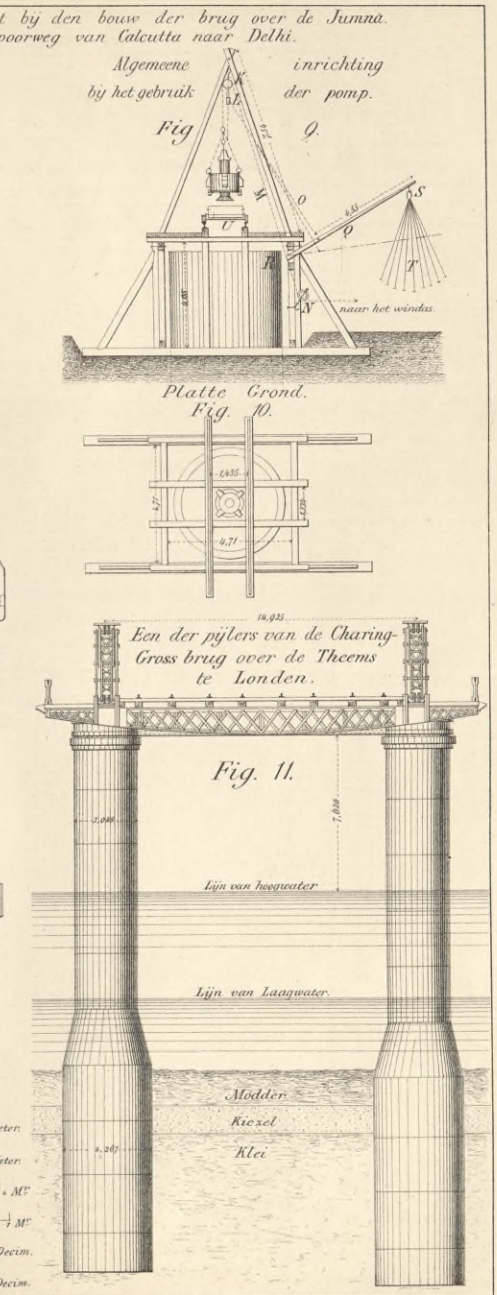
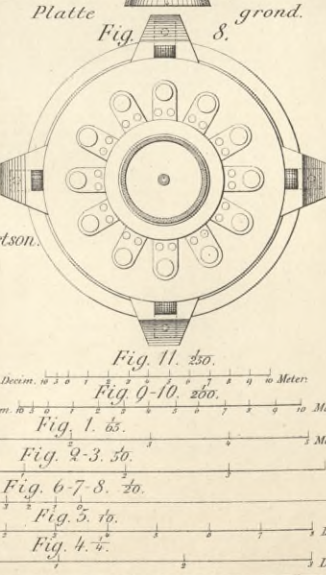
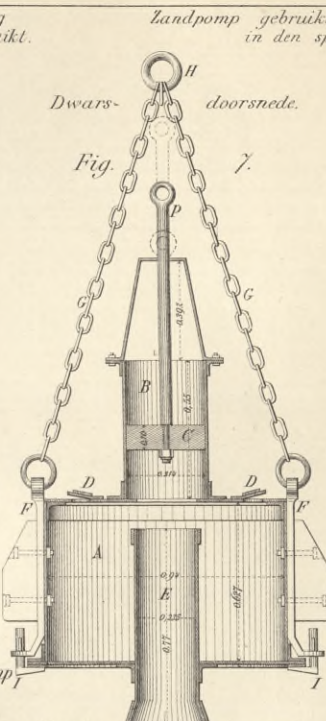
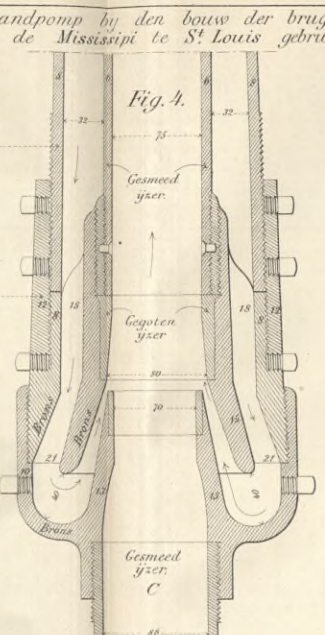
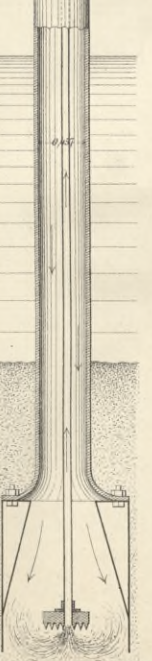
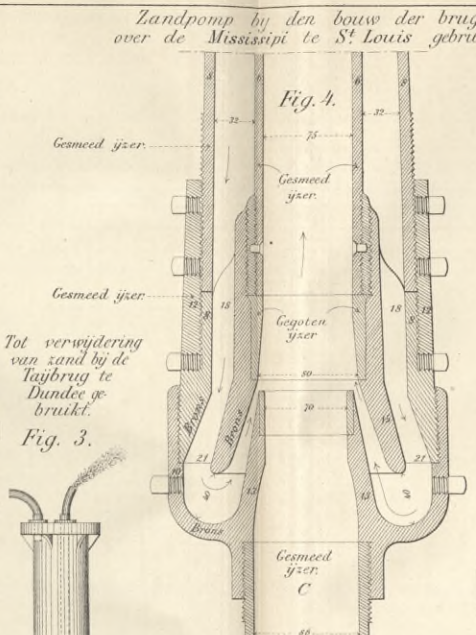
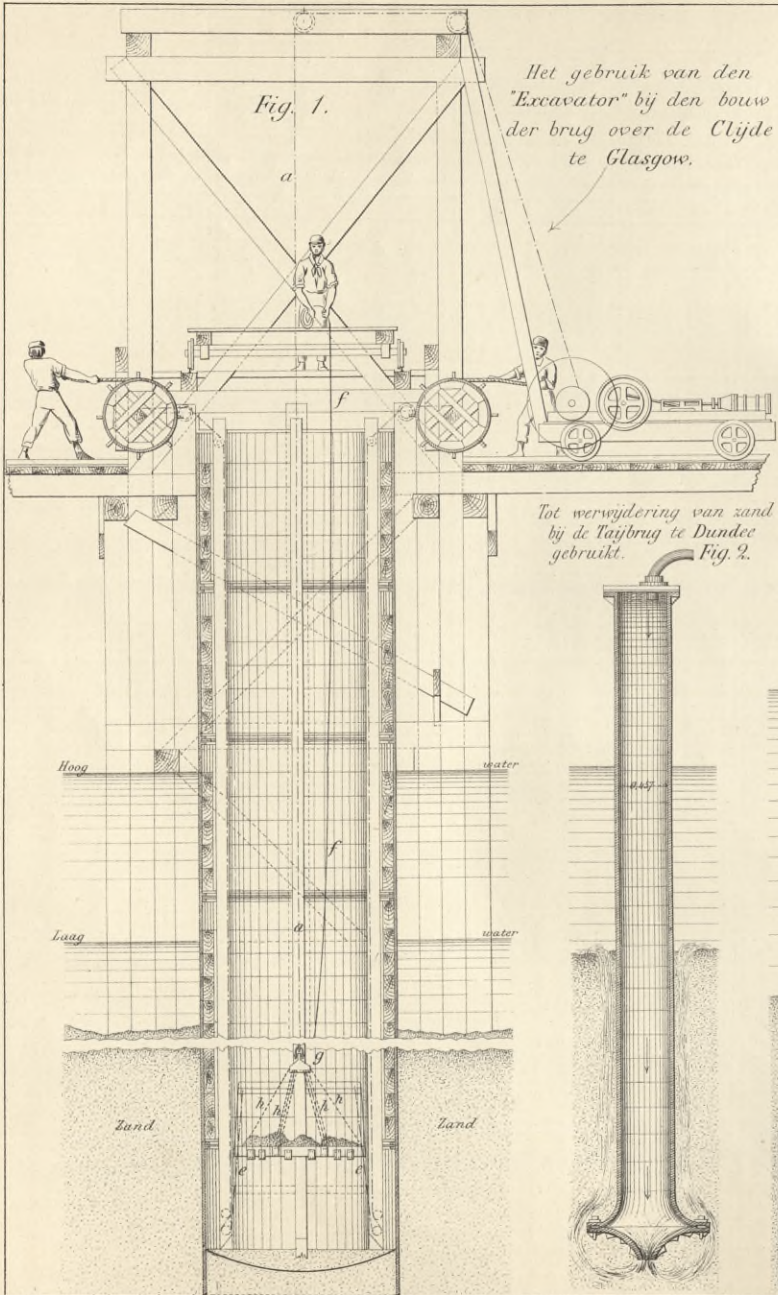
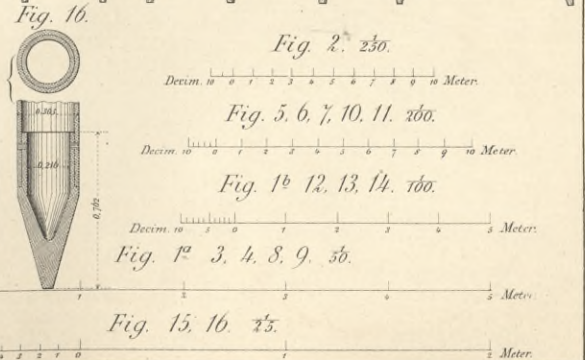
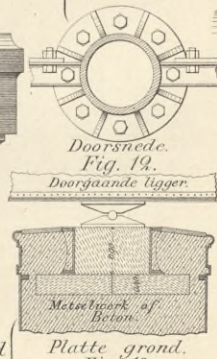
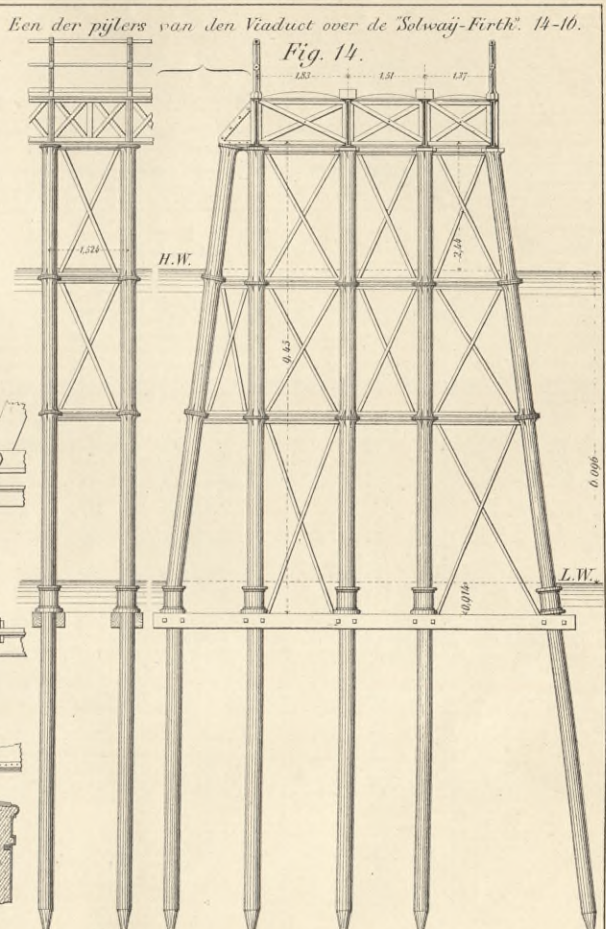
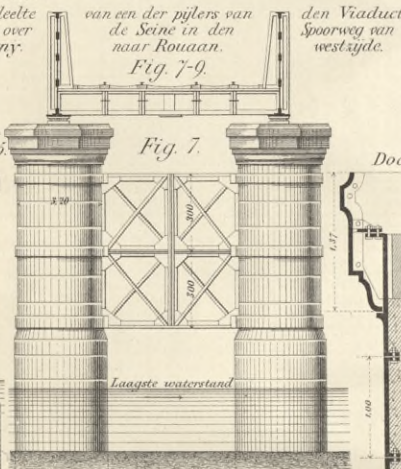
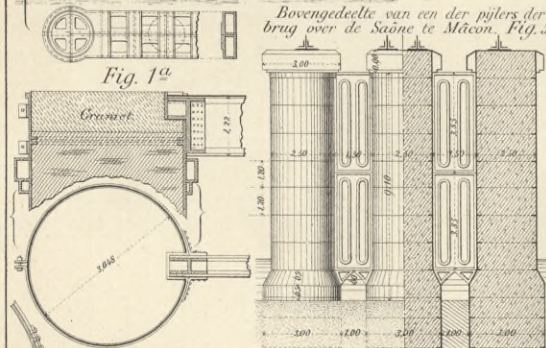
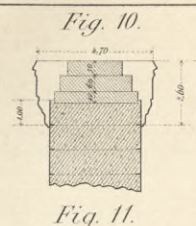
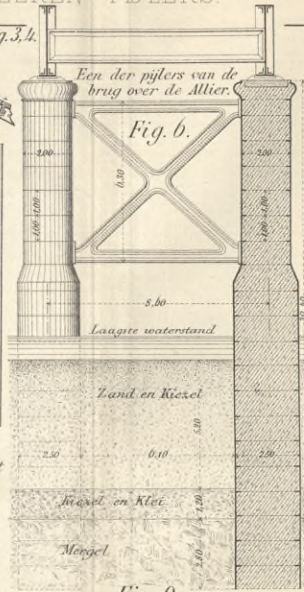
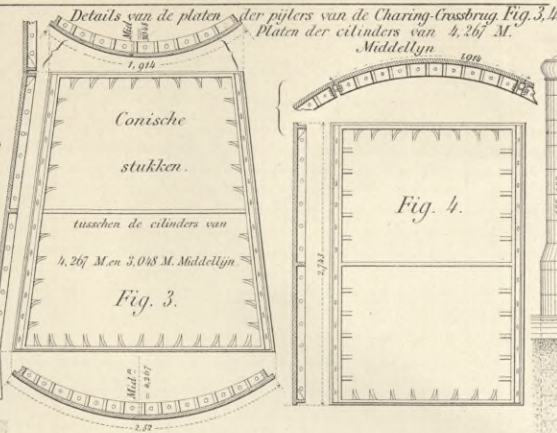
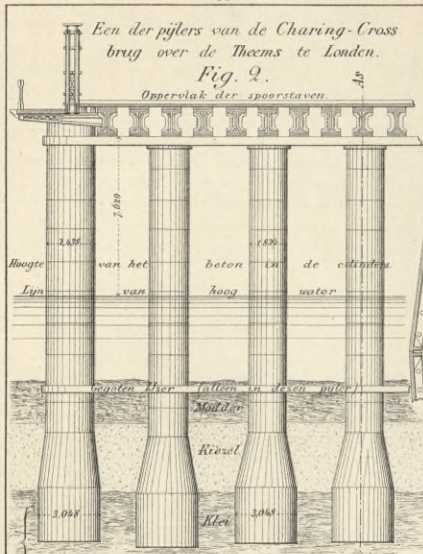


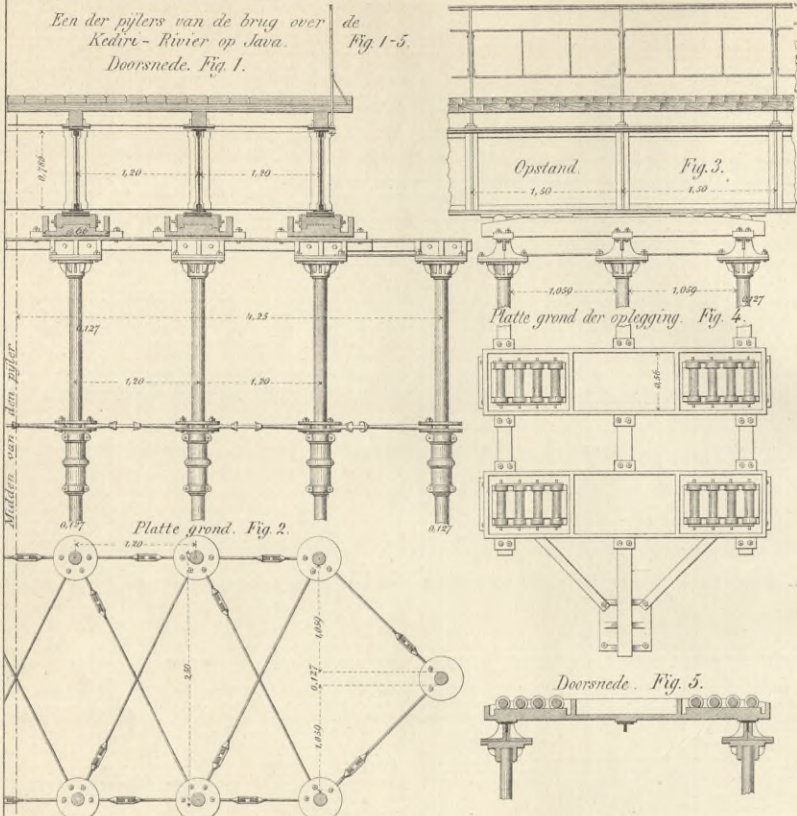
Fig. 1. 56.

Fig. 2-3. 55.

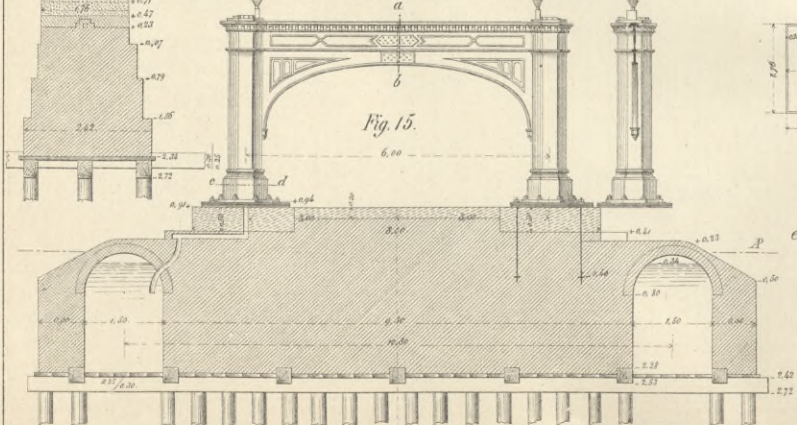




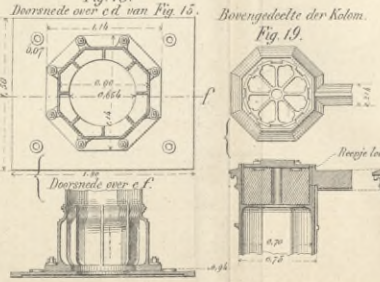
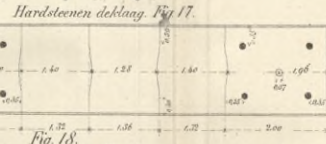
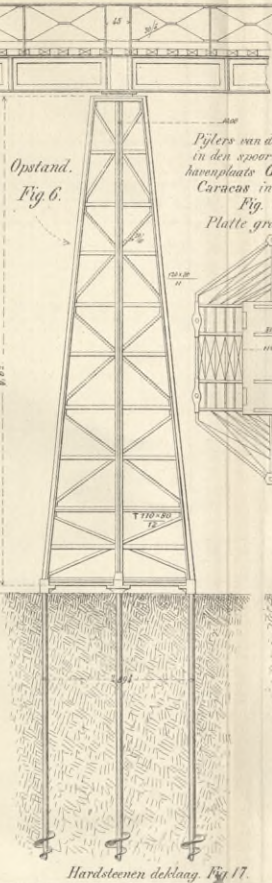
Een der pijlers van de brug over de Kedire-Rivier op Java. Doorsnede. Fig. 1.



Doorsnede. Fig. 16. Een der pijlers van den spoorweg-viaduct te Rotterdam. Fig. 15-20. Doorsnede van het steenen onder-en opstand van het ijzeren bovendeel.



Uitg. de Gebr. van Cleef

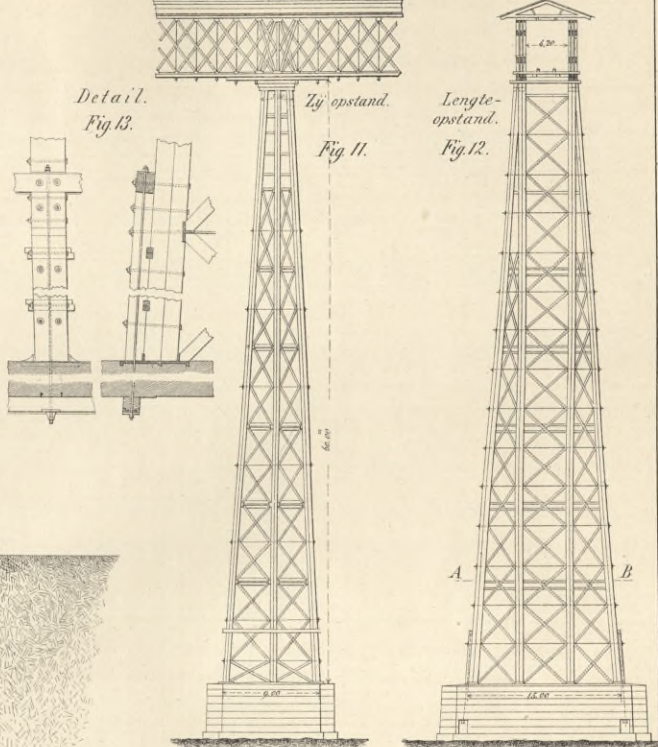


Doorsnede. Fig. 7^a. Fig. 7^b.

Pijlers van den viaduct in den spoorweg van de havenplaats Guaira naar Caracas in Venezuela. Fig. 6-10. Platte grond. Fig. 8.

Helling 122 millioen. per Meter.

Pijler uit het album der typen van houten bruggen der zuidlijke spoorwegen in Oostenrijk. Fig. 11-14.



Doorsnede over A B. Fig. 14.

Doorsnede over a b van Fig. 15. Fig. 20.

Bovengedeelte der kolom. Fig. 19.

Doorsnede over c d van Fig. 15. Fig. 18.

Doorsnede over e f. Fig. 17.

Fig. 9.

Fig. 10.

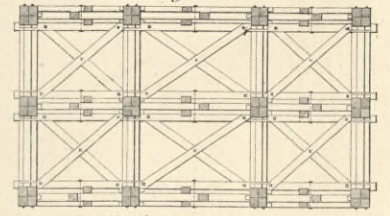


Fig. 14. 1/200.

Fig. 11, 12. 1/500.

Fig. 6-8, 13, 15-17. 1/100.

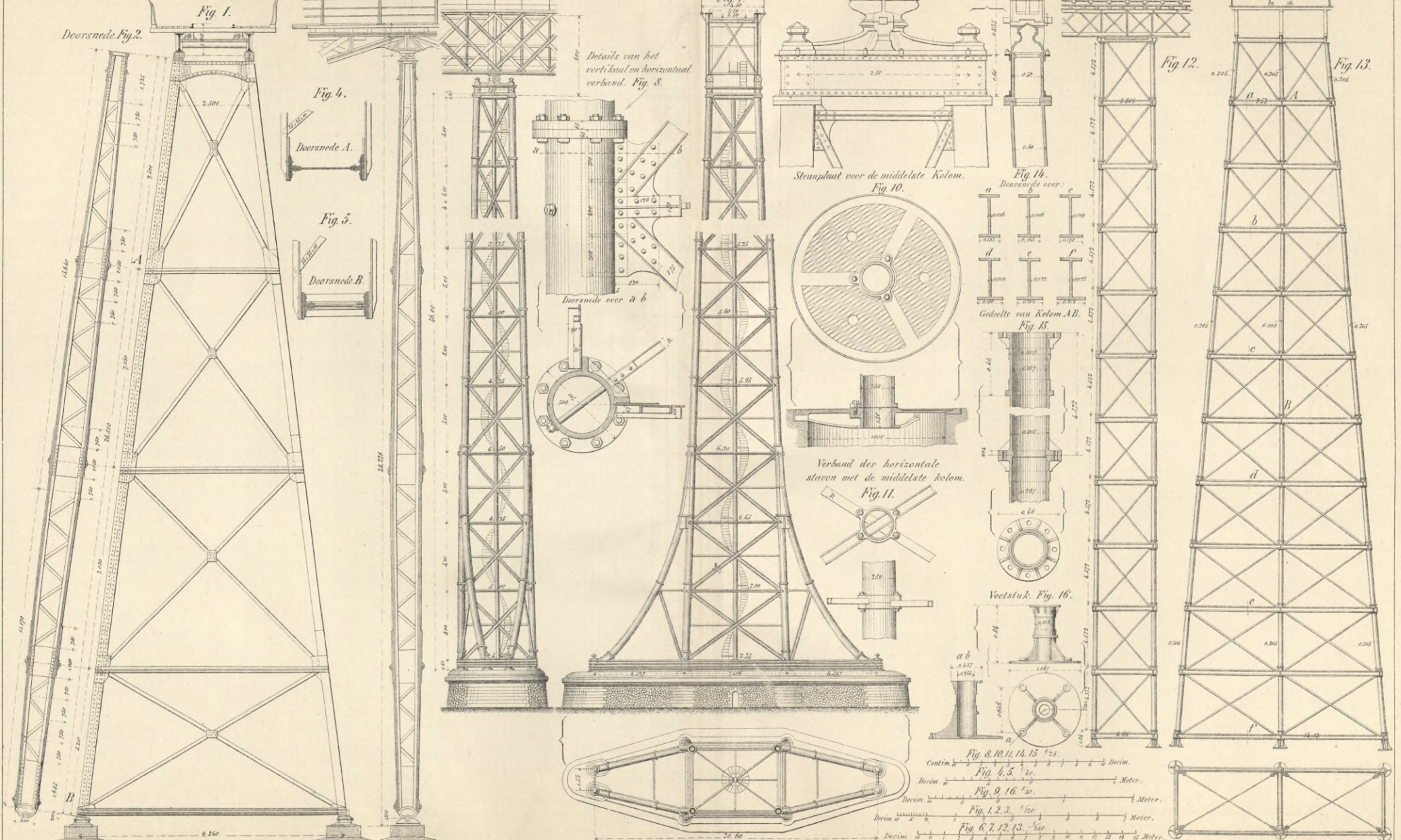
Fig. 1-5, 18, 19. 1/50.

Fig. 9, 10, 20. 1/20.

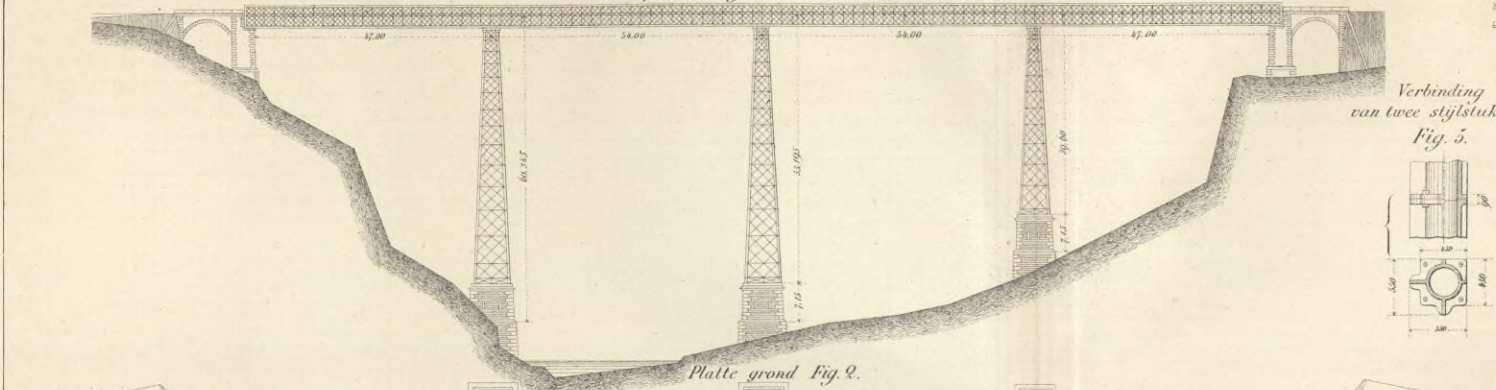
Pijlers met scharnierbeweging van den Viaduct over het Lyse-dal in Noorwegen. Fig. 5. Opstand over de lengte der pijlers. Zij-Opstand. Fig. 3.

En der pijlers van den viaduct over de Boule in den spoorweg van Commeny naar Gannat in Frankrijk. Fig. 6-11. Verband van boven en oplegging. Fig. 9.

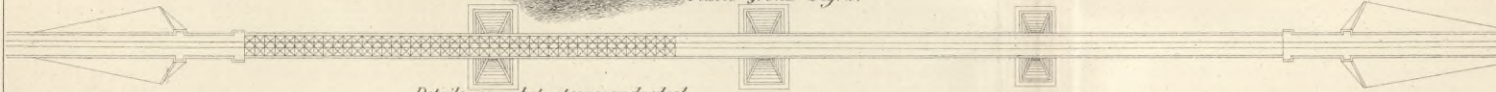
Een der pijlers van de Beclah en Doepdale viaducten. Fig. 12-16.



Viaduct over de Graevine bij Castellanello in den Zuid Italiaanschen spoorweg. Fig. 1-12. Opstand Fig. 1.



Platte grond Fig. 2.



Verbinding van twee stijlstukken. Fig. 5.

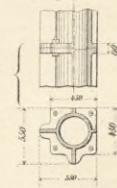
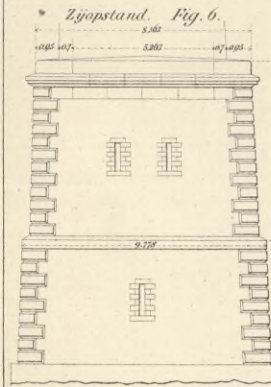


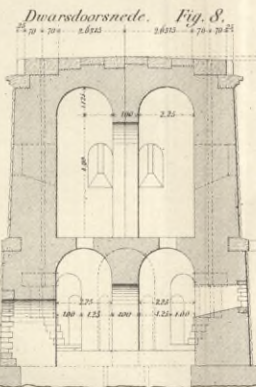
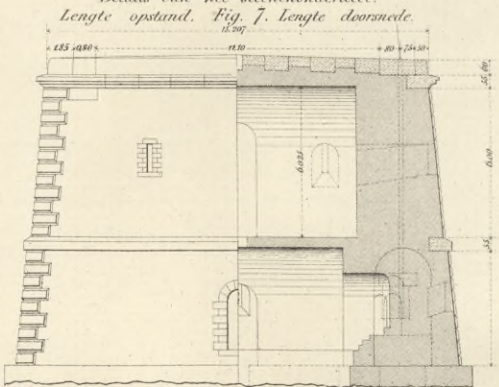
Fig. 3.

Fig. 4.

Details van het steenenonderdeel. Lengte opstand. Fig. 7. Lengte doorsnede.

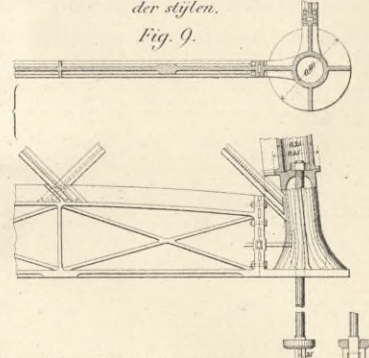


Zijopstand Fig. 6.

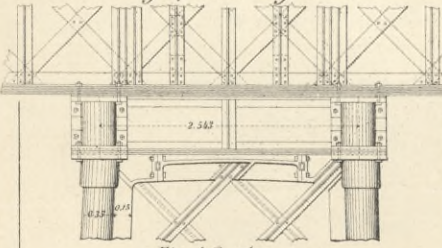


Dwarsdoorsnede. Fig. 8.

Detail van de onder koppeling der stijlen. Fig. 9.



Details van de bovenkoppeling der stijlen en oplegging der liggers. Zij Opstand. Fig. 11. Lengte doorsnede en opstand. Fig. 12.



Horizontale doorsnede bij een horizontaal kruisverband. Fig. 10.

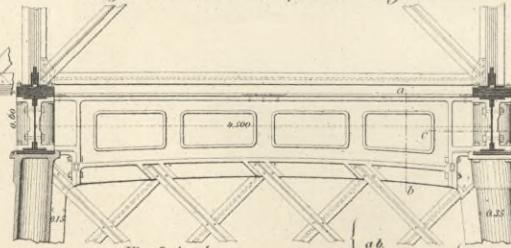
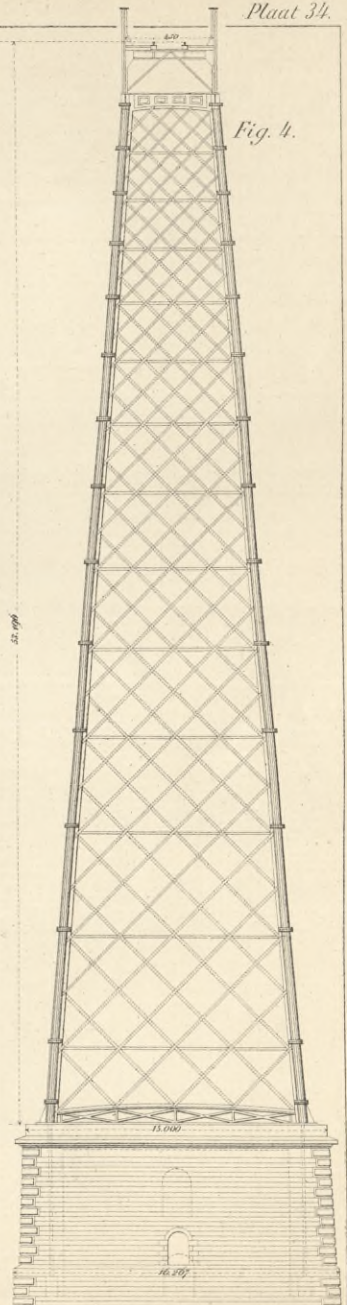
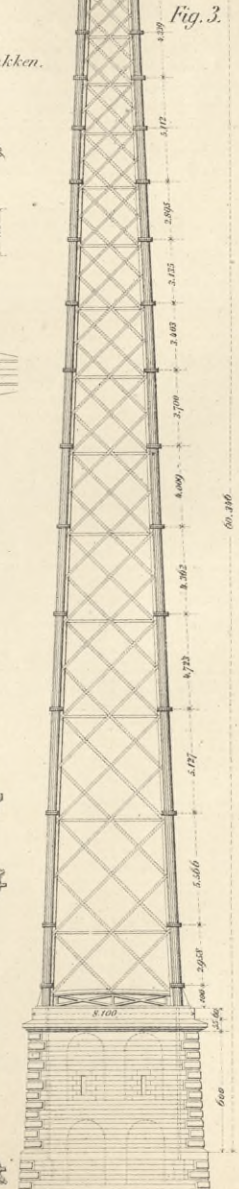
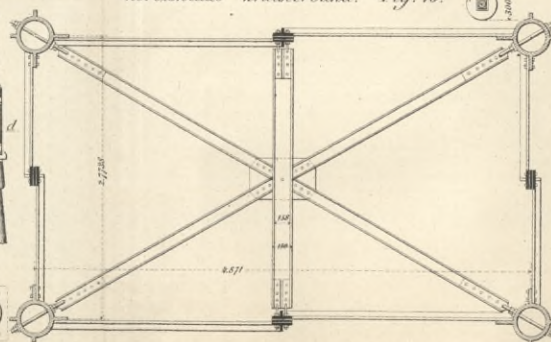


Fig. 3, 4. 250.

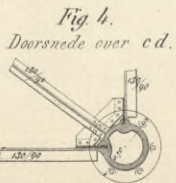
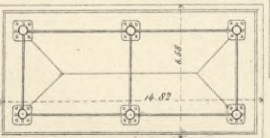
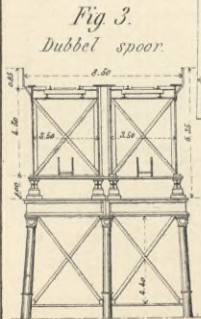
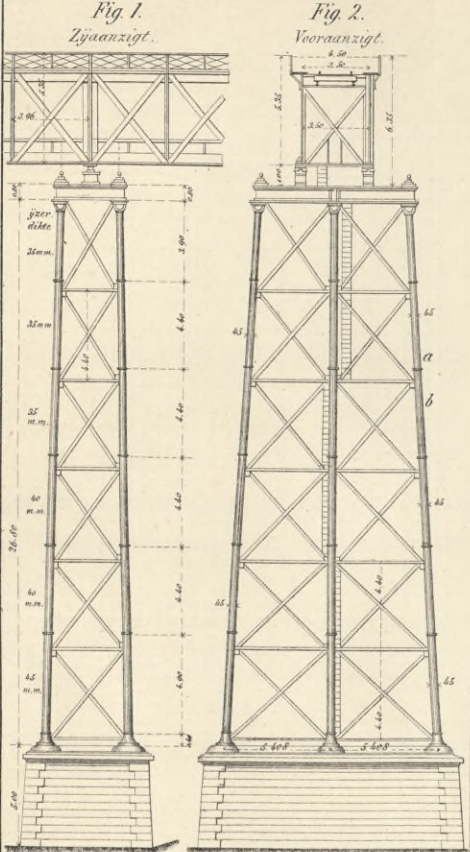
Decimeter 0 1 2 3 4 5 6 7 8 9 10 11 12 Meter

Fig. 5, 9-12. 50.

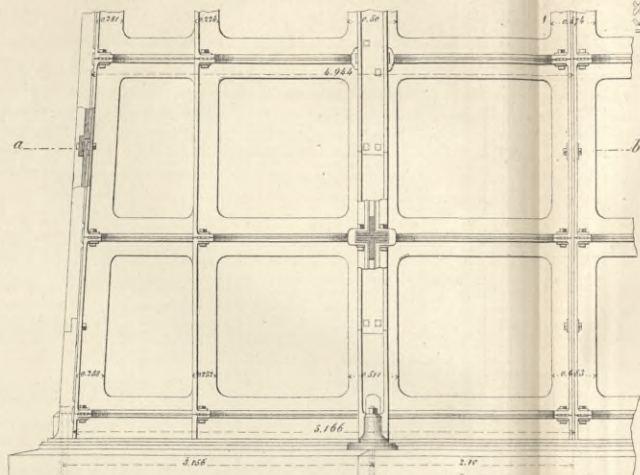
Decimeter 0 1 2 3 4 5 6 7 8 9 10 11 12 Meter



Pijler van den viaduct over het dal van Thouiël, nabij Thours in den spoorweg van Brussieu naar Thours. Fig. 1-6.



Pijler der Dordogne-brug bij Cubzack Opstand van het steenen onderdeel en doorsnede van het ijzeren bovendeel. Fig. 9.



Platte grond van het steenen onderdeel en doorsnede volgens a b. van Fig. 9 en 11 van het ijzeren bovendeel. Fig. 10.

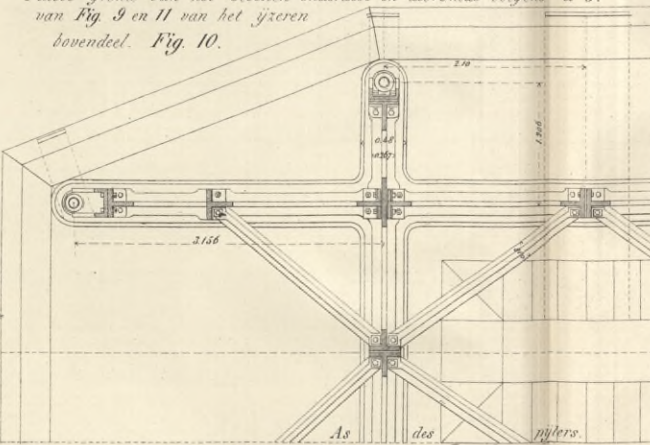


Fig. 5. Doorsnede over a b.

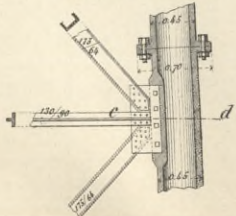
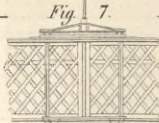
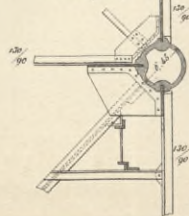
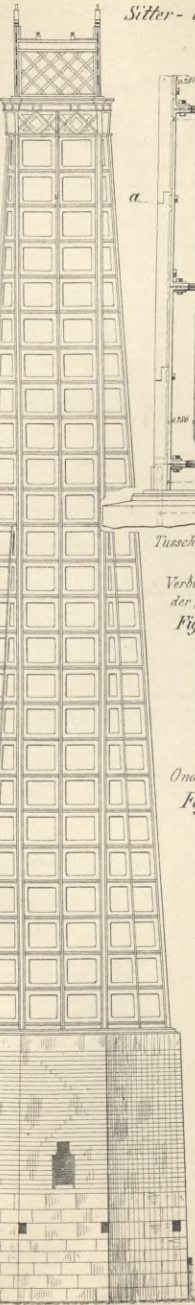


Fig. 6. Bevestiging der ladder.

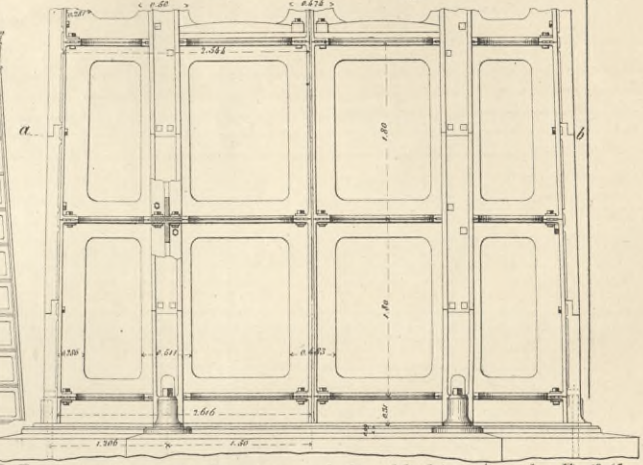


Hoogte van den Middellibaren Waterstaand tot de mts 62.45 Meter. 67.10

en der Fig. 8.



Sitter- brug bij St. Gallen. Fig. 7-11. Zij opstand van het steenen onderdeel en doorsnede van het ijzeren bovendeel. Fig. 11.

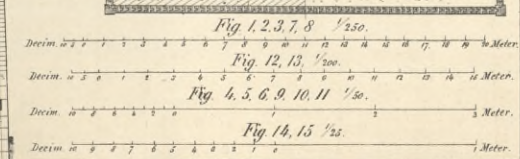
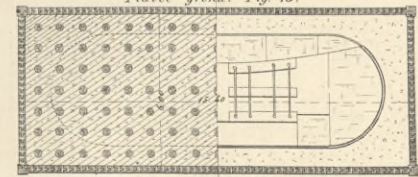
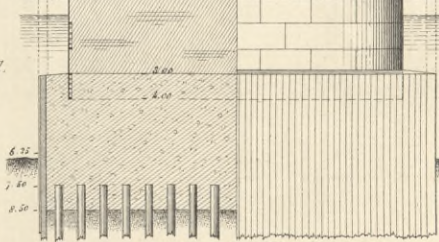


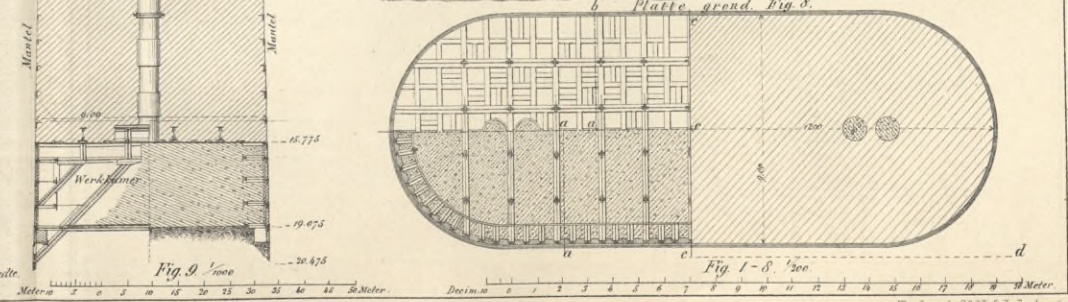
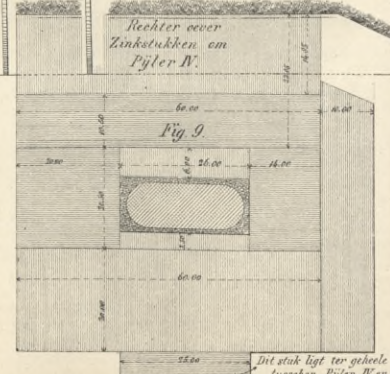
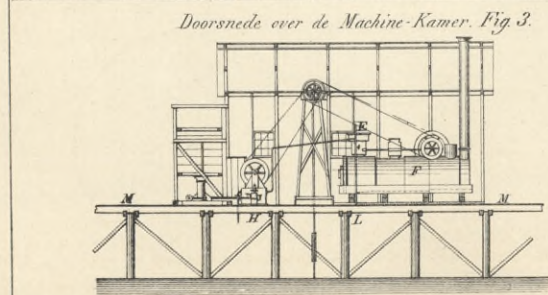
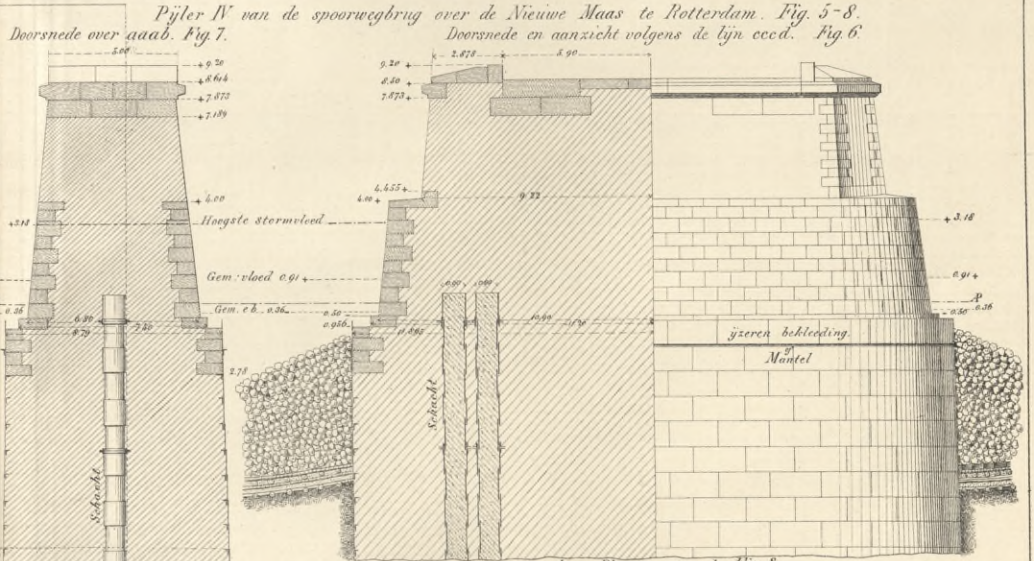
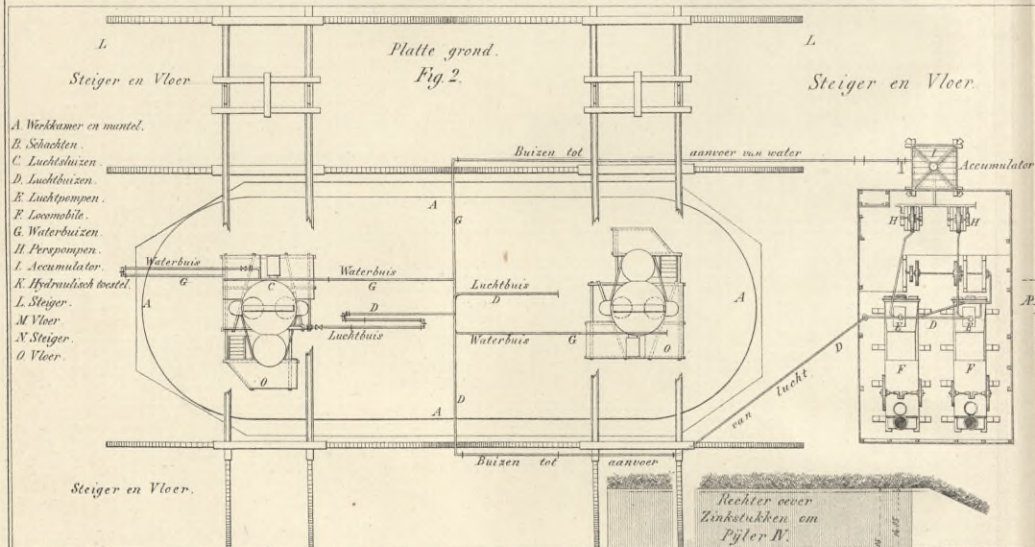
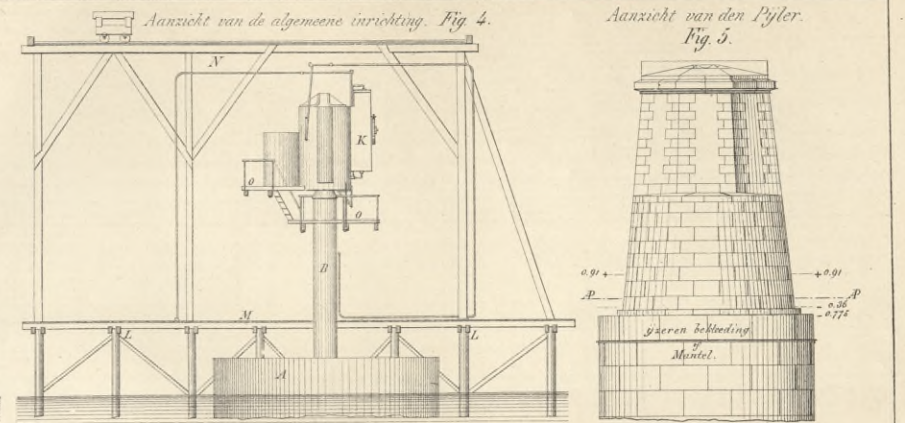
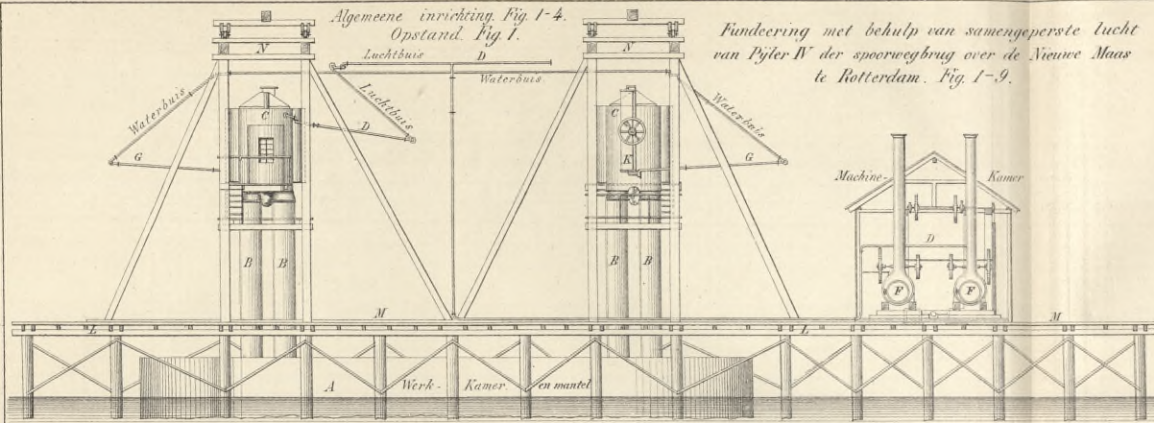
Tuschenpijler der draaibrug tegenover de Oosterdok-sluis te Amsterdam. Fig. 12-15. Doorsnede Fig. 12. Opstand Fig. 13.

Verbinding der platen Fig. 14.

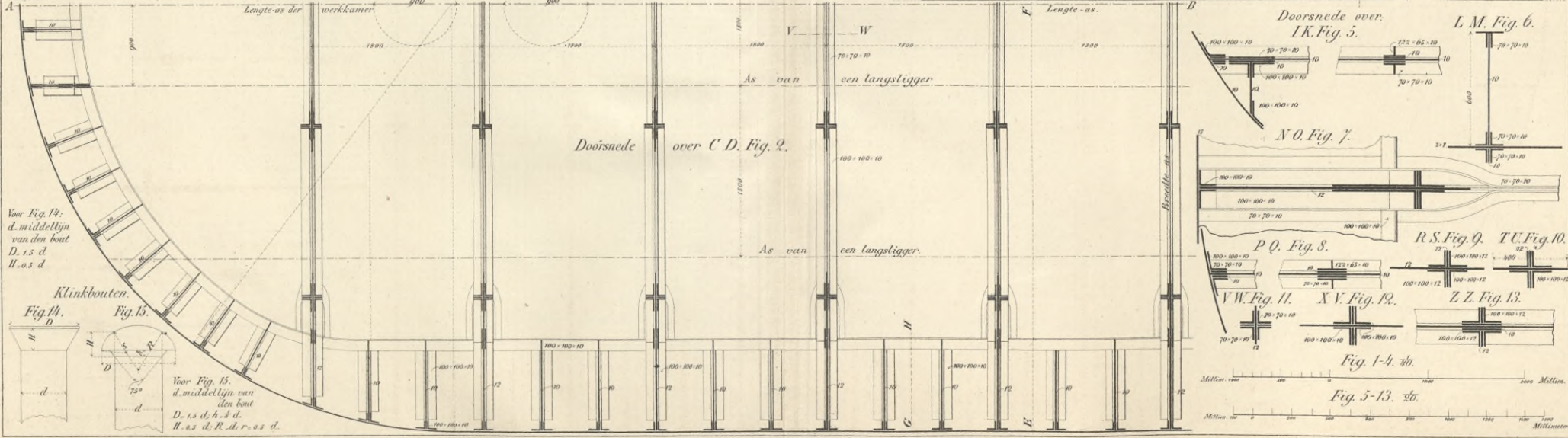
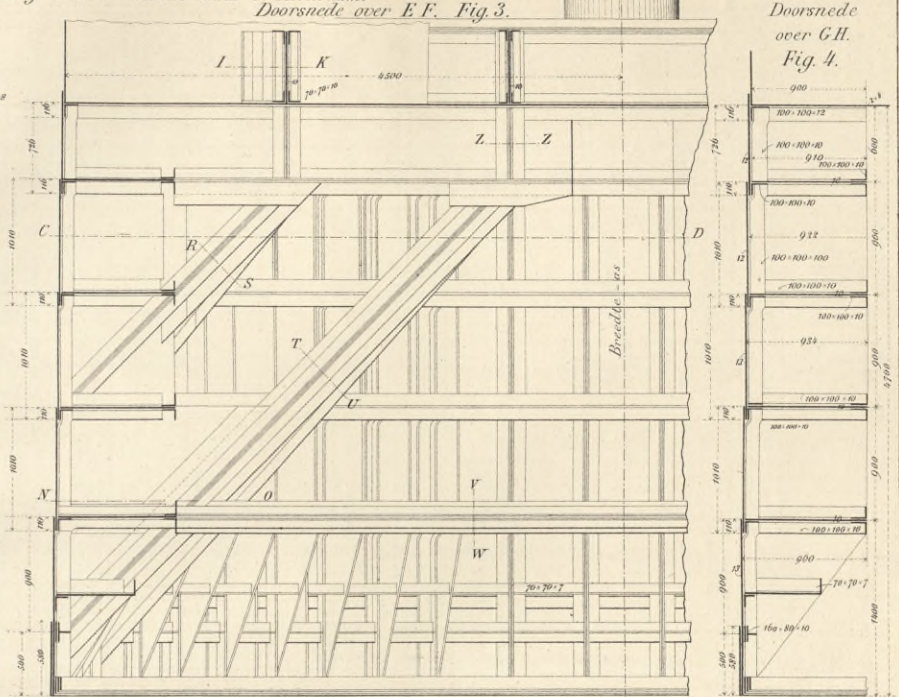
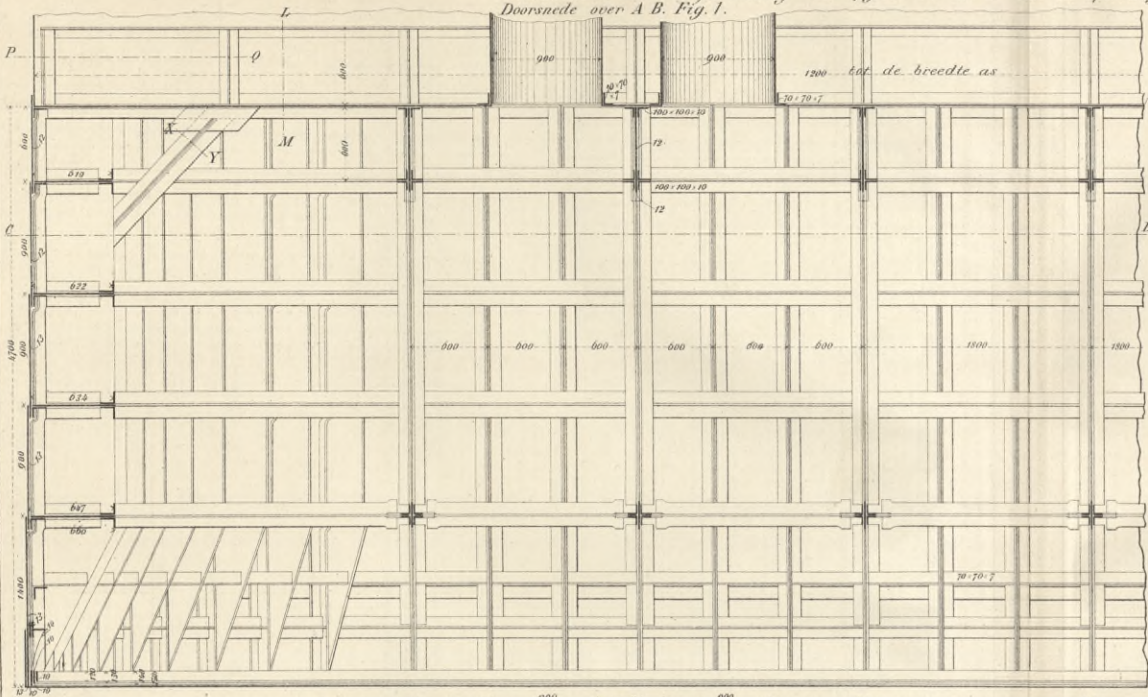


Ondervrand Fig. 15.





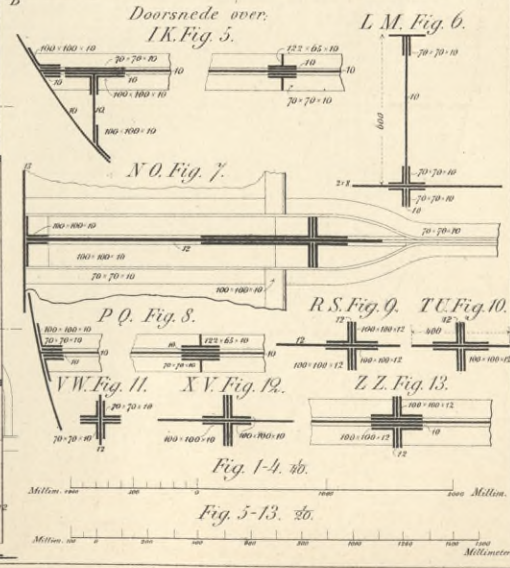
Werkkamer van de fundeering der pijlers III en IV van de spoorwegbrug over de Nieuwe Maas te Rotterdam.
Doorsnede over A B. Fig. 1.



Voor Fig. 14:
d. middeltyl van den boot
D. i.s. d.
H. o.s. d.

Klinkbouten.
Fig. 14. Fig. 15.

Voor Fig. 15:
d. middeltyl van
den boot
D. i.s. d. h. s. d.
H. o.s. d. R. d. r. o.s. d.



Luchtsluis, gebruikt bij den bouw van Pijler III en IV der spoorwegbrug over de Nieuwe Maas te Rotterdam.

Doorsnede over AB van Fig. 1 op Plaat 39.

Doorsnede over CD van Fig. 1 op Plaat 39.

Fig. 1.

Fig. 2.

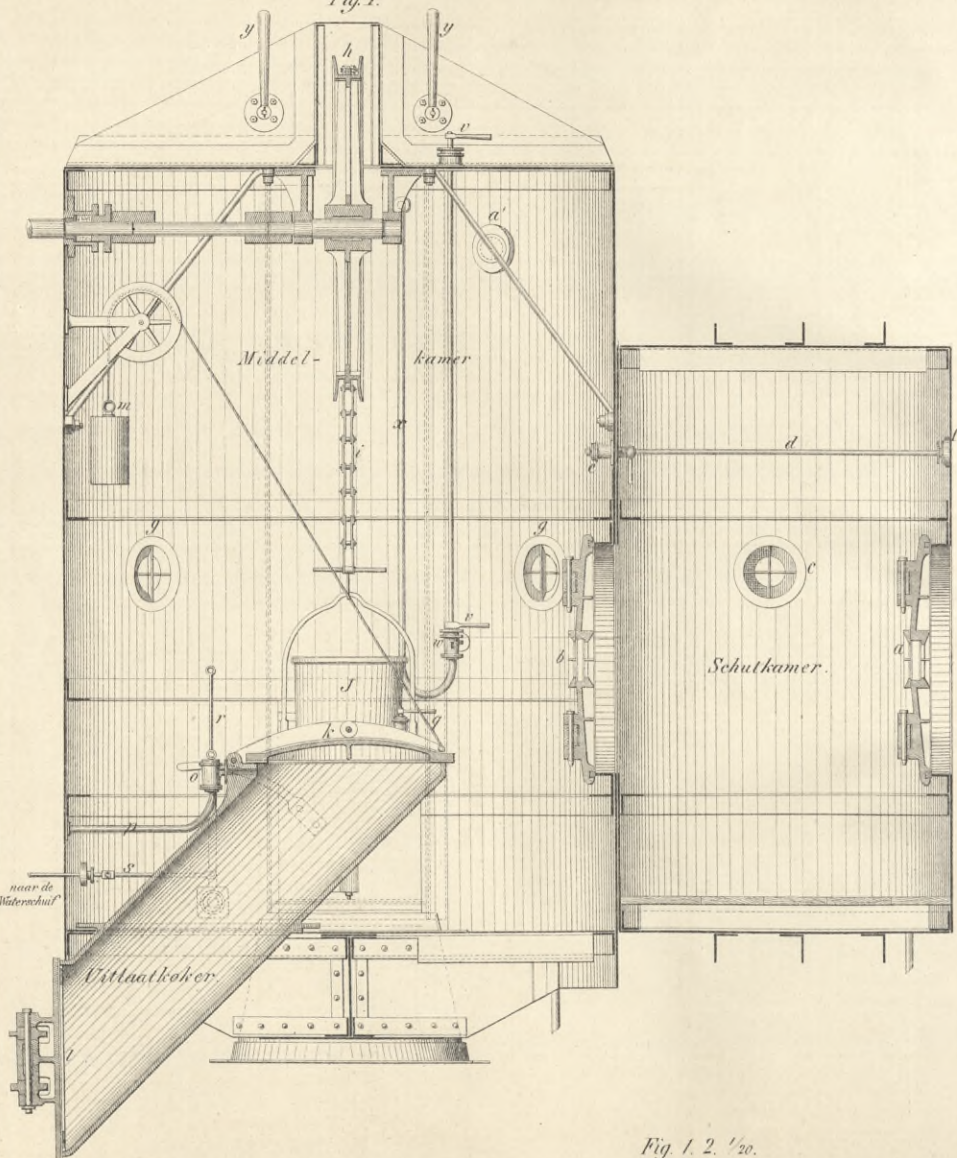
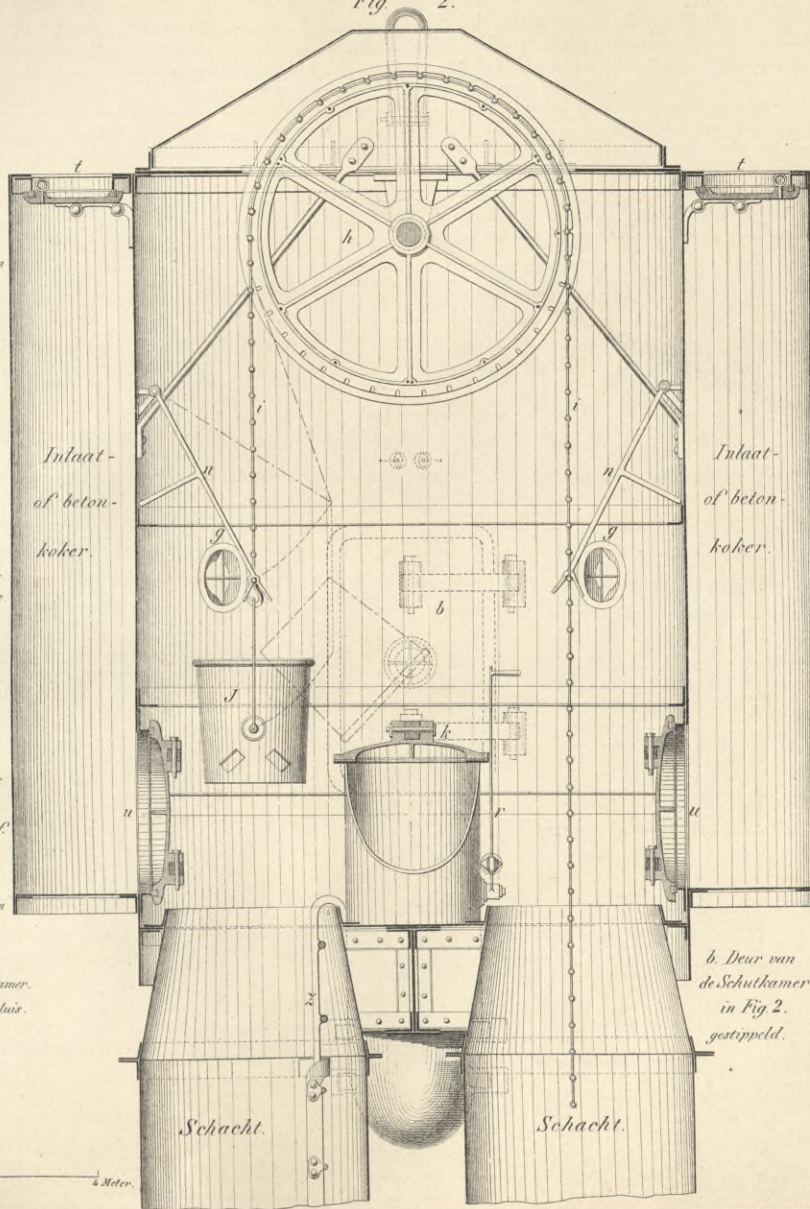


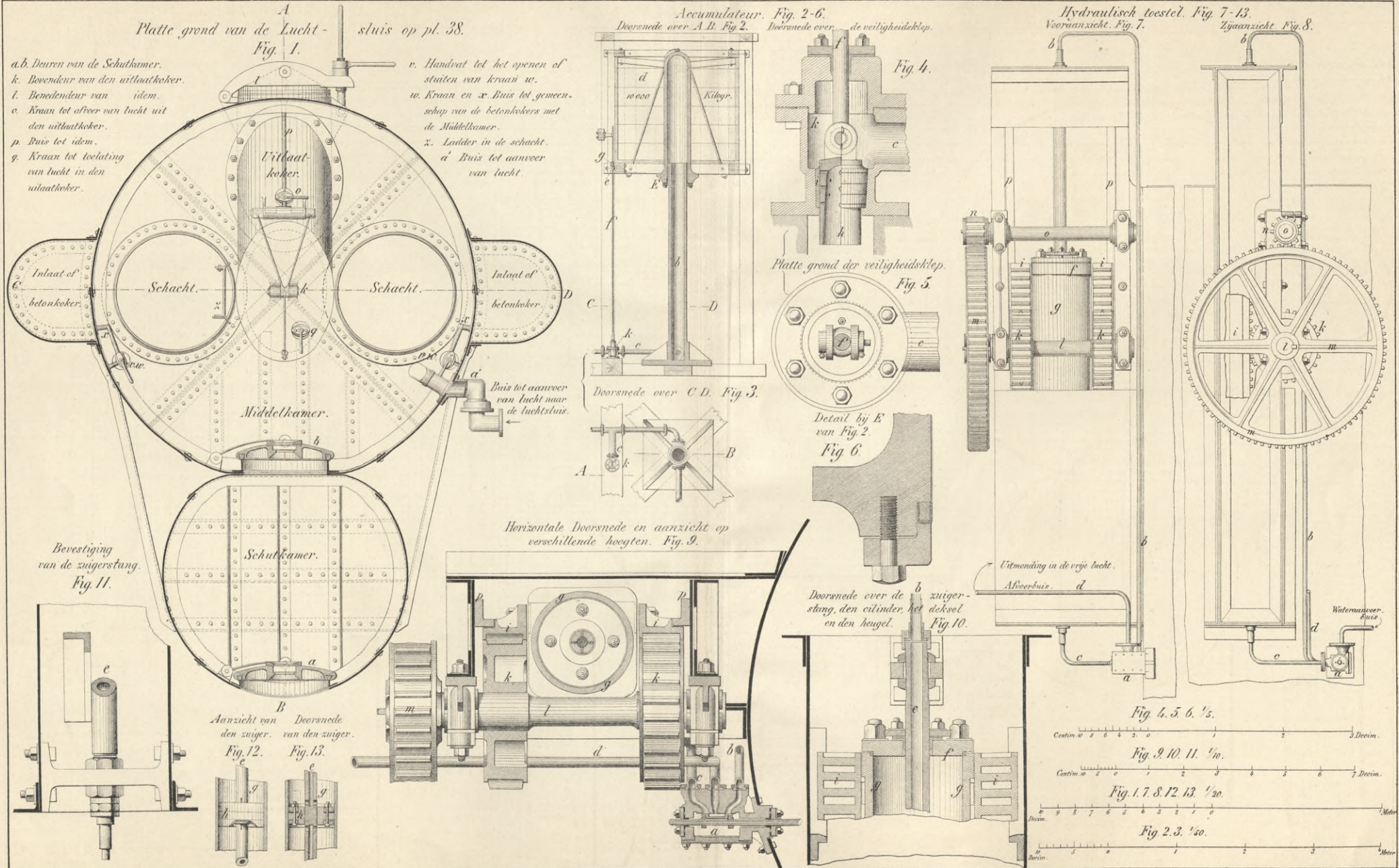
Fig. 1. 2. /20.



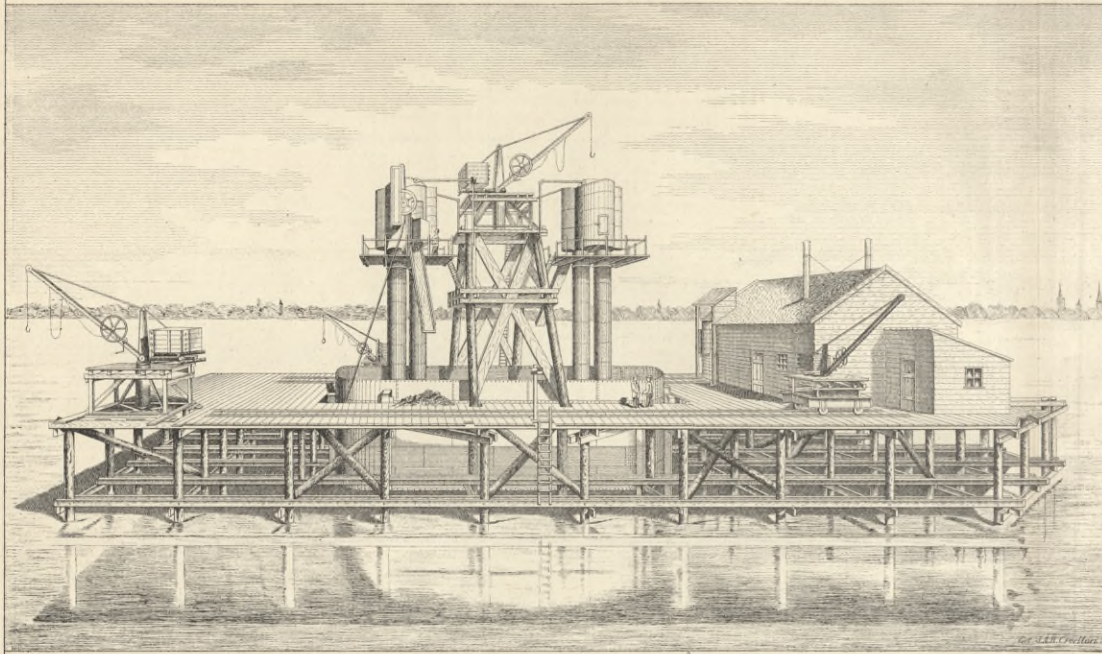
- a. b. Deuren van de Schutkamer.
- c. Lichtraam van de Schutkamer.
- d. Stang tot het openen van Kraan e.
- e. Kraan tot toelating van Lucht van de Middelkamer naar de Schutkamer en wijzer, die den stand van de kraan aangeeft.
- f. Wijzer, aangevende den stand van kraan e en van de deur b.
- g. Lichtramen der Middelkamer.
- h. Schijf.
- i. Kotting. J. Emmer. h. i. J. zijn deelen tot het ophalen der stoffen uit de werkkamer.
- k. Bovendeur van den Uitlaatkoker.
- l. Onderdeur van idem.
- m. Gewicht met touw om de Bovendeur k, zoo noodig, open te houden.
- n. Haak tot het brengen der emmers boven den uitlaatkoker.
- o. Kraan tot afvoer van lucht uit den uitlaatkoker.
- p. Buis tot idem.
- q. Kraan tot toelating van lucht in den uitlaatkoker.
- r. Kruik of helboom tot heen en weerbewegen der stang s.
- s. Stang, gaande naar de waterschuit.
- t. Bovendeur der betonkokers.
- u. Onderdeur der betonkokers.
- v. Handvat tot het openen of sluiten van kraan w.
- w. Kraan en s Buis tot gemeenschap van de betonkokers met de Middelkamer.
- y. Beugels tot het ophangen der luchtsluis.
- z. Ladder in de Schacht.
- a'. Buis tot aanvoer van lucht.

Deeln. 10 9 8 7 6 5 4 3 2 1 0

1/2 Meter.



Overzicht, Fig. 1.



Algemeene inrichting tot het maken der fundeering met behulp van samengeperste lucht der pijlers I en II van de Spoorwegbrug over het Hollandsch Diep te Moerdijk Fig. 1-4.

Opstand, Fig. 2.

----- binnen voor de waterlading
 ————— uit id samengeperste lucht.

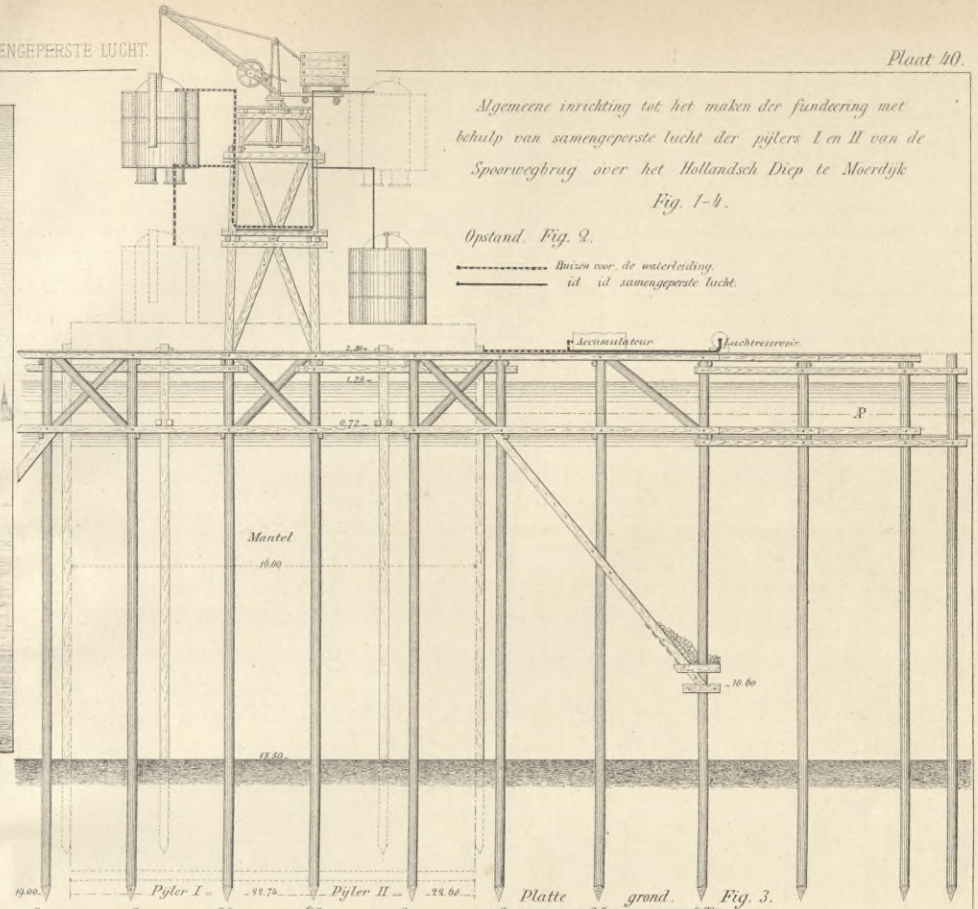
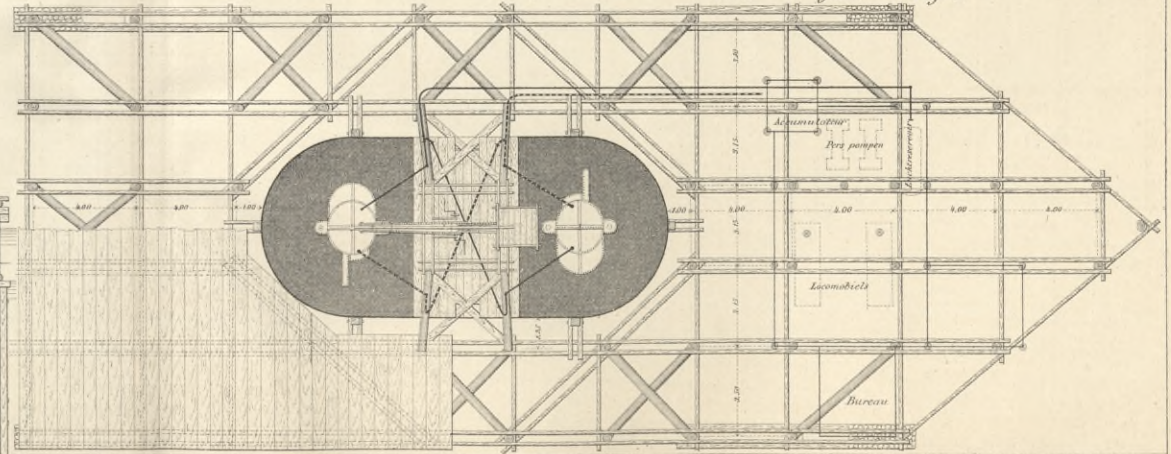
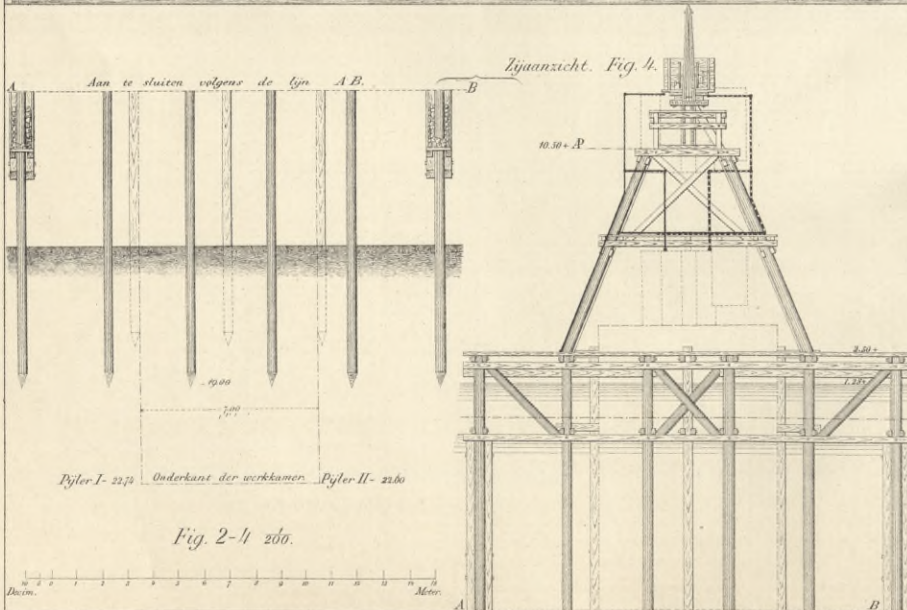
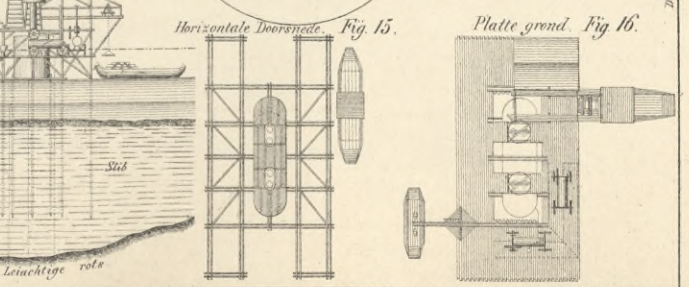
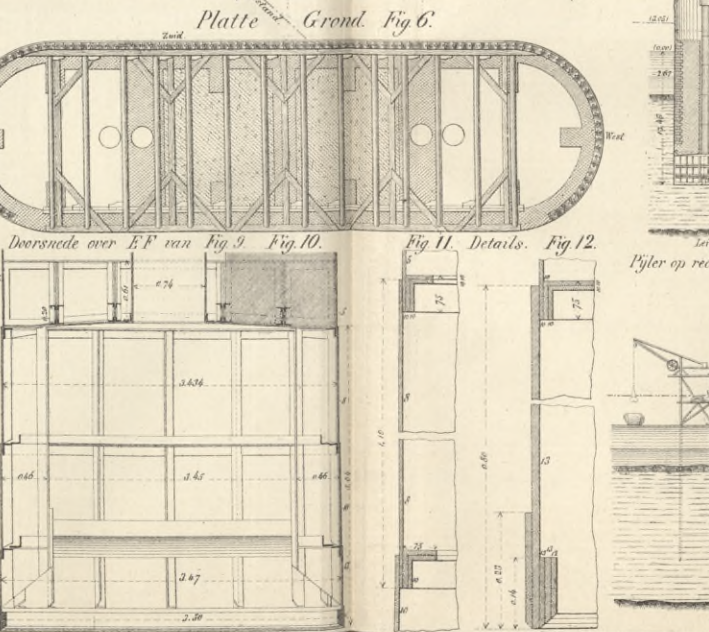
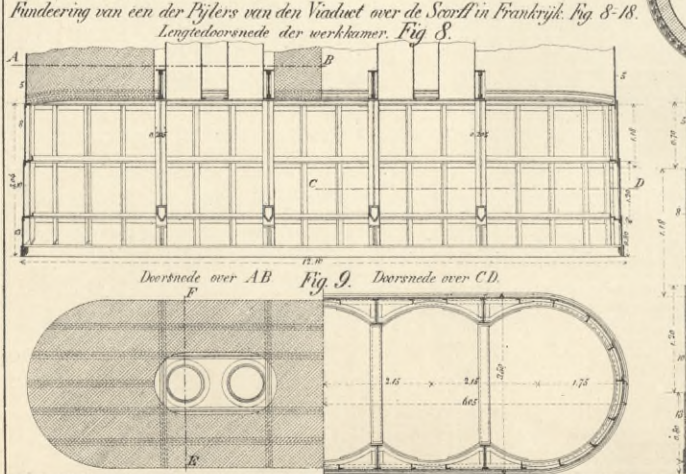
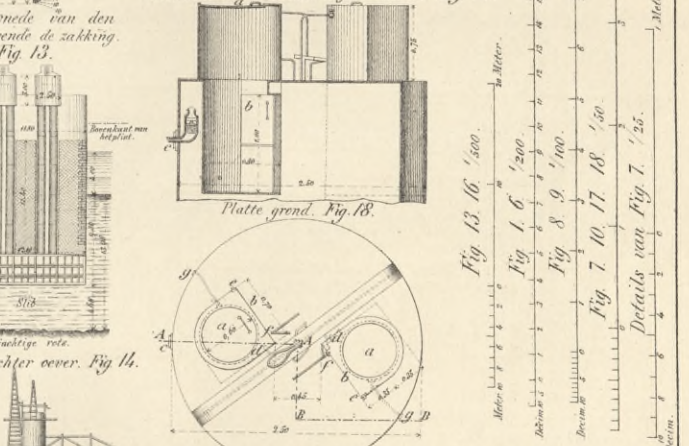
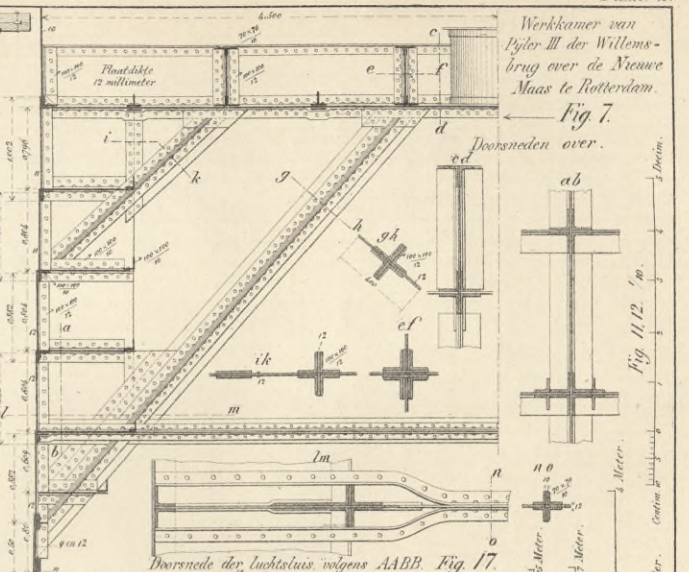
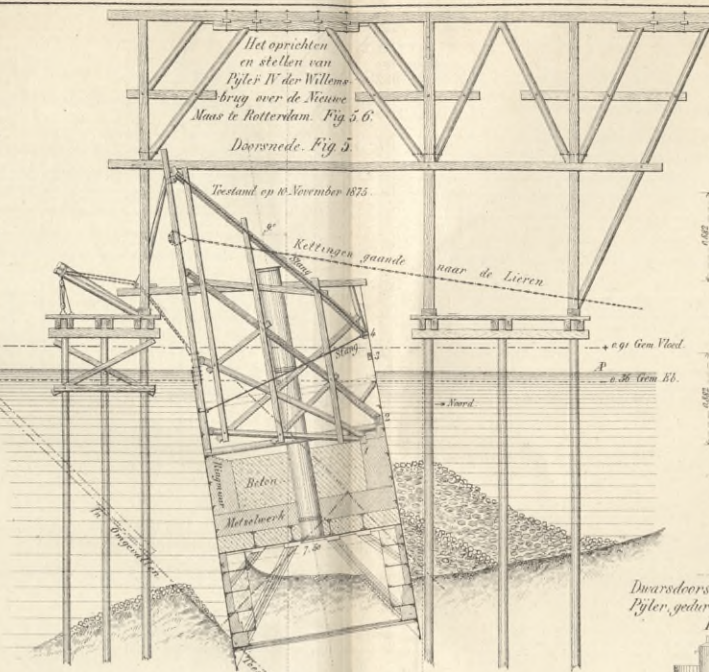
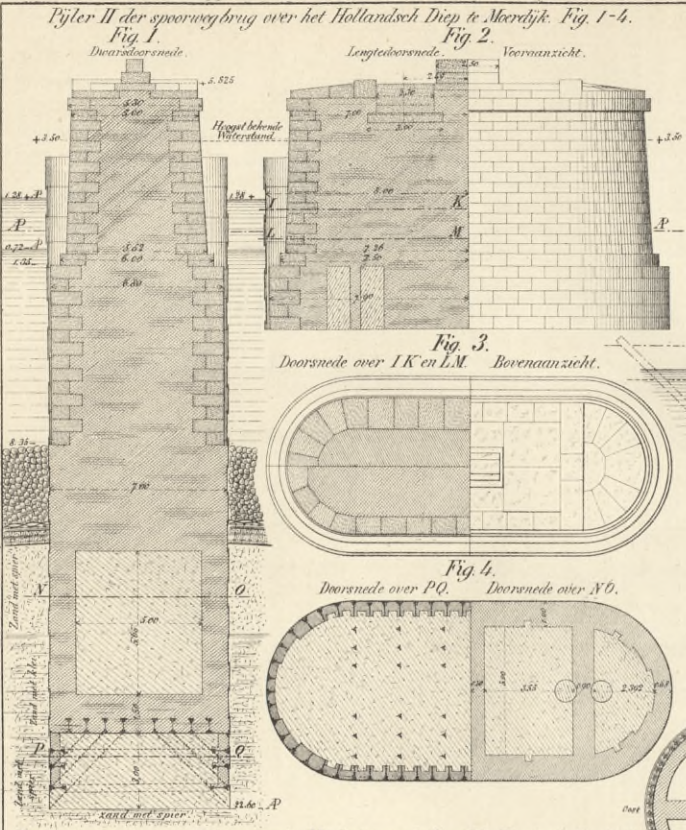
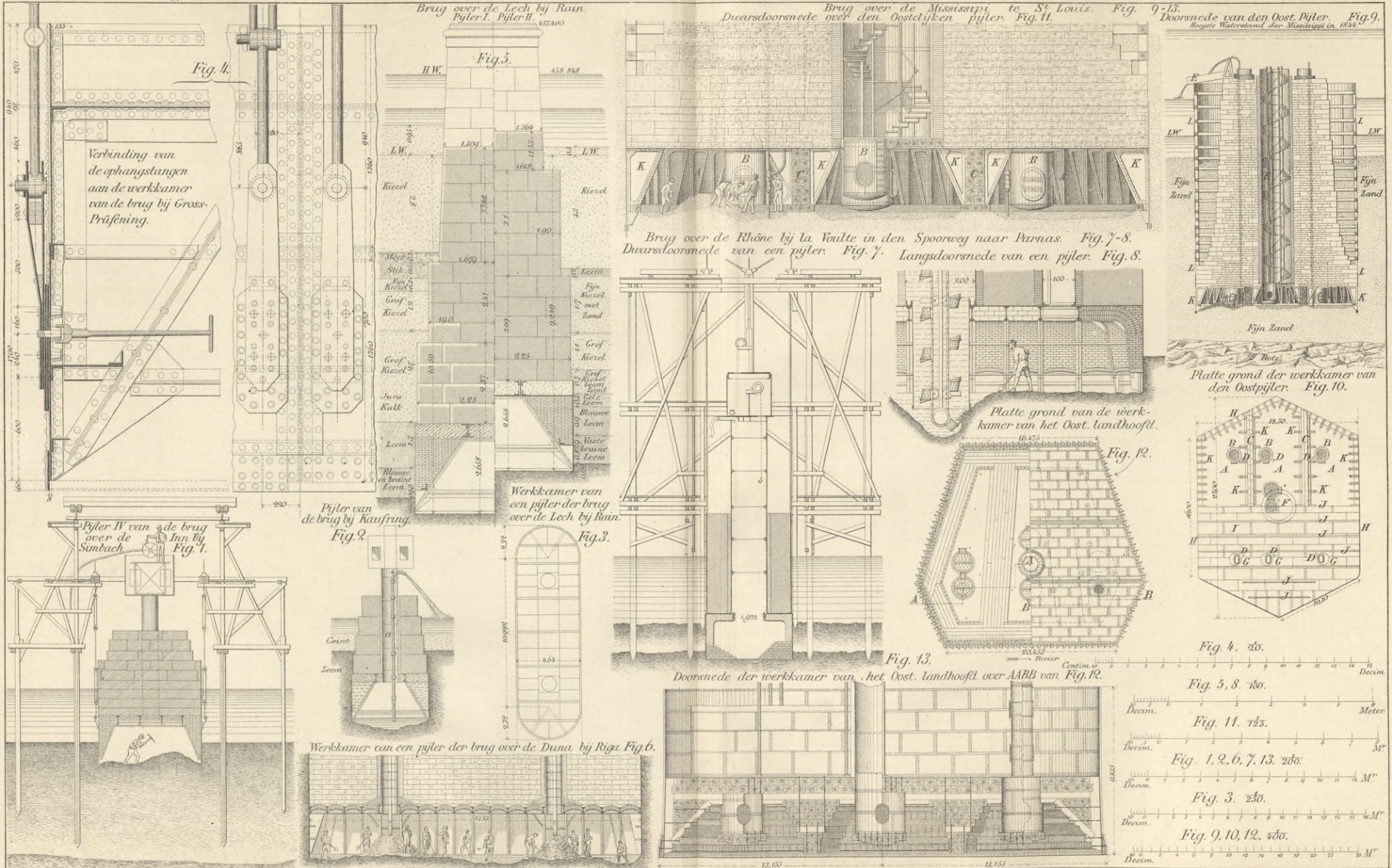


Fig. 3.

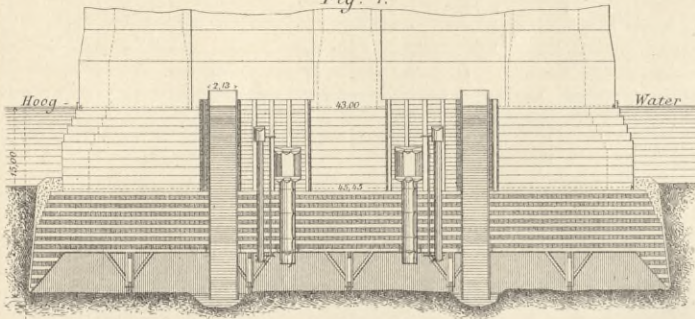




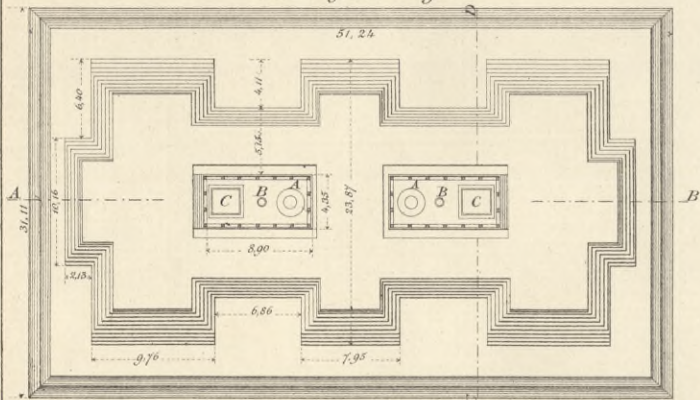


Fundeering van den pijler aan de zyde van Brooklyn der brug over de East-River te New-York. Fig. 1-3.

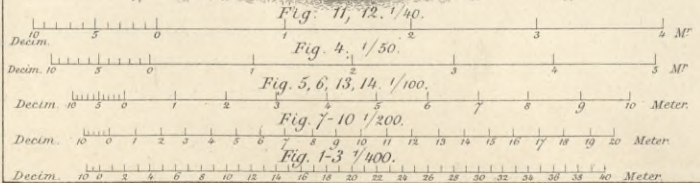
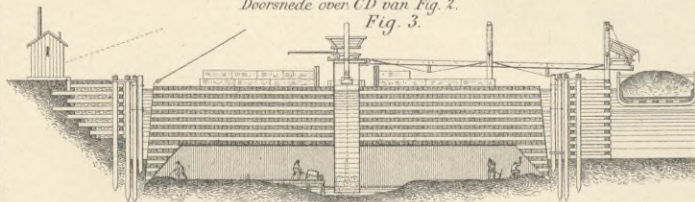
Doorsnede over AB van Fig. 2.
Fig. 1.



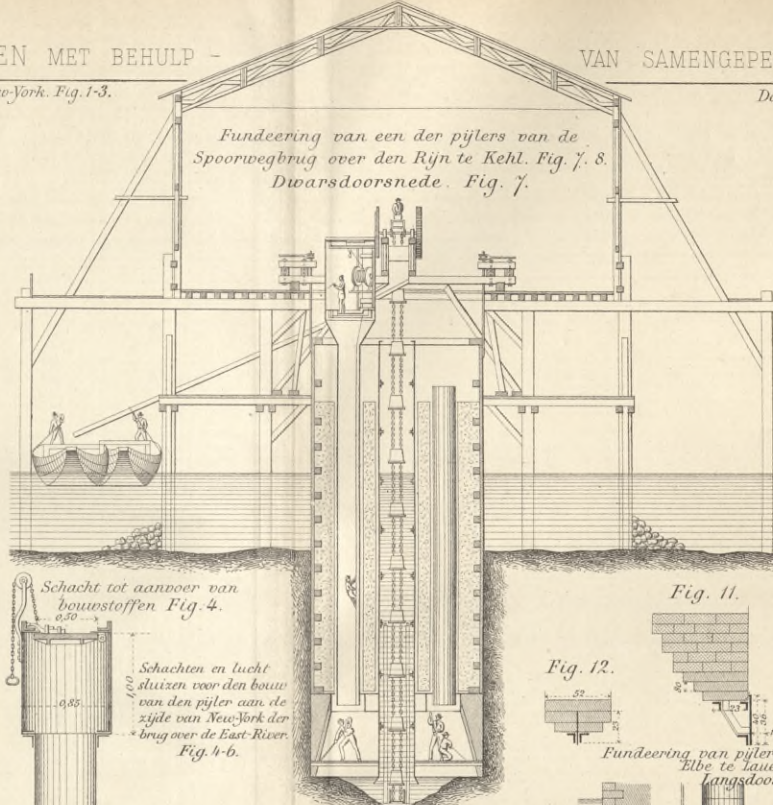
Diepte der fundeering van den pijler aan de zyde van New-York.
Platte grond Fig. 2.



Doorsnede over CD van Fig. 2.
Fig. 3.

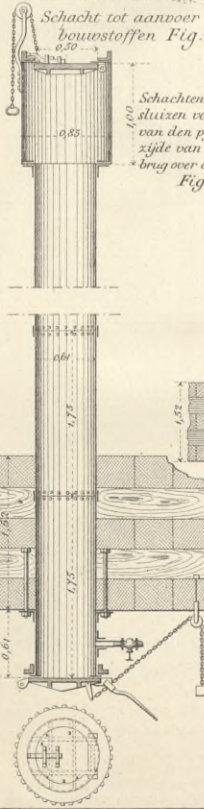


Fundeering van een der pijlers van de
Spoorwegbrug over den Rijn te Kehl. Fig. 7. 8.
Dwarsdoorsnede. Fig. 7.



Schacht tot aanvoer van
bouwstoffen Fig. 4.

Schachten en lucht
sluizen voor den bouw
van den pijler aan de
zyde van New-York der
brug over de East-River.
Fig. 4-b.



Doorsnede over AB van Fig. 7.
Fig. 8.

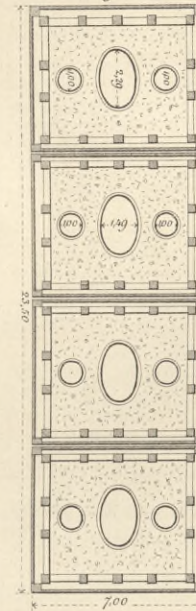
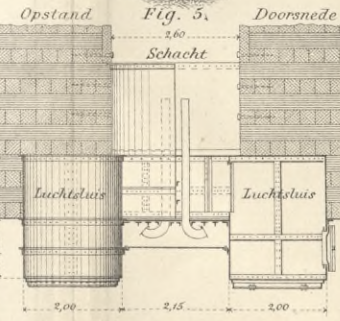
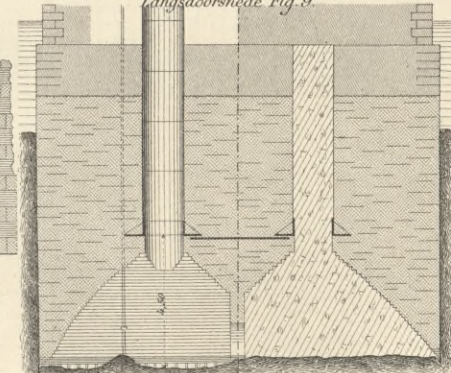


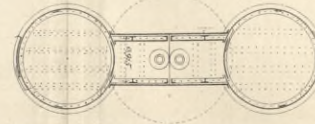
Fig. 11.

Fig. 12.

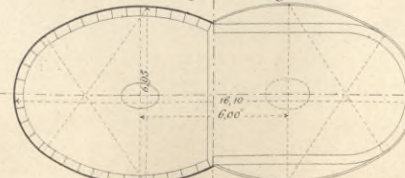
Fundeering van pijlers der Spoorwegbrug over de
Elbe te Lauenburg Fig. 9-12.
Langsdoorsnede Fig. 9.



Luchtsluizen Fig. 5. 6.
Platte grond.
Fig. 6.



Platte grond Fig. 10.



Fundeering der brug over de Seine
te Argenteuil. Fig. 13, 14 en op Plaat 44 Fig. 1, 2.

Doorsnede. Fig. 13.

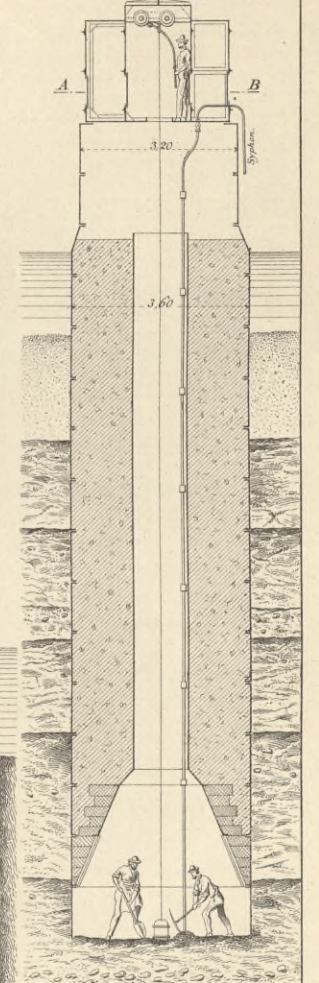
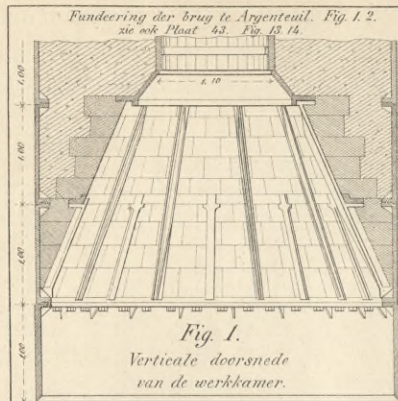
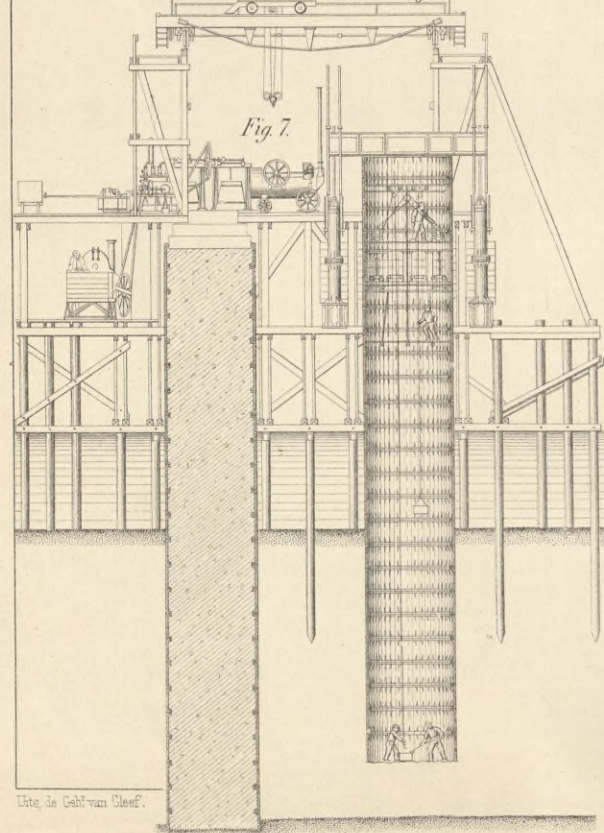


Fig. 14.
Doorsnede over AB van Fig. 13.





Fundering der Spoorwegbrug over de Garonne Bordeaux. Verticale doorsnede van een pijler.



Lijste de Galt van Cleef.

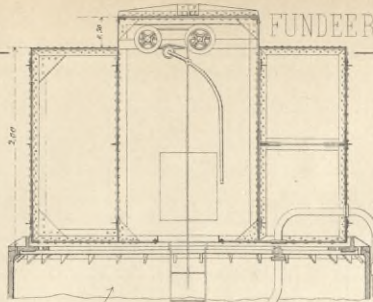


Fig. 2. Verticale doorsnede van de luchteluis.

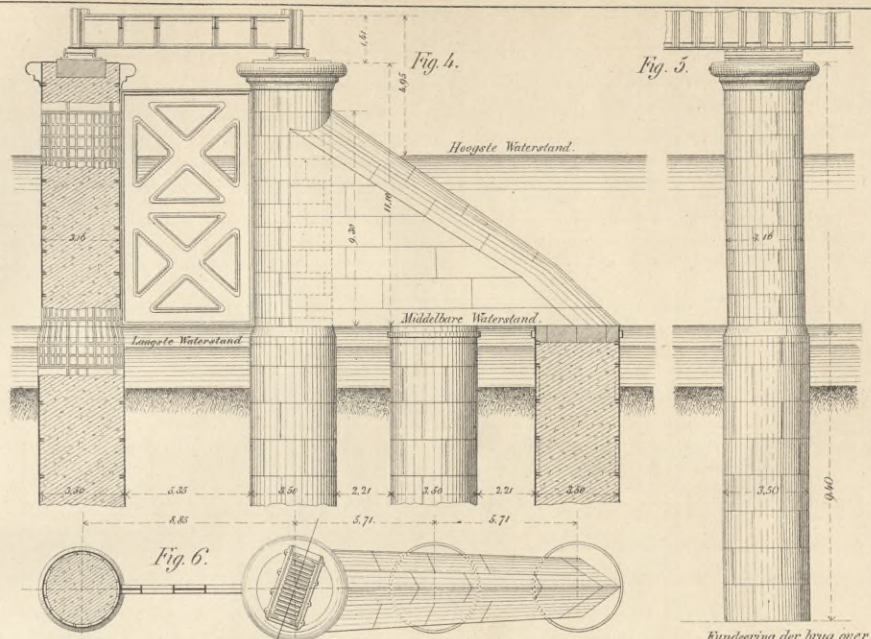
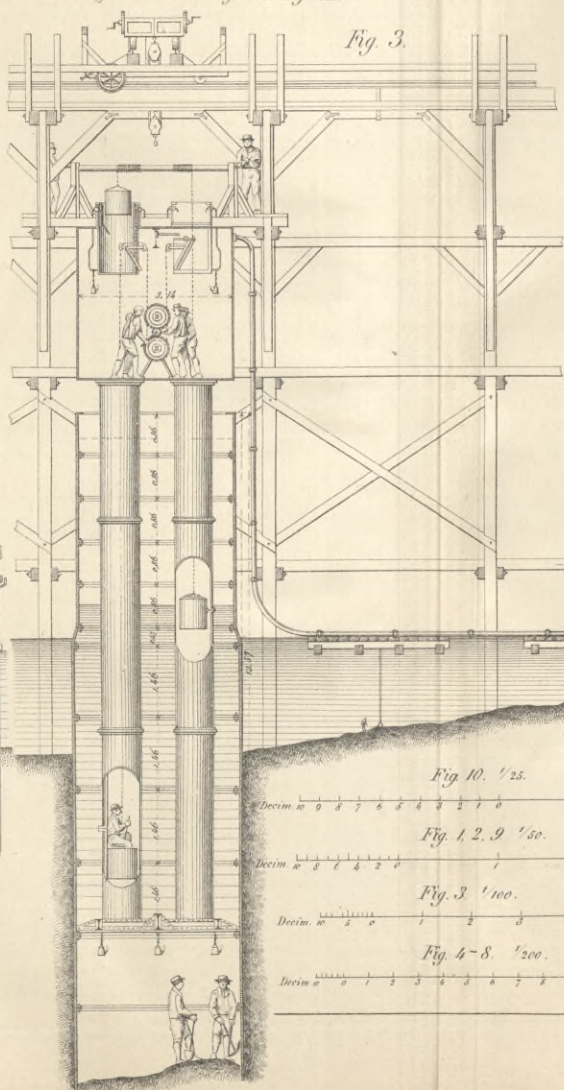
Pijler der spoorwegbrug over de Niemen bij Kowno. Fig. 3-6.

Fig. 3. Verticale doorsnede van de algemeene inrichting van de fundering en den opbouw van een cilindrisch pijler.

Fig. 4. Doorsnede en aanzicht.

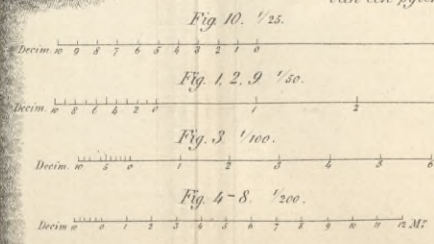
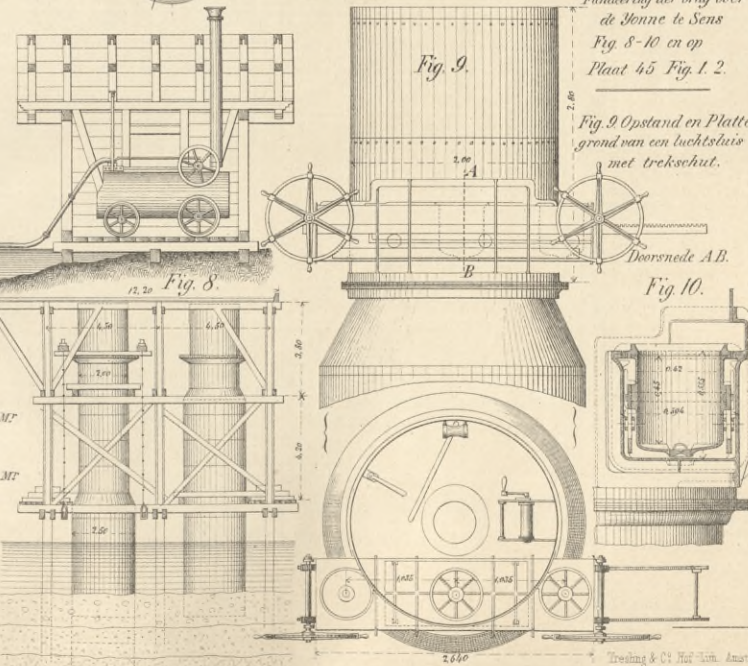
Fig. 5. Opstand.

Fig. 6. Platte grond.



Fundering der brug over de Jenne te Sens Fig. 8-10 en op Plaat 45 Fig. 1. 2.

Fig. 9. Opstand en Platte grond van een luchteluis met trekschut.



Fundeering der brug over de en op Plaat 44 Fig. 8-10. Verticale doorsnede der Luchtstuis.

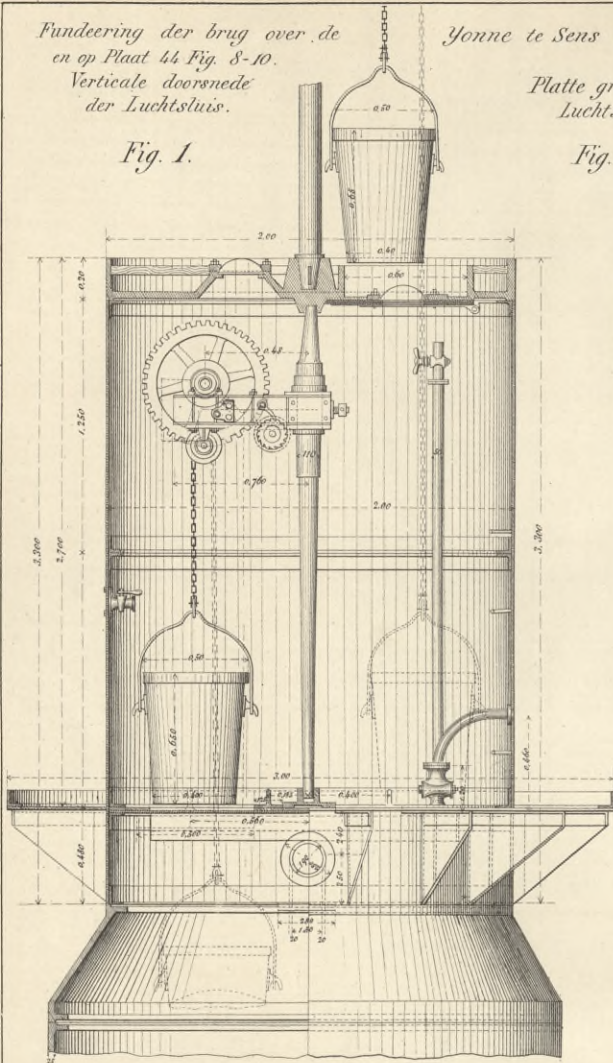


Fig. 1.

Yonne te Sens Fig. 1. 2.

Platte grond der Luchtstuis.

Fig. 2.

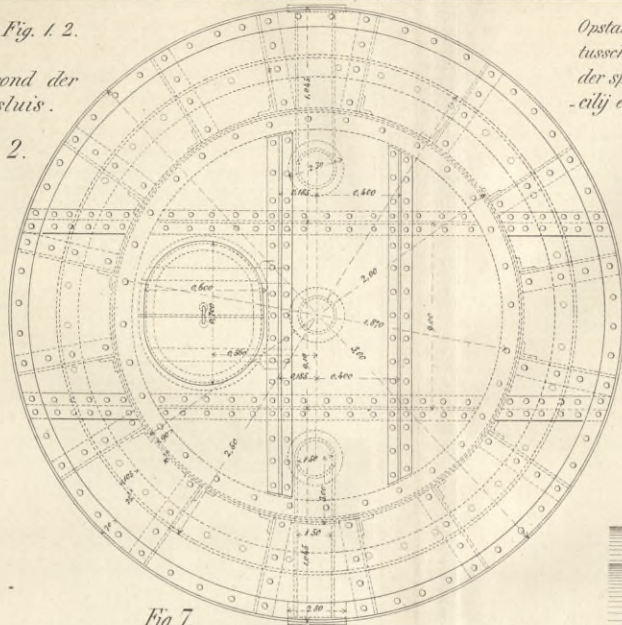
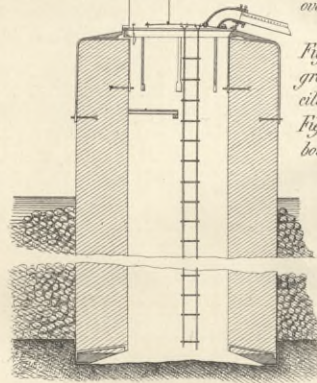


Fig. 7.

Fundeering der spoorwegbrug over de Tet te Perpignan Fig. 7. 8.

Fig. 7. Verticale doorsnede en platte grond van een in aanbouw zijnden cilinder voor een pijler.



Opstand van een pijler der tusschen Council-Bluffs der spoorwegen, komende -cilij en St. Louis met de

Fig. 3.

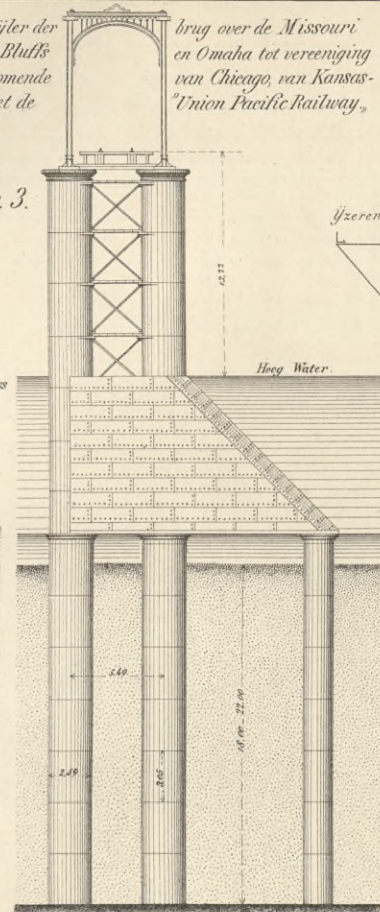
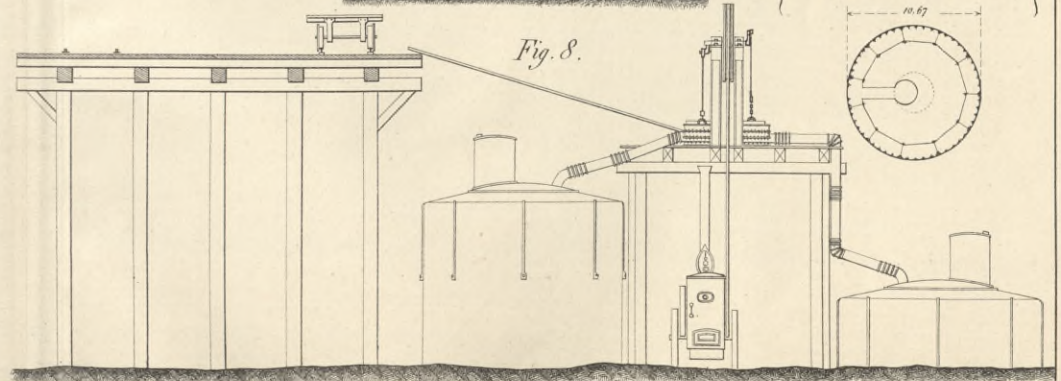
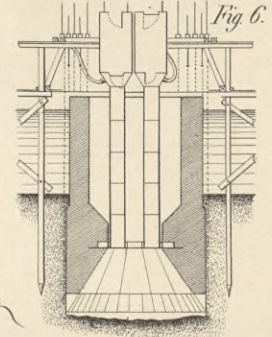


Fig. 8.

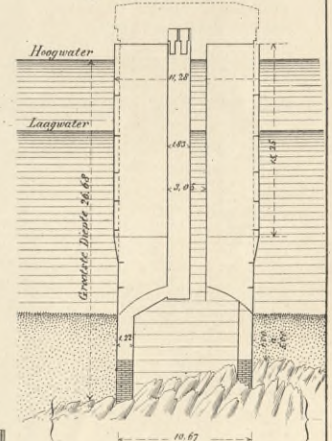


Verticale doorsnede van een in aanbouw zijnden cilinder voor een pijler der spoorweg-brug over de Parntz bij Stettin.

Fig. 6.



Fundeering der brug over de Tamar bij Saltash. Fig. 5.



Decim. 10 9 8 7 6 5 4 3 2 1 0 2 Meter.

Fig. 1. 2. 1/25.

Decim. 10 5 0 2 1 0 2 3 4 5 6 7 8 9 10 Meter.

Fig. 7. 8. 1/100.

Decim. 10 0 2 4 6 8 10 12 14 16 18 20 22 24 26 28 30 32 34 36 38 40 Meter.

Fig. 3. 6. 1/500.

Decim. 10 0 2 4 6 8 10 12 14 16 18 20 22 24 26 28 30 32 34 36 38 40 Meter.

Fig. 4. 5. 1/400.

Fundeering en opbouw der pijlers van de bascule brug genaamd „Nije Kuppelsbro“ te Kopenhagen Fig. 7.

Opstand van de duikerklok en van den steiger bij opbouw van een cilinder Fig. 2.

Elke pijler bestaat uit twee steenen cilinders.

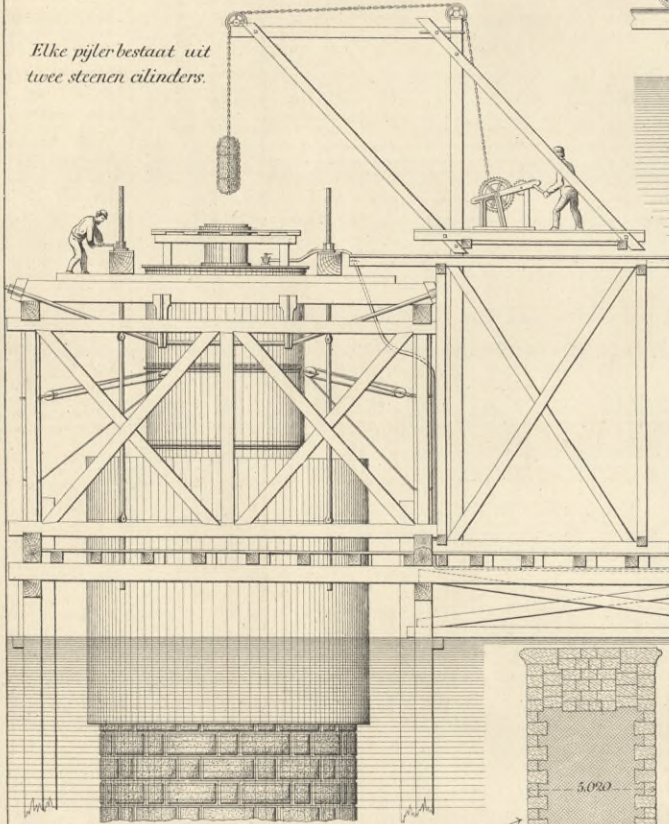


Fig. 7. Verticale en horizontale doorsnede van een cilinder

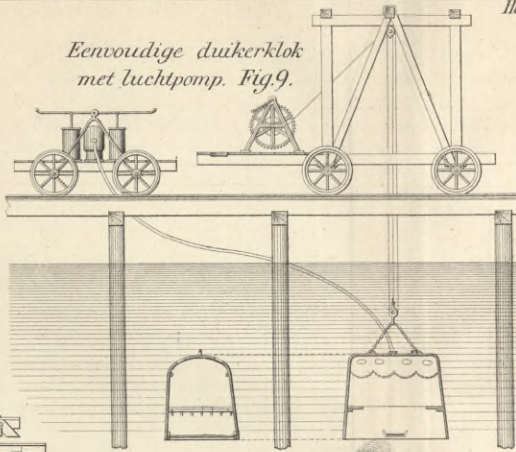
Fig. 7. 200.

Decimeter 10 0 1 2 3 4 5 6 7 8 9 10 Meter.

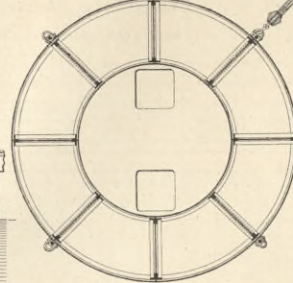
Fig. 1-6, 8, 9 100.

Decim. 10 0 1 2 3 4 5 6 7 8 9 10 Meter.

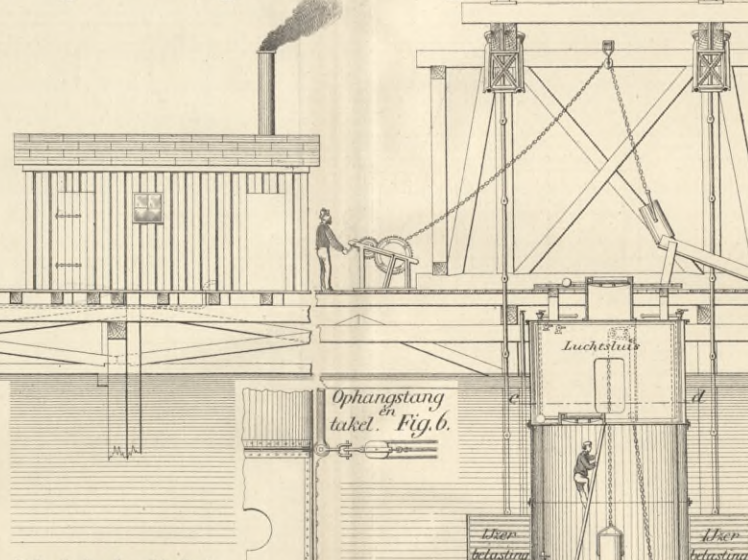
Eenvoudige duikerklok met luchtpomp Fig. 9.



Horizontale doorsnede over a b van Fig. 1. Fig. 3.

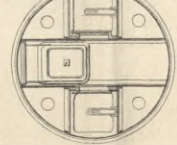


Verticale doorsnede van de duikerklok en den steiger tot verdieping van den bodem der bouwplaats Fig. 1.

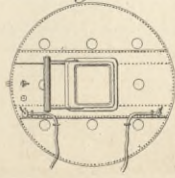


Ophangstang en takel Fig. 6.

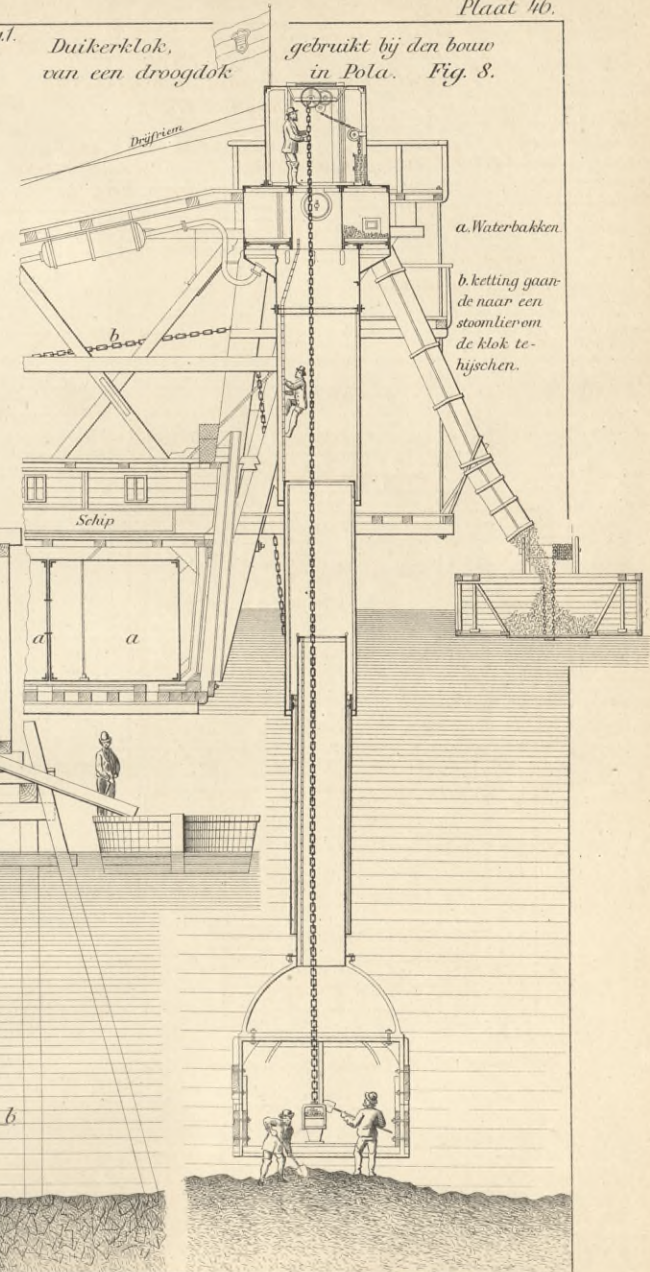
Fig. 4. Doorsnede over c d. van Fig. 1.



Deksel der Luchtsluis. Fig. 5.

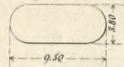


Duikerklok, van een droogdok gebruikt bij den bouw in Pola. Fig. 8.



van de spoorwegbrug over den Rijn bij St. Margarethen in Zwitserland.

Fig. 1.



Platte grond der werkkamers: van de Kroonprins Rudolph-brug te Weenen. Pijler IX. Fig. 2.

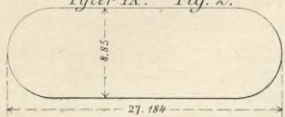


Fig. 6.

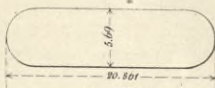


Fig. 7.

van de stedelijke (Polskal-Smichover) Moldau brug in Praag. Fig. 4.

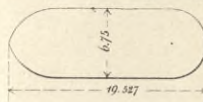
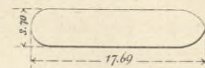


Fig. 6-9. Fig. 8.

van de brug over de Salzach in den Rijkstraatweg in de stad Salsburg. Fig. 5.



Doorsnede over a b. van Fig. 7. naar boven gezien.

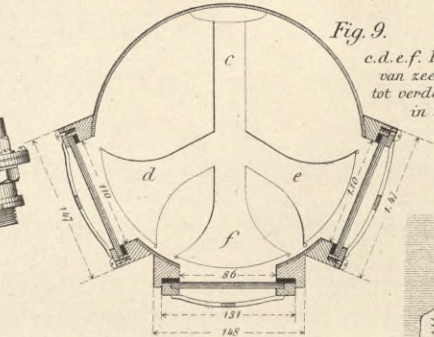
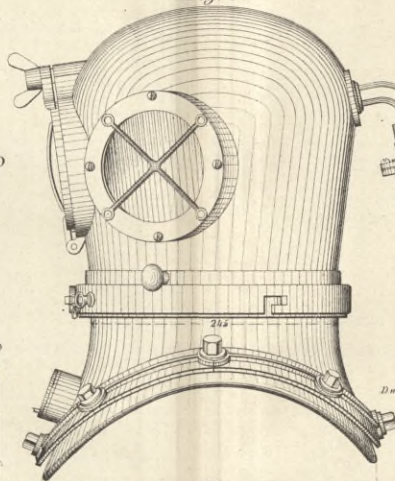
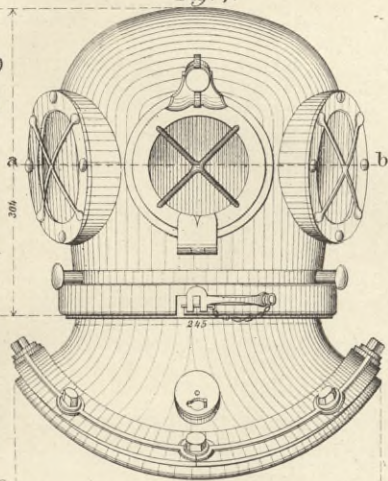
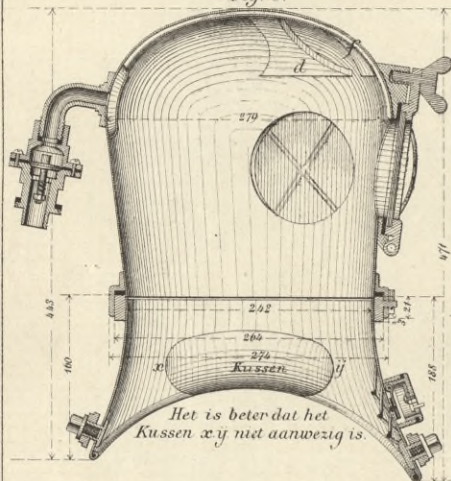
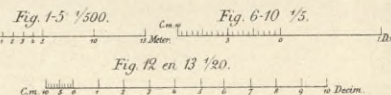


Fig. 9.

c.d.e.f. Fig 9 zijn kanalen van zeer geringe hoogte tot verdeling der lucht in den helm.



Duikerpak. Fig. 12.



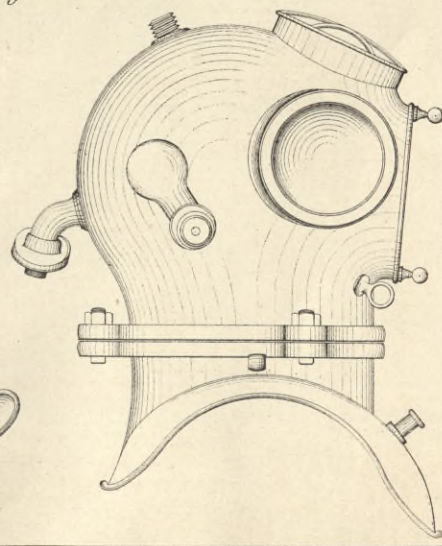
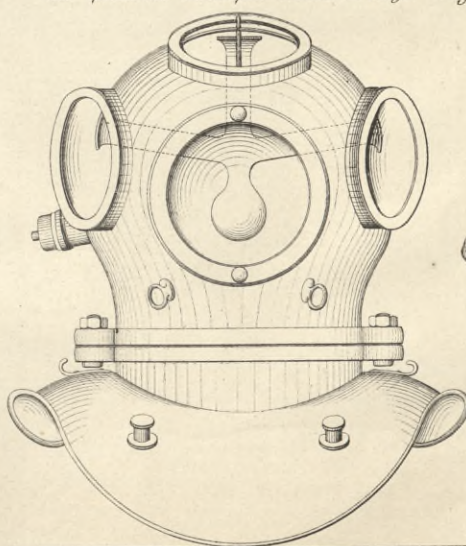
Duikerpak. Fig. 13.



Fig. 11.

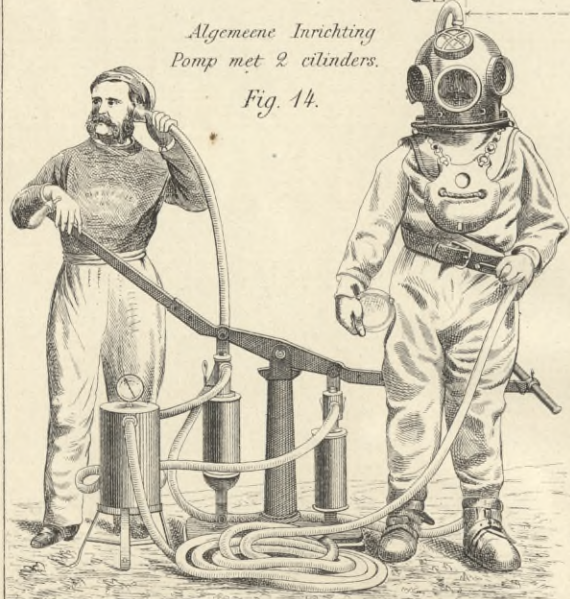


Helm, systeem Denayrouze, van de Sociéte anonyme des spécialités mécaniques réunies te Parijs. Fig. 10.



Algemeene Inrichting Pomp met 2 cilinders.

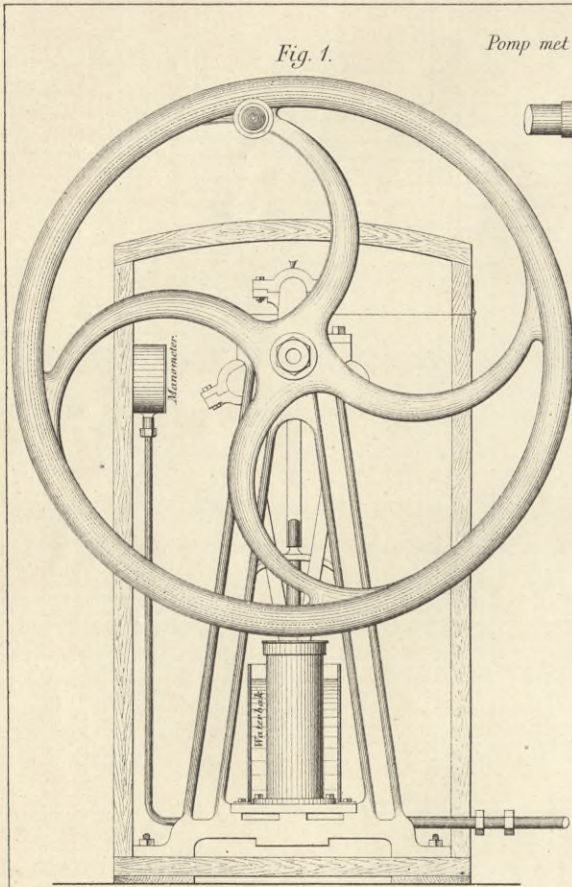
Fig. 14.



Algemeene Inrichting Pomp met 3 cilinders

Fig. 15.





Pomp met 3 cilinders.

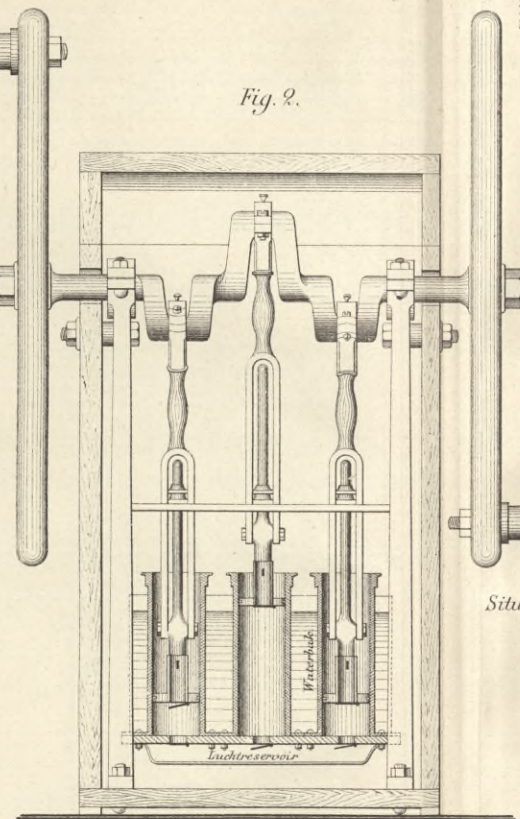
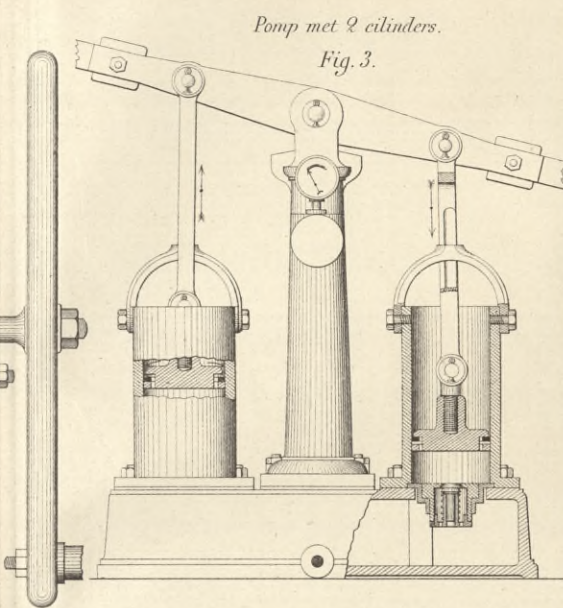


Fig. 2.



Pomp met 2 cilinders.

Fig. 3.

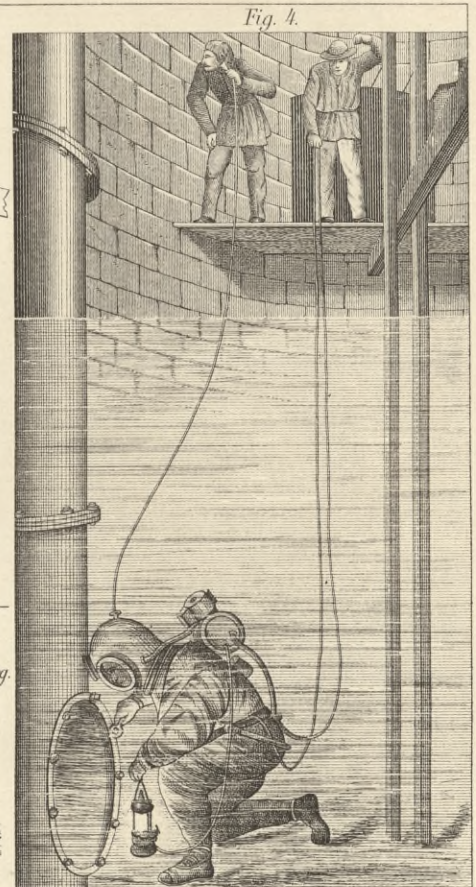


Fig. 4.

Situatie van de Spoorwegbrug over de Lek bij Kulenburg.

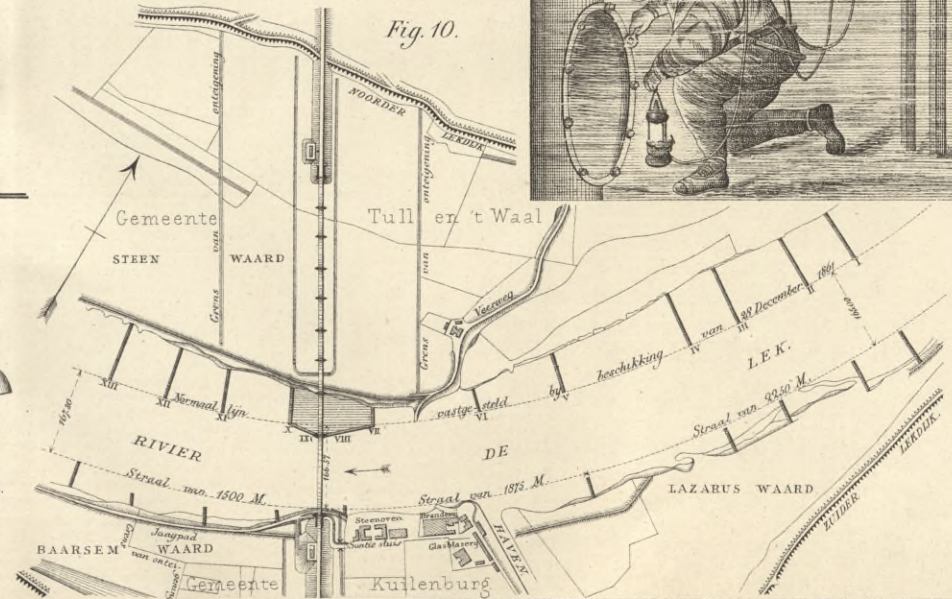


Fig. 10.



Fig. 5.

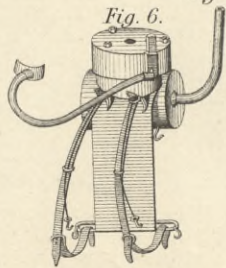


Fig. 6.

Regulateur.

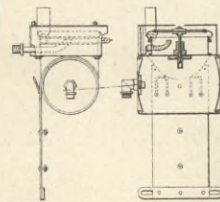


Fig. 7.

Fig. 7 1/20.

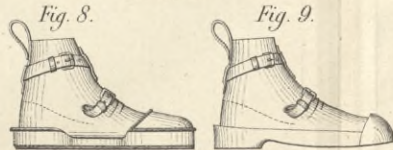


Fig. 8.

Schoenen.

Fig. 9.

Fig. 1, 2, 3, 8 en 9 1/10.

Fig. 10 1/40000.

Centim. 0 1 2 3 4 5 Decim.

Meter 0 100 200 300 400 500 Meter.

Situatie-teekeningen; waarop de rivierwerken zijn aangegeven, die uitgevoerd zijn in verband met den bouw der brug over de Waal te Bommel Fig. 1, der brug over de Maas te Hedel Fig. 2, der brug over het Hollandsch Diep, Fig. 3.

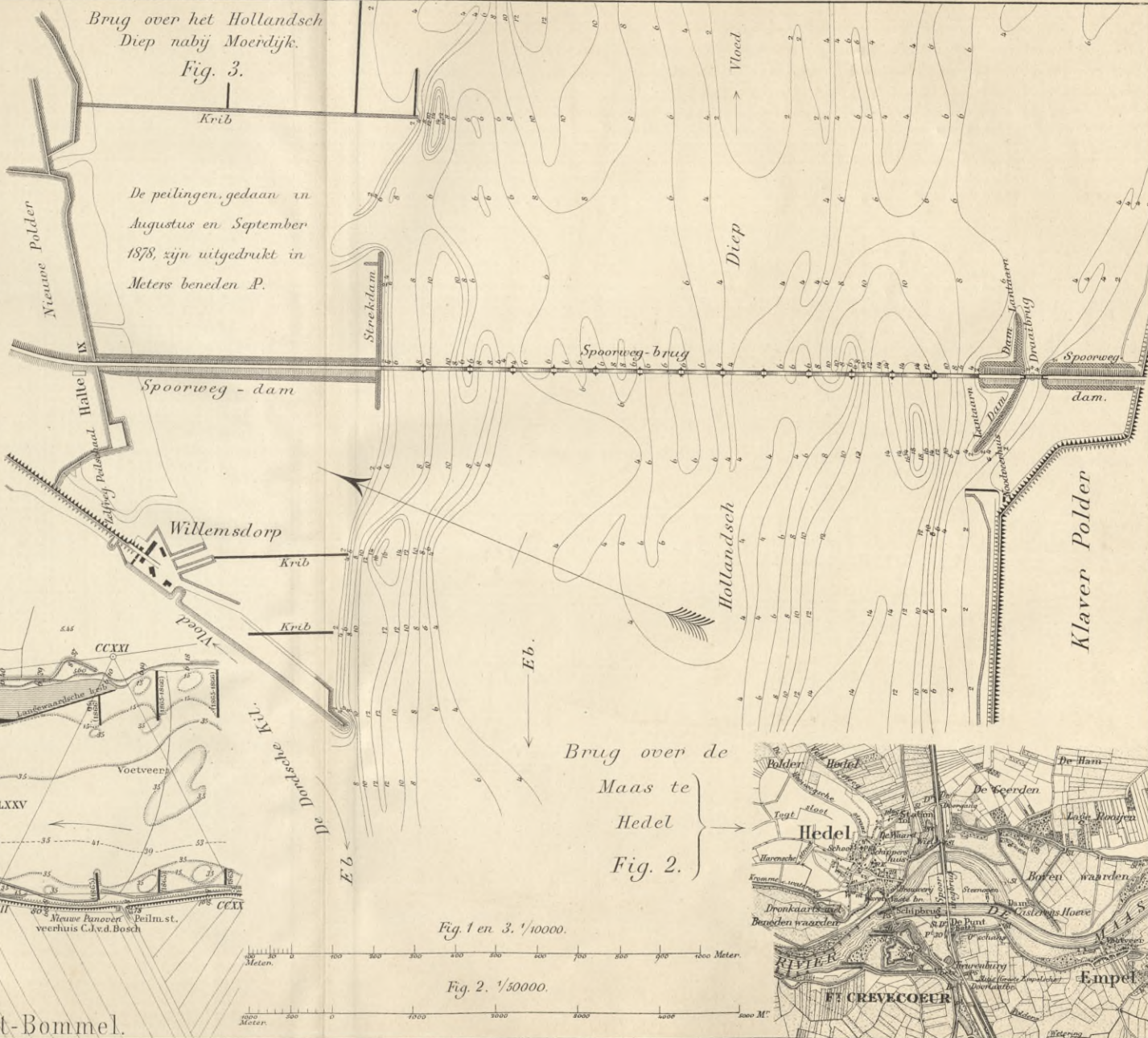


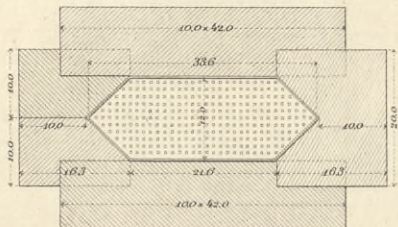
Fig. 1 en 3. 1/10000.

Fig. 2. 1/50000.



Rivierwerken uitgevoerd in verband met den bouw van de brug over den Rijn nabij Arnhem, in den Staatsspoorweg van Arnhem naar Nijmegen.

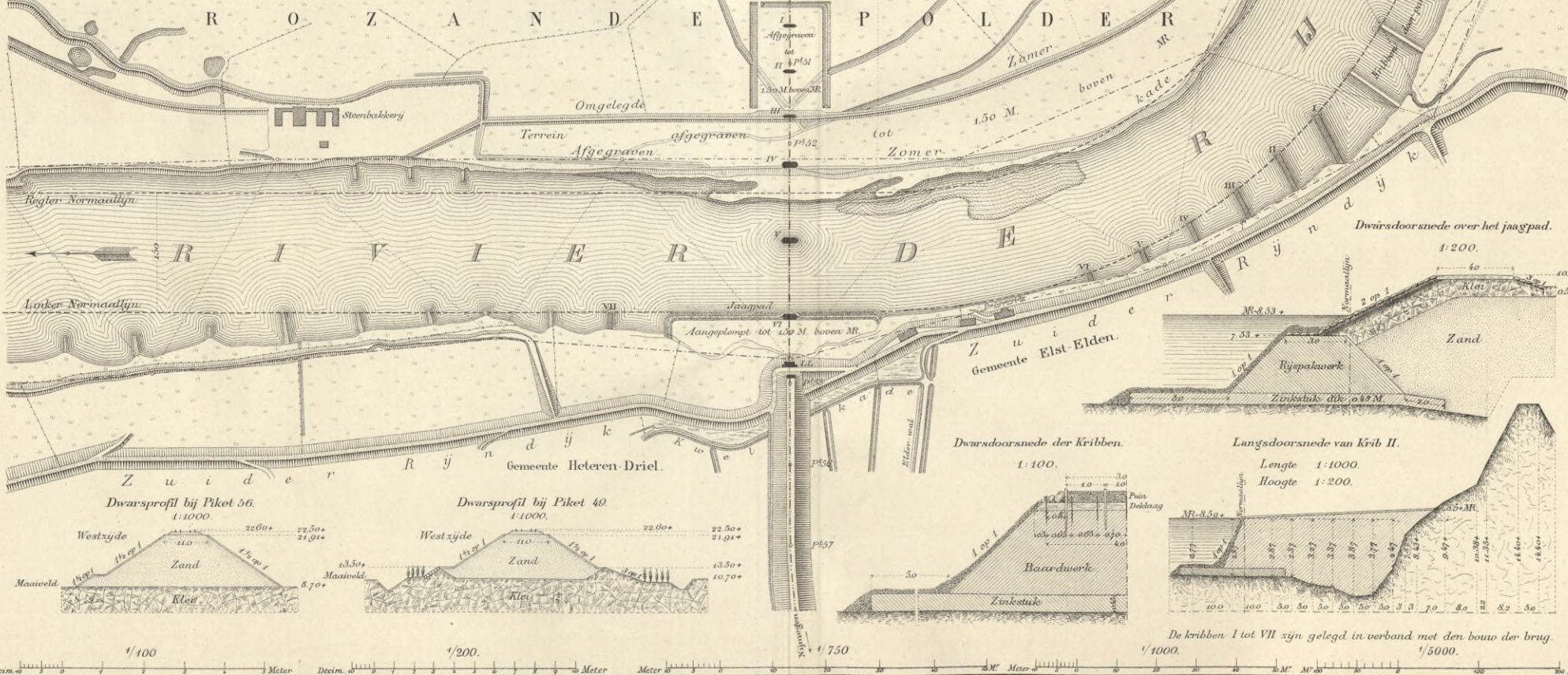
Plaatsing der Zinkstukken om Pijler V. 1:750.



GEMEENTE

RENKUM - OOSTERBEEK

Situatie 1:5000.



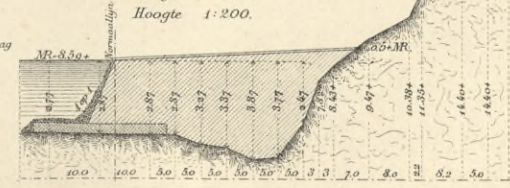
Dwarsdoorsnede over het jaagpad. 1:200.



Dwarsdoorsnede der Kribben. 1:100.



Langsdoorsnede van Krib II. Lengte 1:1000. Hoogte 1:200.

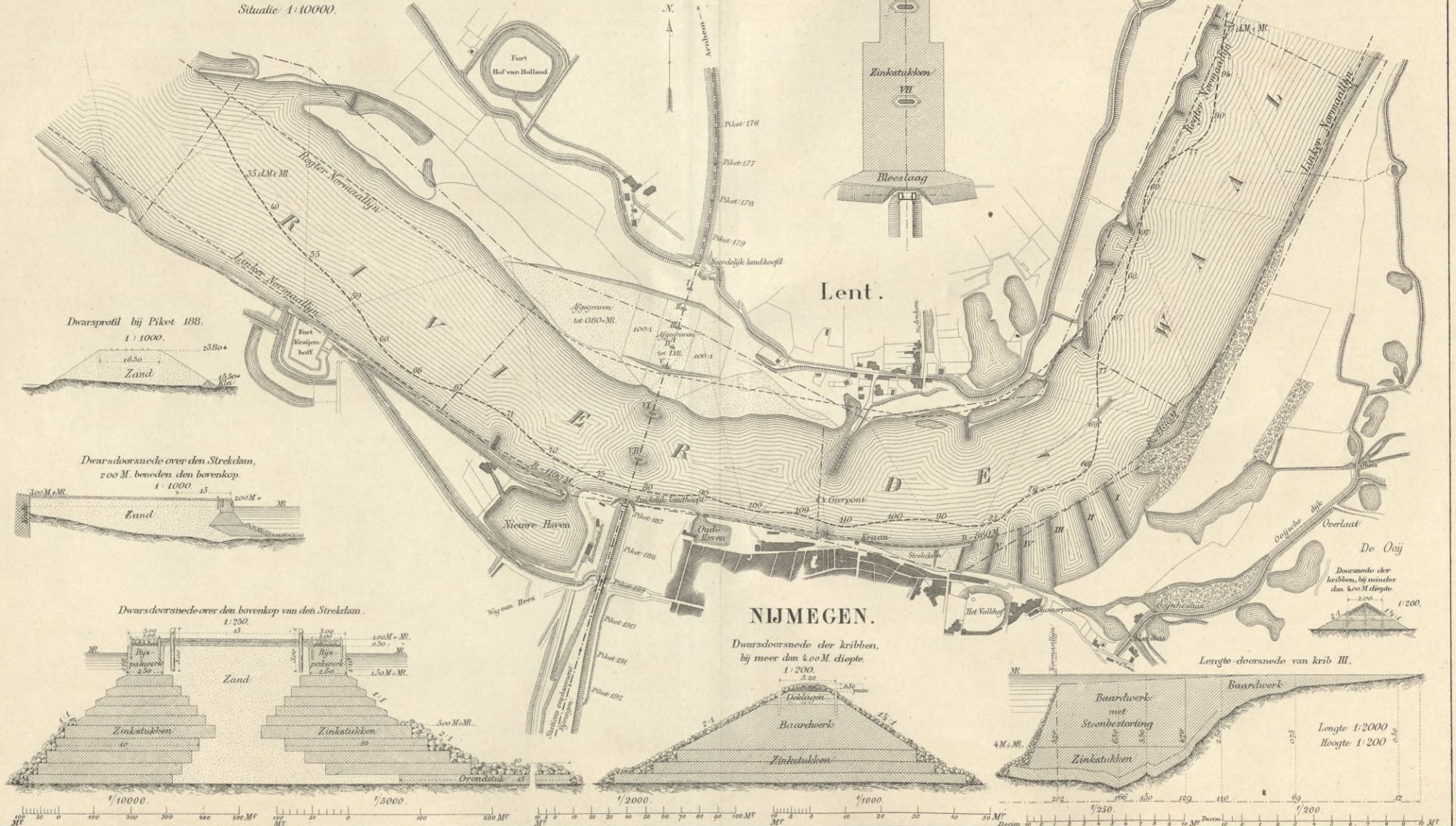


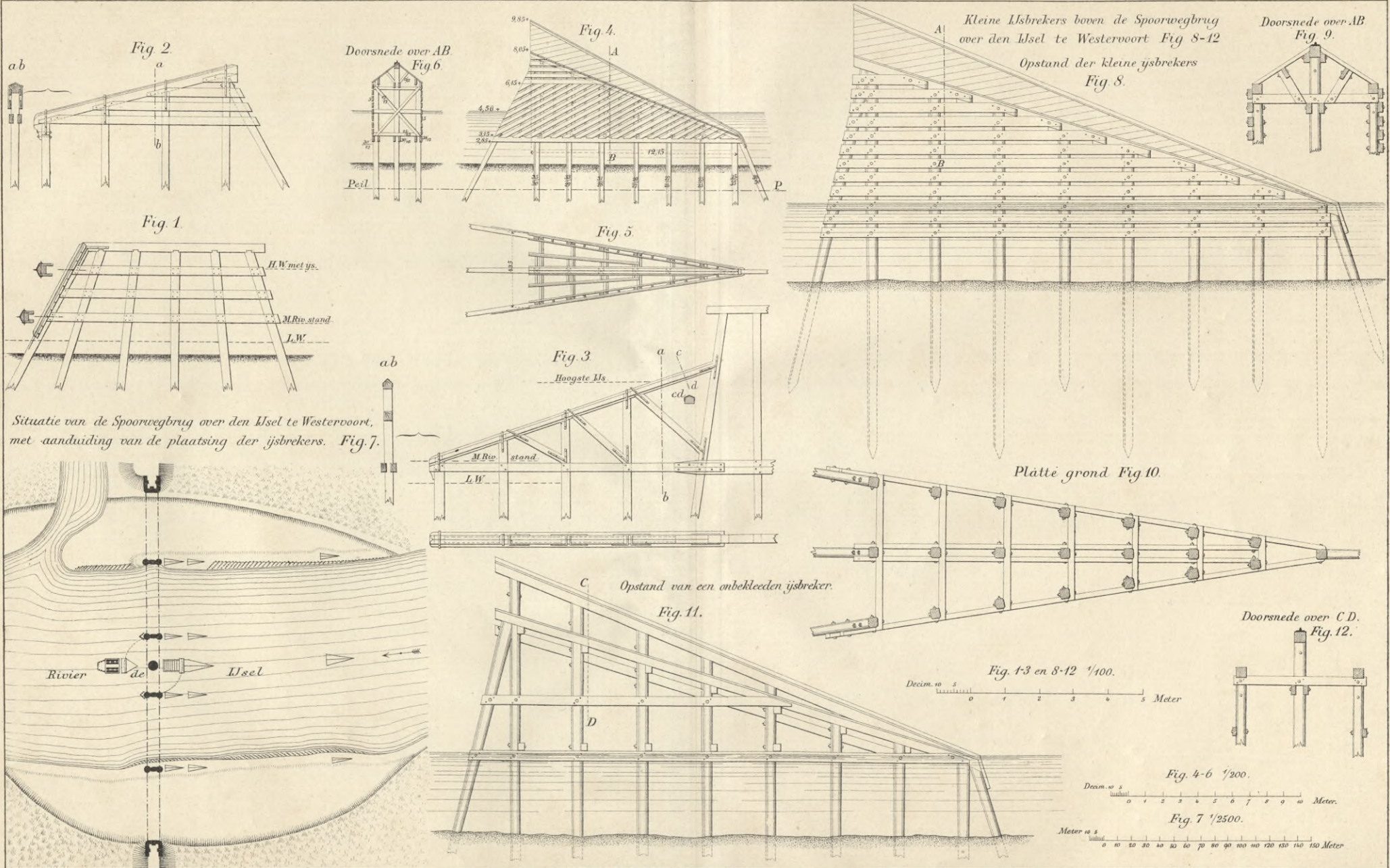
De kribben I tot VII zijn gelegd in verband met den bouw der brug. 1:1000. 1/5000.

Rivierwerken, uitgevoerd in verband met den bouw van de brug over de Waal, te Nijmegen, in den Staatsspoorweg van Arnhem naar Nijmegen.

Bescherming van den Rivierbodem tegen uitschuring 1:5000.

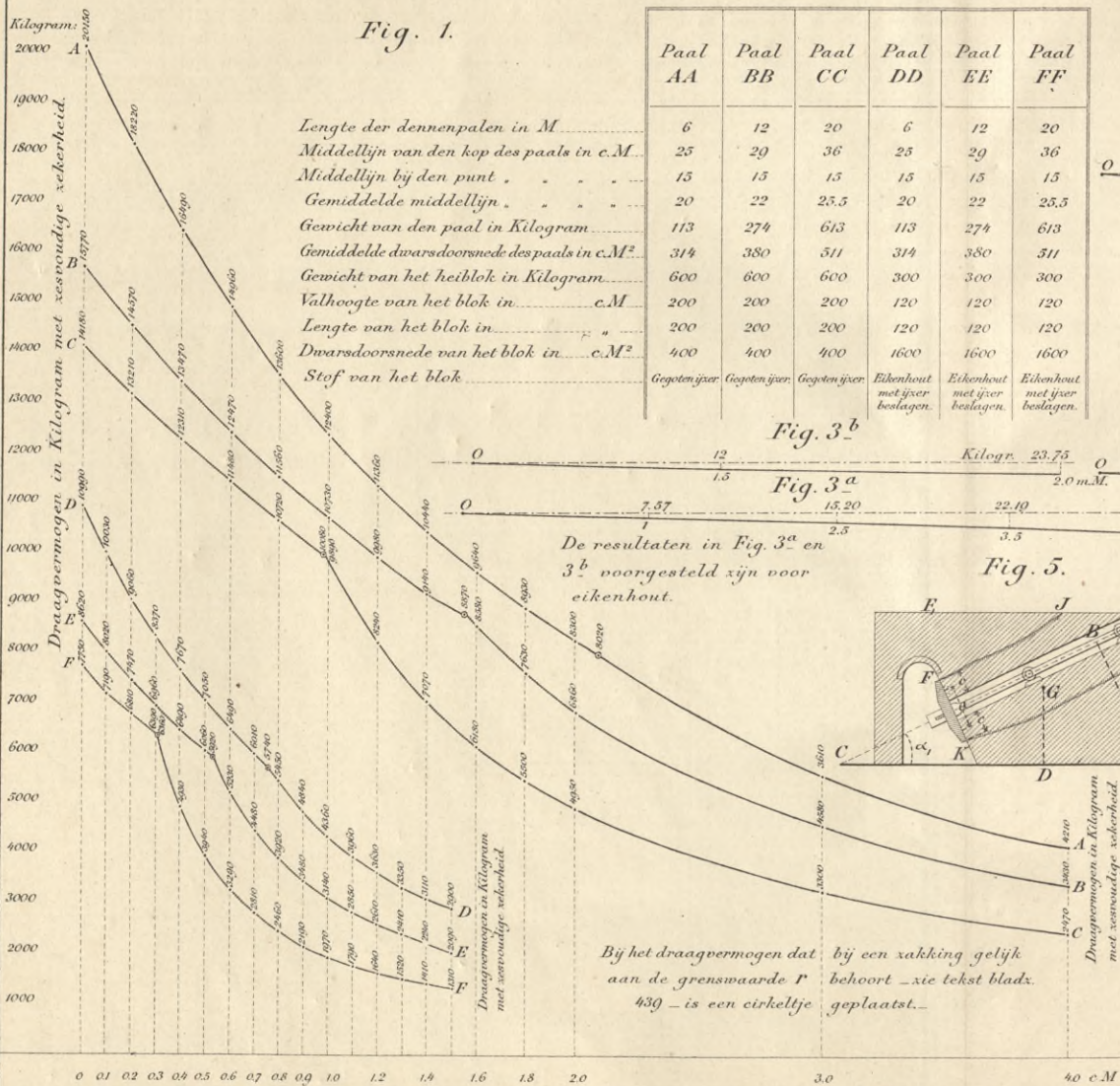
Situatie 1:10000.





Grafische voorstelling van het berekend draagvermogen van ingehaide palen.

Fig. 1.



Resultaten van proefnemingen betreffende het samendrukken van hout loodrecht op de richting der langsvexels Fig. 2^a-3^b.

Fig. 2^a

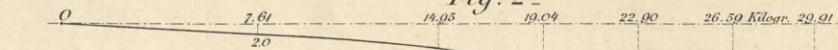
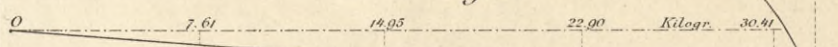


Fig. 2^b



De resultaten in Fig. 2^a 2^d voorgesteld

xijn voor dennenhout.

Fig. 2^c

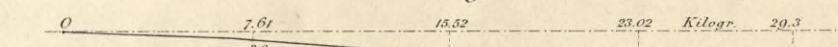


Fig. 2^d

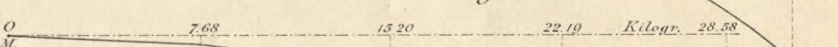


Fig. 3^b

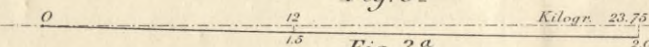
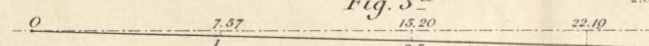


Fig. 3^a



De resultaten in Fig. 3^a en 3^b voorgesteld zijn voor eikenhout.

Fig. 5.

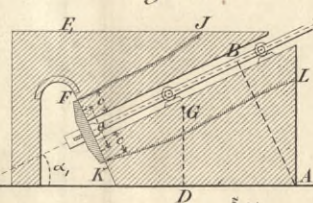


Fig. 6.

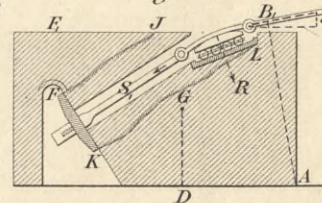


Fig. 4.

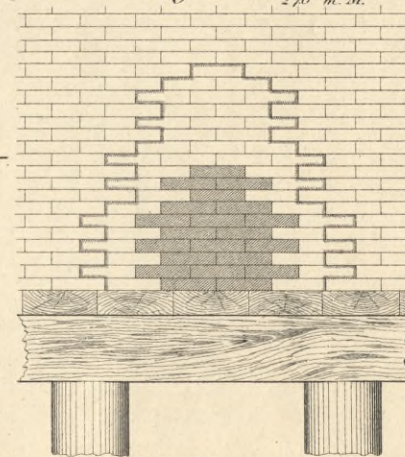
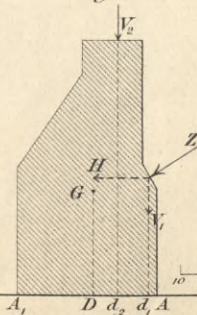
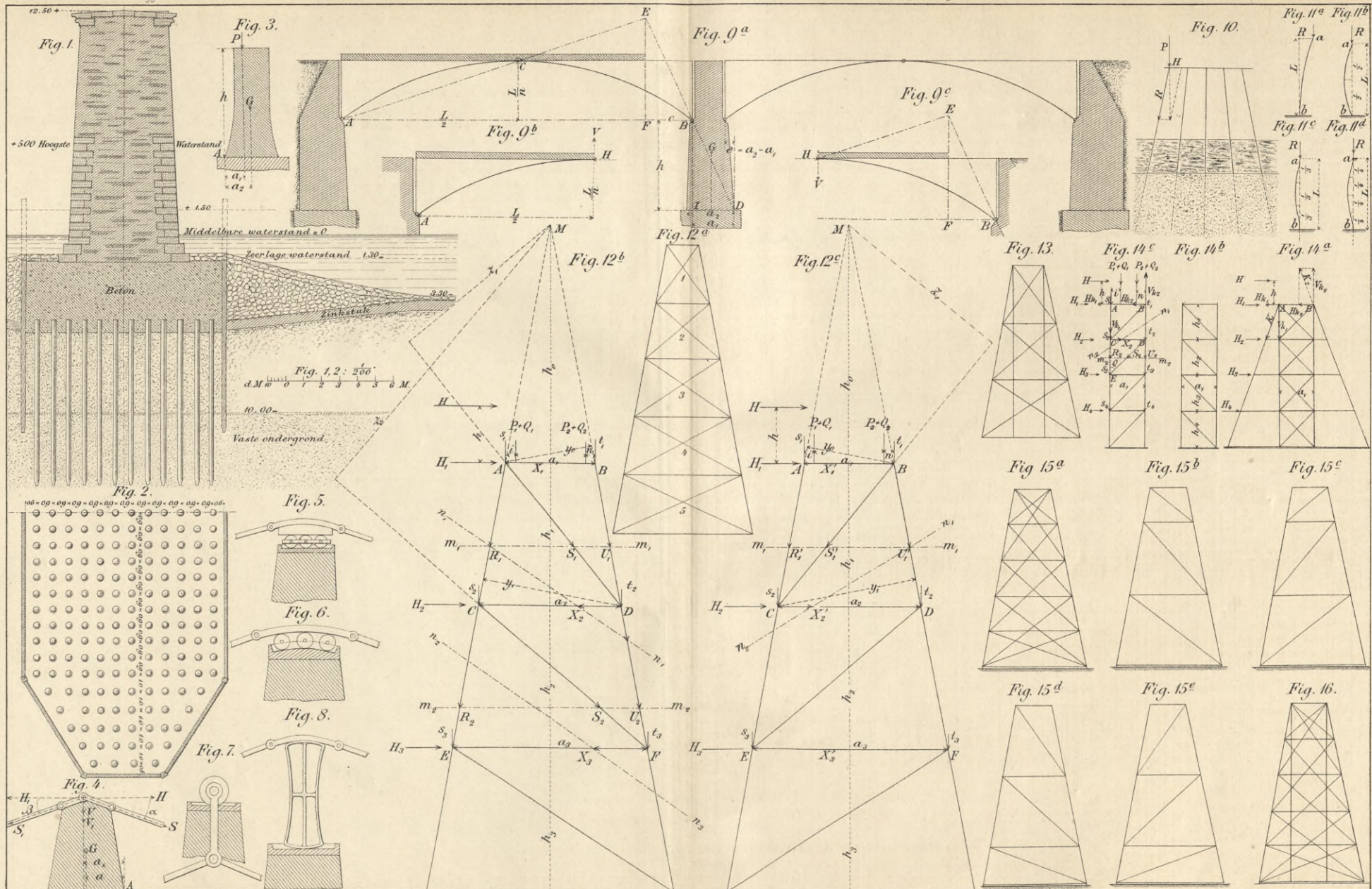


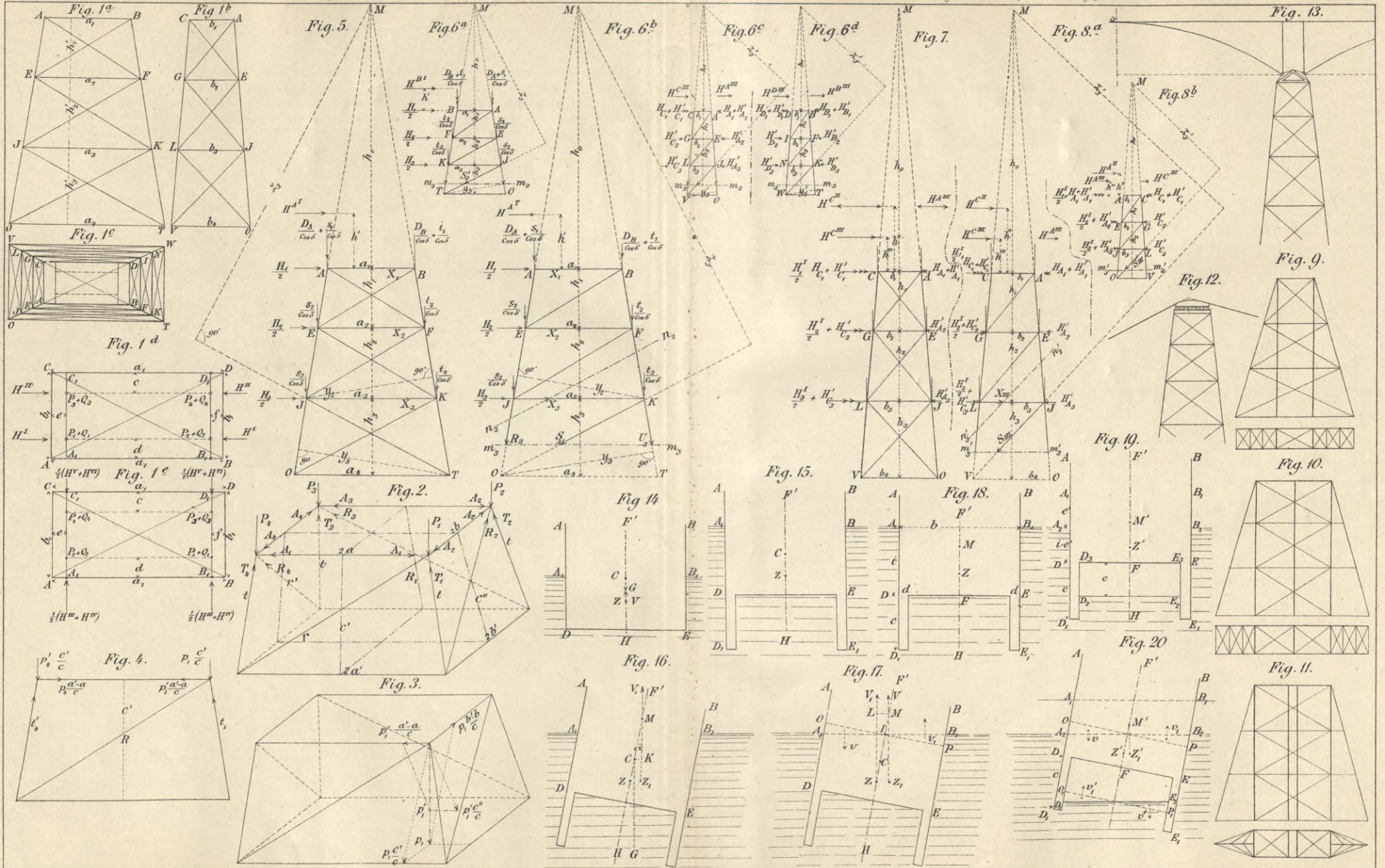
Fig. 7.



Bij het draagvermogen dat aan de grenswaarde r behoort — zie tekst bladz. 439 — is een cirkeltje geplaatst.

Schaal voor het draagvermogen per c.M hoogte in Fig. 1 1000 Kilogram. Schaal voor de zakkingen per c.M in Fig. 1 0.2 c.M zakking.







S. 61

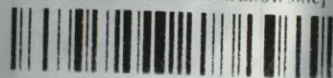
200,00



WYDZIAŁY POLITECHNICZNE

BIBLIOTEKA

Biblioteka Politechniki Krakowskiej



IV-300963

Druk. U. J. Zam. 356. 10.000.

Biblioteka Politechniki Krakowskiej



100000300933